

鎌原遺跡

令和3・4・5年度調査報告

2024.3

嬬恋村教育委員会



令和3年度調査範囲全景（中央が黒原神社 北から）



1 ~ 3号トレンチ範囲全景（南東から）



1~4号トレンチ範囲全景（北から）



6-2トレ 全景（南東から）



2-1 トレ a-a' (北から)



2-1 トレ As-YPk 層検出 (北から)



8 トレ 西壁近接 (As-A 鉱石 東から)



鎌原地区遠景（中央手前が9トレ位置 北から）



9トレ 全景（北から）



9-1 トレ a-a' 近接（東から）



9-1 トレ a-a' 近接左端（東から）



9-1 トレ a-a' 近接右端（東から）



9-1 トレ 平面近接（火山灰・軽石検出状況 北東から）



鎌原遺跡遠景（南から 2023年4月11日撮影）



関係位置



13トレ 調査風景（東から）



13トレ 剥ぎ取り断面位置（南から）



13トレ 断面 A-A' オルソ画像（南から）



13トレ 断面 A-A'（調査途中）



14-3 トレ As-A 軽石



第4回鎌原地区発掘調査検討委員会(令和4年11月11日)



13 トレ 取り上げ部材中 As-A 軽石検出状況



鎌原地区発掘調査現地説明会(令和4年11月12日)



13 トレ 部材出土状況近接(南から)



鎌原地区発掘調査現地説明会(令和5年8月6日)



13 トレ 土層剥ぎ取り作業風景



1-2 トレ 水田床土(「トコネリ」)近接

序

天明3（1783）年新暦8月5日の浅間山噴火で発生した「浅間押し」は、現在の嬬恋村鎌原地区にあった旧鎌原村全体を厚い土砂により埋没させました。この時、住民の約8割に当たる477人が犠牲になり、高台にあった鎌原観音堂に逃げ込むなどした93人だけが生き延びたとされています。

昭和54年から平成3年にかけての発掘調査で、当時の村の一部が見つかりました。そして現在は、街道筋にあった民家跡と考えられる「十日の窪埋没家屋」、50段の石段と土石にのまれた2人の遭難者が収容された「観音堂石段遺跡」、幻の寺院の発見と称される「延命寺跡遺跡」の3遺跡が、村の埋蔵文化財包蔵地となっています。

嬬恋村教育委員会では、令和3年より「鎌原遺跡」の仮称を用いて、この3遺跡とその周辺の発掘調査を30年ぶりに再開しました。

この調査は、天明三年の浅間山噴火災害と旧鎌原村についてその内容を明らかにし、後世にわたって保存・活用していくという目的をもっています。これまで中長期計画のもと、文化庁、群馬県文化財保護課の御指導と補助金を受けながら、「鎌原地区発掘調査検討委員会」での検討を重ね、村教育委員会の直営事業として継続的に確認調査を行ってきました。本調査報告書は令和3～5年度の調査成果になります。

これまでの発掘調査においては、旧鎌原村の中心付近を土石が流れ下っていった災害現象の実態、大噴火の直前の噴火活動に伴って降下していた火山灰や軽石などが確認されています。また、延命寺跡遺跡では、寺の西側にあった斜面にへばり付くようにして当時の屋根材が発見されており、本堂、庫裏や納屋が土石などによって、裏山に寄りかかるようにしてなぎ倒されたと考えられることもわかつてきました。

今後とも調査を通して、当時の鎌原村の様子や災害の実相とともに、一帯が火山災害からの復旧や復興の段階において、災害ととの関わりを示す意義深い遺跡としての価値付けが深められるものと考えています。

最後になりますが、本事業の推進にあたり、国・県・村の関係機関の御理解と御協力に対して深く感謝申し上げます。併せて、地元鎌原区をはじめ土地所有者の皆様、関係各位の御協力をいただきながら事業が進められておりますことを、この場をお借りして厚く御礼申し上げます。

令和6年3月

嬬恋村教育委員会
教育長 地田 功一

例　言

- 1 本報告書は、鎌原遺跡範囲内容確認調査計画に基づき実施した、第1～3次（令和3～5年度）の鎌原地区発掘調査報告書である。
- 2 発掘調査及び報告書刊行には、国宝重要文化財等保存・活用事業費補助金、及び群馬県文化財保存事業費補助金をうけ、文化庁、群馬県文化財保護課の指導をうけながら実施した。
- 3 調査対象地は、群馬県吾妻郡嬬恋村大字鎌原521-1他に所在する。
- 4 発掘調査は、鎌原地区発掘調査検討委員会の指導のもと嬬恋村教育委員会が実施した。
 - (1) 発掘調査期間 第1次 令和3年10月28日～11月25日
第2次 令和4年10月17日～11月27日
第3次 令和5年4月10日～9月15日（レーダー探査含む）
 - (2) 整理・報告書作成期間 令和3年11月26日～令和6年3月29日
 - (3) 鎌原地区発掘調査検討委員会（令和3～5年度）
顧問（令和3～4年度） 松島榮治（嬬恋郷土資料館名譽館長・故人）
荒牧重雄（東京大学名誉教授）
委員長 青木 豊（国学院大學大学院客員教授・鎌倉歴史文化交流館館長）
副委員長 渡辺尚志（一橋大学名誉教授・松戸市立博物館館長）
委員 安井真也（日本大学文理学部地球科学科教授 令和3～4年度）、青山雅史（群馬大学教授 令和5年度～）、鎌原郷司（嬬恋村文化財調査委員会会長 令和3～4年度）
嬬恋村文化財保護審議会会長 令和5年度～）、下谷 通（嬬恋村文化財調査委員会副会長 令和3～4年度 嬌恋村文化財保護審議会副会長 令和5年度～）
調査指導 斎藤慶史（文化庁文化財第二課埋蔵文化財部門文化財調査官 令和3～4年度）、桑波田武志（文化庁文化財第二課埋蔵文化財部門文化財調査官 令和5年度～）、阿久津 聰（群馬県地域創生部文化財保護課埋蔵文化財係長 令和4年度 補佐（埋蔵文化財係長） 令和5年度～）、石田 真（群馬県地域創生部文化財保護課 主幹）、小嶋 圭（群馬県地域創生部文化財保護課 主事 令和4年度～）
オブザーバー 山崎 定（鎌原区区長 令和3年度）、滝沢一秀（鎌原区区長 令和4年度）、山崎京一（鎌原区区長 令和5年度）、宮崎典雄（観音堂奉仕会会长 令和3年度）、横沢正二（観音堂奉仕会会长 令和4年度）、熊川明弘（未来創造課課長）、宮崎 貴（交流推進課課長）
 - (4) 事務局 嬌恋村教育委員会
教育長 地田功一、局長 目黒康子（令和4・5年度）、局長 滝沢勇司（令和5年度）、参事 関 俊明、局長補佐 滝沢由美（令和3年度）、局長補佐 山崎一也（令和4・5年度）、主任 鶴沢絵里（令和4年度）
 - (5) 発掘・整理担当者 関 俊明
- 5 発掘調査・整理作業にかかわった方々は次の通りである。
安済正博、黒岩光子、小林里子、坂井春栄、佐藤通佐、堤 隆、土屋茂次、戸部 獣、中島茂夫、中島嘉江、松澤樹生、松本智之、山口一俊
- 6 発掘調査にあたり、各地権者及び鎌原神社の土地を借用した。

- 7 調査及び報告書作成にあたっては、下記の諸機関・諸氏の御協力、御指導・教示をいただいた。(敬称略)
鎌原区、鎌原神社、文化庁文化財第二課埋蔵文化財部門、群馬県地域創生部文化財保護課、
公益財団法人群馬県埋蔵文化財調査事業団 青山雅史、浦野安孫、遠藤俊爾、小野映介、大林和彦、
金丸龍夫、古泉 弘、小嶋恒夫、小嶋良一、小菅尉多、阪井 学、杉山秀宏、鈴木秀和、尺田憲治、
芹沢一路、勢藤 力、滝沢一秀、富沢政美、富田孝彦、中島直樹、南里智之、松本大樹、水落智哉、
武舎秀雄、山崎京一、山崎 定、山田 孝、山西哲郎、山本大志、吉澤 悟、吉田智哉、渡辺恵美
8 種同定、土層剥ぎ取りの技術指導には、板垣泰之氏に助力いただいた。発掘調査で出土した遺物及び剥
ぎ取り資料等は、嬬恋村教育委員会（嬬恋郷上資料館）で保管している。
9 本書は、嬬恋村教育委員会発掘調査報告書 第16集とする。これまで、当教育委員会刊行の先行の
15集は次の通りであるが、集番号等は不一である。
(1) 嬱恋村教育委員会 1981『鎌原遺跡発掘調査概報 浅間山噴火による埋没村落の研究』
(2) 嬱恋村教育委員会 1994『延命寺跡発掘調査報告書-浅間焼けにより埋没した寺院-』
(3) 嬱恋村教育委員会 1994『埋没村落鎌原村発掘調査概報 よみがえる延命寺』
(4) 嬱恋村教育委員会 1995『東平・立石遺跡 平成5年度県営農免農道整備に伴う埋蔵文化財発掘調
査報告書』
(5) 嬱恋村教育委員会 1999『東平遺跡調査報告書 - 農道6号線拡幅工事に伴う埋蔵文化財発掘調査報
告-』
(6) 嬱恋村教育委員会 干俣前田遺跡調査委員会 1999『干俣前田I遺跡 干俣前田II遺跡』
(7) 嬱恋村教育委員会 干俣前田遺跡調査委員会 1999『干俣前田III遺跡』
(8) 嬱恋村教育委員会 干俣前田遺跡調査委員会 2000『干俣前田IV遺跡』
(9) 嬱恋村教育委員会 2013『東平遺跡調査報告書 平成7年度第2次発掘調査報告』
(10) 嬱恋村教育委員会 2013『鎌原城址 東京電力株式会社による西窪線、上信線送電線用鉄塔建設工
事に伴う発掘調査』
(11) 嬱恋村教育委員会 2014『東平遺跡調査報告書 平成8年度第3次発掘調査報告』
(12) 嬱恋村教育委員会 2015『東平遺跡調査報告書 平成10年度第5次発掘調査報告』
(13) 嬱恋村教育委員会 2016『東平遺跡調査報告書 平成11年度第6次発掘調査報告』
(14) 嬱恋村教育委員会 2017『東平遺跡調査報告書 平成11・12年度第7・8次発掘調査報告』
(15) 嬱恋村教育委員会 2018『鎌原城址II 小規模農村整備事業（上城・下城地区）に伴う発掘調査』

他に、関連する発掘調査報告書として、浅間山麓埋没村落総合調査会（学習院大学）1982『天明3年(1783)
浅間山大噴火による埋没村落（鎌原村）の発掘調査』がある。

凡 例

- 1 挿図中で用いた北は、座標北である。
- 2 揿図には、国土地理院発行の 1:200,000 地勢図「長野」、1:50,000 地形図「須坂」「草津」「上田」「軽井沢」を使用した。
- 3 揿図中の縮率について、原則該当箇所すべてに縮尺を掲載している。
- 4 本書の図中で用いた網掛けは、すべて本文中で示す。
- 5 【地割】・【地区】・【区】・【アルファベット・数字】で分割した「4 m グリッド」位置は、複数のグリッドに掛かる場合には、そのうちの代表 1 か所を読み取り表記する。
- 6 トレンチ平面図においては、特に厳格に岩屑なだれによる削剥のない天明三年面に対しては、等高線を用いた表現を原則としている。
- 7 土層注記をはじめとする色名は、『新版標準土色帖』(農林水産技術会事務局・日本色彩研究所 1996 版) を用いた。遺物の色調は土器外面で観察した。
- 8 本書記載で用いた火山降下物、噴火に伴い発生した土砂流等の略称表記や年代等は、次の通りである。
As-A テフラ:As-A 軽石・As-A 灰(群馬県埋蔵文化財調査事業団発掘調査報告書 第319集、第356集)等の総称としての As-A テフラ、天明三年(1783)発生の「岩屑なだれ」・「天明泥流」を用いて噴火現象を表記。
- 9 As-YPk:草津黄色軽石(嬌恋軽石、嬌恋降下軽石)。平原火碎流の直後(早川 2007)、14,000 年前(中村ほか 1999)に発生したとされる。
- 10 As-YPk の検出について、各トレンチ内での産状の観察を基本土層の観察視点で区分けし記載した。また、観察は埋め戻し直前に、重機による深堀掘削で検出を行うなどの方法に依った。
- 11 当地方の特徴的なクロボク土については、第 4 章に参考記載する。
- 12 参考引用文献については、第 6 章・第 7 章以外はまとめて一括記載した。

目 次

【巻頭カラー / 序 / 例言 / 凡例 / 目次】

第1章 遺跡の立地と歴史的環境	1
(1) 遺跡の立地と環境	
(2) 歴史的環境	
第2章 調査に至る経緯と目的	6
(1) 概要	
(2) 調査の目的と方針	
第3章 調査方法と経過	7
(1) 調査の方法	
(2) 調査の経過	
第4章 基本層序	11
(1) 基本層序	
(2) As-YPk 層産状タイプ	
(3) 周辺のクロボク土について	
第5章 各トレンチと遺物	13
(1) トレンチ	
(2) 遺物	
第6章 自然科学分析報告	61
(1) 鎌原遺跡における自然科学分析	
(2) 鎌原遺跡第2次調査における自然科学分析	
(3) 土質試験結果	
第7章 レーダー探査報告	103
まとめ	113

挿図目次

第 1 図 鎌原遺跡位置図	2
第 2 図 村内埋蔵文化財包蔵地等分布図	4
第 3 図 嫦恋村グリッド設定図	8
第 4 図 クロボク土分布状況図	12
第 5 図 全体図	18
第 6 図 トレンチ位置図	19
第 7 図 1～8 トレンチ配置全体図	20
第 8 図 9 トレンチ配置全体図	21
第 9 図 10 トレンチ配置全体図	21
第10図 11・12 トレンチ配置全体図	22
第11図 13～15 トレンチ配置全体図	23
第12図 1～6 トレンチ断面図	24
第13図 9 トレンチ断面図	25
第14図 10 トレンチ断面図	26
第15図 11・12 トレンチ断面図	27
第16図 13～15 トレンチ断面図	28
第17図 1-1・1-2 トレンチ平面図・断面図	29
第18図 1-3・1-4 トレンチ平面図・断面図	30
第19図 2-1・2-2 トレンチ平面図・断面図	31
第20図 3-1 トレンチ平面図・断面図	32
第21図 3-2 トレンチ平面図・断面図	33
第22図 3-3 トレンチ平面図・断面図	34
第23図 4-1 トレンチ平面図・断面図	35
第24図 4-2 トレンチ平面図・断面図	36
第25図 4-3 トレンチ平面図・断面図	37
第26図 5 トレンチ平面図・断面図	38
第27図 6-1 トレンチ平面図・断面図	39
第28図 6-2～7 トレンチ平面図・断面図	40
第29図 8 トレンチ平面図・断面図	41
第30図 9-1 トレンチ平面図・断面図	42
第31図 9-2 トレンチ平面図・断面図	43
第32図 10-1 トレンチ平面図・断面図	44
第33図 10-2 トレンチ平面図・断面図	45
第34図 11 トレンチ平面図・断面図	46
第35図 11 トレンチ断面図	47
第36図 12-1 トレンチ平面図・断面図	48
第37図 12-2 トレンチ平面図・断面図	49
第38図 12-3 トレンチ平面図・断面図	50
第39図 12-4 トレンチ平面図・断面図	51
第40図 13 トレンチ平面図・断面図	52
第41図 13 トレンチ（北壁）断面図	53

第42図 13トレンチ (a～d) 断面図	54
第43図 13トレンチ (e～g) 断面図	55
第44図 延命寺跡・過去調査重ね図	56
第45図 14-2トレンチ平面図・断面図	57
第46図 14-3トレンチ平面図・断面図	58
第47図 15トレンチ平面図・断面図	59
第48図 遺物実測図	60

挿表目次

第1表 村内埋蔵文化財包蔵地等一覧表	5
第2表 出土遺物観察表	60

写真図版目次

写真図版 1	写真図版 5
令和3年度 調査範囲全景 (中央が鎌原神社 北から)	3-3 トレ (東から) 3-3 トレ (荒牧重雄氏教示 南西から)
写真図版 2	4-1 トレ (西から) 4-2 トレ (東から) 5 トレ (南西から) 4-2 トレ A-A' (東から As-YPk 検出)
1-1、2 トレ 調査状況 (上が北) 1-2 トレ (南西から) 1-2 トレ (南から) 1-3 トレ (南西から) 1-4 トレ (上が西)	写真図版 6
	6 トレ全景 (6-1～3 トレ 上が南東) 6-1 トレ (上が北) 同 a-a' (南から) 6-2 トレ全景 (南東から) 6-3 トレ全景 (北から)
写真図版 3	写真図版 7
2-1 トレ a-a' 断面近接 (北から) 同 トレンチ全景 (北から) 同 トレンチ位置遠景 (上が南) 同 調査風景 (北西から) 同 3 ^o 層出土流木	7 トレ全景 (上が西) 8 トレ (上が東) 7 トレ A-A' (西から) 8 トレ西壁近接 (サンプル位置 東から) 8 トレ (右上が西) 土壤サンプリング (4-1 トレ 北西から)
写真図版 4	写真図版 8
2-2 トレ (北東から) 同 検出 As-YPk 産状 3-1～3 トレ トレンチ位置遠景 (上が北) 3-1 トレ (東から) 同 A-A' (東から As-YPk 検出) 3-2 トレ (東から)	9 トレ全景 (上が東) 9-1 トレ全景 (西から) 同 A-A' 近接 (西から) 9-1 トレ延長 A-A' (西から) 9-1 トレ a-a' 近接 (東から)

写真図版 9

- 9-1 トレ a-a' 近接
(保管試料採取位置①: 左、②: 右 東から)
9-2 トレ 全景 (西から)
同 挖削途中平面 (西から)
9-2 トレ A-A' 近接 (西から)

写真図版 10

- 鎌原地区遠景
(中央手前が 10 トレ位置 北から)
10 トレ全景 (上が北)
10-1 トレ全景 (北から)
10-1 トレ As-A 軽石・火山灰検出状況
(南西から)
10-2 トレ全景 (西から)

写真図版 11

- 鎌原地区遠景 (手前中央が 11 トレ、右手奥が
12 トレ位置 北から)
11 トレ全景 (北東から)
11 トレ西壁 (北東から)
11 トレ調査全景 (北東から)
同 調査風景 (北東から)

写真図版 12

- 鎌原地区遠景
(左手が小熊沢、12 トレ位置は矢印 北から)
12-4 トレ全景 (上が南)
12 トレ配置全景 (12-3 トレが右 上が南)
12-1 トレ全景 (東から)

写真図版 13

- 延命寺跡遺跡遠景 (南東から)
延命寺跡遺跡全景 (東から)

写真図版 14

- 13 トレ全景 (東から)
13 トレ全景 (上が北)
14-3 トレ追加 1 挖削風景 (南から)
14-3 トレ追加 2 挖削風景 (南東から)
14-2 トレ全景 (北から)

写真図版 15

- 13 トレ b-b' (南から)
同 c-c' (東から)
13 トレ d-d' (東から)
同 e-e' ~ g-g' (南から)
13 トレ 調査風景 (東から)

写真図版 16

- 15 トレ全景 (北から)
同 調査風景 (北東から)
13 トレ推定屋根部材出土状況 (東から)
レーダー探査 調査風景 (東から)
レーダー探査 延命寺跡遺跡及び
R6 年調査予定 (南から)

写真図版 17

- 9-1 トレチ (南東壁断面) オルソ画像
9-1 トレチ (平面) オルソ画像

写真図版 18

- 10-1 トレチ (南東壁断面) オルソ画像
10-1 トレチ (平面) オルソ画像

写真図版 19

- 11 トレチ (南東壁断面) オルソ画像
11 トレチ (平面) オルソ画像

写真図版 20

- 13 トレチ (北壁断面) オルソ画像

写真図版 21

- 13 トレチ (平面) オルソ画像

写真図版 22

- 遺物写真

第1章 遺跡の立地と歴史的環境

(1) 遺跡の立地と環境

嬬恋村は、群馬県の北西部に位置し、東に草津町と長野原町に接し、北・西・南方は長野県に接する。北に本白根山（2,171 m）、西に四阿山（2,354 m）、南には浅間山（2,568 m）の日本百名山に数えられる山岳地形を中心に三方が屏風のように囲われ、鳥居峠付近を源とする一級河川の利根川の支流である吾妻川が、支流を集めながら東流する。村の中央部を囲んだ浅間高原（標高1,000～1,500 m前後）をはじめとする広大な景観は、かつての火山の活動などにより形成された高原地帯となっている。形成された段丘とその周辺、吾妻川にそそぐ小河川に沿って集落を発達させつつ、人々が生活を営んできた高原の村である。

平均標高が、1,000 mほどの高さにある当村は、年平均気温が10℃前後と低く、アメダス観測点が置かれる田代での平均気温は7℃ほどで、1月はマイナス4℃、8月は19℃で、年較差・日較差ともに大きい。山地には積雪も多いが、田代では2月に50cm前後の降雪を見る。

浅間山は日本を代表する活火山で、有史以前から噴火を繰り返しており、天明三年（1783）の噴火で北麓に形成された奇勝、鬼押出し溶岩が広がる。また、草津白根山は、青緑色をした火口湖である湯釜と周囲の火山荒原が特異な景観を呈し、多様な火山地形により、周辺は変化に富んだ景観が形成されている。火山地帯特有の温泉も、万座温泉や鹿沢温泉など、隣接する草津町に所在する草津温泉とともに古くから存在が知られ、多くの文人墨客などに親しまれてきた歴史や環境がある。

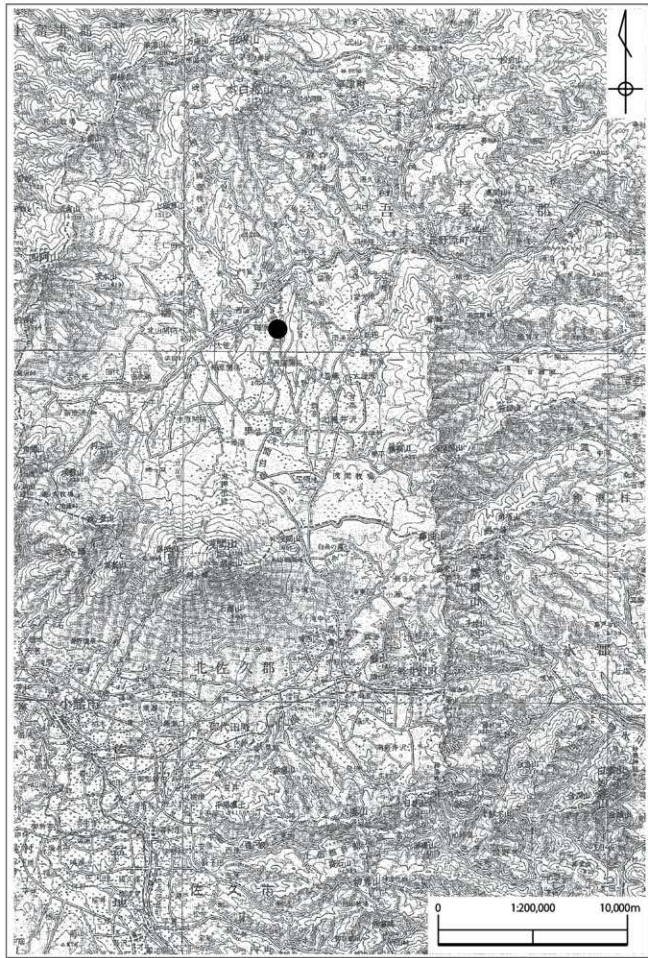
表層地質は、大部分が火山灰の風化土壤で酸度が高く、農耕にはあまり適さない。僅かに河川付近の小平坦地の砂質土壤で水田がみられる。

村内に広くみられるクロボク土と呼ばれる土壤は、火山灰に由来する保水性と透水性を備えた物理的には良好な土壤であるが、概して、植物養分として重要なリン酸を吸着してしまう傾向があり、土壤改良によって今日の良好な耕作地へと転換がなされてきた。この土壤の克服や適地適作を目指した成果により今日、日本一のキャベツ栽培の村として知られるようになり、高原野菜の栽培が盛んである。

近世期以降、草津白根山麓の硫黄に着目がなされ、その後、石津・吾妻・小串などの鉱山開発が進められ、最盛期には岩手県の松尾鉱山と並ぶ有数の硫黄产地となったが、安価で大量な石油からの回収硫黄生成の実用化によって、昭和46年一斉に閉山している。

遺跡周辺の吾妻川の下流域両岸に着目すると、吾妻川右岸には、浅間山の各方位に広く分布する1.4万年ほど前に発生した溶結作用のみられない淡黄色の火碎流堆積物が高い崖地形をなしている。一方、左岸側は、太子火碎流と呼ばれる草津白根山の30万年以上前に発生した火碎流が台地を成しており、その到達境界付近を吾妻川が東流する地形を見て取ることができる。

鎌原地区発掘調査の対象地（旧鎌原村）は、埋蔵文化財包蔵地である「十日の窪埋没家屋」・「観音堂石段遺跡」・「延命寺跡遺跡」とその周辺の遺跡地である。鎌原地区的集落内にあるこの3遺跡は、標高854mの嬬恋村役場から東方向にほぼ2km、浅間山火口からの直線距離12km付近に位置し、吾妻川の右岸で支流の裏の沢と小熊沢とに挟まれた標高900m前後の台地上の平坦部に集落が形成され、JR吾妻線の万座・鹿沢口駅から見た段丘崖の上位に位置している。



第1図 鎌原遺跡(●)位置図(国土地理院1:200,000地勢図「長野」)

（2）歴史的環境

遺跡から見た歴史的な景観として、村内の埋蔵文化財包蔵地が現在、縄文時代から近世まで 45 遺跡存在している。包蔵地確認のための分布調査等は、昭和 50 年代以降進んでおらず、新たな遺跡情報の集積が求められるところもあるが、以下に遺跡と時代ごとの特徴を概観する。

縄文時代 縄文時代の遺跡は、吾妻川左岸にはほぼ限定されている。田代、大笹、大前、今井、鎌原に遺物包蔵地が存在する。今井の立石遺跡（村指定史跡「今井地区遺跡群」：26）では、早期の尖底土器が出土している。東平遺跡（村指定史跡「今井地区遺跡群」：26）では数次にわたる発掘調査が実施されており、後期の敷石住居や赤色塗彩土器、県指定重要文化財に指定されている後期の黒色磨研注口土器（平成 9 年指定）は大小 2 点セットで出土している。

弥生時代 弥生時代の遺物は、今井の石津川沿いで昭和 40 年代に「石戈」が発見されており、群馬県立歴史博物館所蔵資料となっていたが、正確な出土状況などは把握されていない。千俣の熊四郎洞窟遺跡（15）やとっくり穴洞窟遺跡（14）では、弥生時代の土器の出土が知られている。

古墳時代 昭和 10 年（1935）の群馬県下一斎に行われた古墳調査では、本村においても 4 基の古墳が記録されたが、再調査ではいずれも古墳に該当する判断は出されていない。東平遺跡では、中期の小型甕が出土しており、この時期の人びとの動きを知る上では貴重な資料となっている。

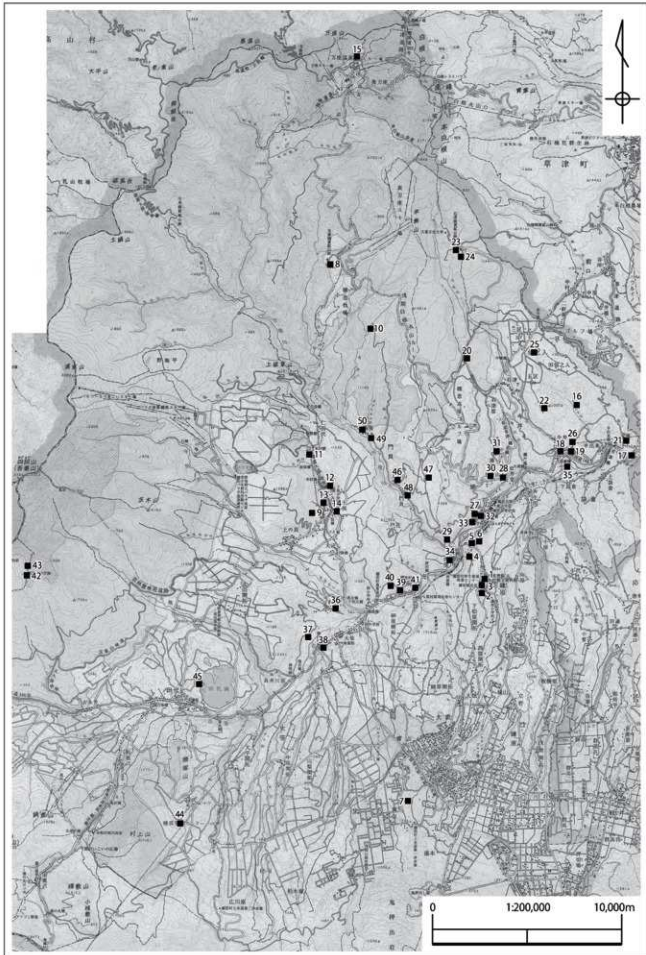
古代 東平遺跡で発掘された平安時代の竪穴住居からは灰釉陶器、内墨土器、墨書き土器などが出土、また、千俣にある千俣前田遺跡（13）では複数年次に発掘調査が行われており、どの調査でも「コの字」口縁をもつ 9 世紀代の甕を伴っている。

中世 当時の嬬恋村を含む吾妻郡西部地域は、概略信州側の「三原庄」の一部とみなされる範囲にあたり、考古学的な成果が期待されるところである。下屋氏のこの地への移住から始まる村の中世期の歴史では、地元鎌原氏居城であった鎌原城址（村指定史跡：4）の発掘調査に着目でき、信州に系譜をもつ内耳土器片、鉄砲玉などの出土がある。歴史資料と考古資料との照合など、総合的な視座に立った地域の歴史の掘り下げに着目していきたいところである。

近世 村内の近世期の様相として真田氏改易以降の郡内の動きと同様な経過をたどるが、信州街道の存在を抜きには語ることができない。その意味で、昭和 54 年に鎌原地区ではじまった天明三年浅間山噴火により埋没した 3 遺跡は多くの視点を持ち合わせている。天明三年（1783）年の新暦 8 月 5 日浅間山噴火で発生した岩屑なだれに埋没した旧鎌原村は、埋蔵文化財包蔵地の遺跡名称で「観音堂石段遺跡」（3）・「十日の窪埋没家屋」（2）が昭和 54 年から、「延命寺跡遺跡」（1）は昭和 60 年から複数次にわたって発掘調査が進められ現在を迎えている。

観音堂石段遺跡では、岩屑なだれに埋没した 35 段の石段の存在が確認され、地表に残される 15 段とあわせて 50 段であったことが検証された。その石段の昇り端で、今までにその石段に足をかけようとして遭難した 2 人の遺体が収容された。背後から土砂に襲われた 2 人の姿は、火山災害に遭遇し緊迫した事態の惨劇を露にするとともに、人びとの災害に対する意識、人としての最期の瞬間にスポットがあてられるようになった。十日の窪埋没家屋は、発掘調査から少なくとも 3 棟の建物が東西に並んでいると結論付けられたが、出土した遺物の各々からは、当時の村が街道筋にあったことの意味付けが提起されている。延命寺跡遺跡は、地表下 6 m に埋れている。遺物の出土状況から、西側斜面に押し付けられるような土砂の堆積状況のもとに幻の寺院とされる建物が眠っていることが判読される。寺社屋敷域の確定を含め、周辺地形の把握は当時の鎌原村復元とこの地を襲った岩屑なだれの実態解明につながるものと考えられる。

天明大笹温泉引湯道跡（7）は、天明三年の浅間山噴火災害直後に鬼押出し溶岩の先端付近からの地下水が溶岩により熱せられ、お湯になったため、これを 6 km 下流の大笹に引湯し温泉宿を開設した痕跡である。大笹村の黒岩長左衛門の手による困窮者救済の復興事業を伝える遺構であり、嬬恋村指定史跡（昭和 51 年指定）となっている。



第2図 村内埋蔵文化財包蔵地等分布図(国土地理院1:50,000地形図「須坂」「草津」「上田」「軽井沢」を編集)

第1表 村内埋蔵文化財包蔵地等一覧表

番号	名称	所在地 (大字)	時代	種別 現状	備考
1	延命寺跡遺跡	鎌原	近世	社寺	長勝3年(1039)鬼神宮とともに辛重建立。 『理役村落鎌原村発掘調査報告 よみがえる延命寺』(村教委1994)、『延命村誌』
2	十日の森埋没家屋	鎌原	近世	集落	『天明3年(1783)浅間山大噴火による埋没村落(鎌原村)の発掘調査』 『浅間山麓埋没村落総合調査会1982』
3	觀音堂石段遺跡	鎌原	近世	社寺	『天明3年(1783)浅間山大噴火による埋没村落(鎌原村)の発掘調査』 『浅間山麓埋没村落総合調査会1982』
4	鎌原城址	鎌原	中世	城館	村指定、中世城跡805。『群馬県古城址研究』下巻、『吾妻郡城郭史』
5	金毘羅山の皆替	鎌原	中世	城館	中世城跡806。中世城館等分布調査(S60~H元年)。 『群馬県古城址研究』下巻、『吾妻郡城郭史』、『日本城郭大系(一覧表)』
6	鎌原帯平遺跡	鎌原	縄文	散布地	
7	天明大世温泉引湯跡	鎌原ほか	近世		村指定
8	千俣新山遺跡	千俣	縄文	散布地	遺跡台帳3129
9	千俣太平遺跡	千俣	縄文	散布地	遺跡台帳3130
10	千俣蠣恋牧場遺跡	千俣	縄文	散布地	
11	千俣立坪遺跡	千俣	縄文	散布地	
12	千俣尾根遺跡	千俣	平安	散布地	
13	千俣前田遺跡	千俣	縄文、平安	散布地、集落	『千俣前田I遺跡 千俣前田II遺跡』(村教委1999)、 『千俣前田Ⅲ遺跡』(村教委1999)、『千俣前田IV遺跡』(村教委2000)
14	とっくり穴洞窟	千俣	弥生	散布地	群馬大学尾崎研究室調査、『蠣恋村誌』、『群馬県史資料編2』
15	熊四郎御室	千俣	弥生	散布地	村指定、S21調査、『蠣恋村誌』
16	今井先ノ人遺跡	今井	縄文	散布地	
17	今宮白山遺跡	今井	近世	社寺	村指定
18	今井城址	今井	中世 16世紀	城館	中世城跡807。中世城館等分布調査(S60~H元年)。 『群馬県古城址研究』下巻
19	今井下前原遺跡	今井	縄文	散布地	
20	今井上石津遺跡	今井	縄文	散布地	
21	今井瀧ノ上遺跡	今井	縄文	散布地	
22	今井中林遺跡	今井	縄文	散布地	
23	今井五輪山遺跡	今井	縄文、平安	散布地	
24	今井石津遺跡	今井	縄文、平安	散布地	
25	今井仙人入道跡	今井	縄文、平安	散布地	
26	今井地区遺跡群	今井	縄文、平安、近世	集落	村指定、立石遺跡、東平遺跡
27	下屋屋敷址	三原	近世	城館	下屋屋敷監寧房の居館。中世城跡1003。関連地名「郭面」。 中世城館等分布調査(S60~H元年)、『蠣恋村誌』
28	三原岩井堂遺跡	三原	縄文	散布地	
29	三原女塚遺跡	三原	縄文	散布地	
30	三原上の山遺跡	三原	縄文	散布地	
31	三原湯窪遺跡	三原	縄文	散布地	
32	三原馬場遺跡	三原	縄文	散布地	
33	三原天神遺跡	三原	縄文、近世		
34	西深堀城址	西深堀	中世 16世紀	城館	中世城跡804。加沢記 西深氏、中世城館等分布調査(S60~H元年)、 『群馬県古城址研究』下巻、『吾妻郡城郭史』、『日本城郭大系(一覧表)』
35	鷹川城址	袋倉	不明	城館	中世城跡808。頼朝狩屋の伝説、関連地名「城の平」。 中世城跡等分布調査(S60~H元年)、『群馬県古城址研究』下巻、 『吾妻郡城郭史』、『日本城郭大系(一覧表)』
36	大曾向原遺跡	大曾	縄文	散布地	
37	大曾小池遺跡	大曾	縄文	散布地	
38	大曾廻所跡	大曾	近世		村指定
39	大前城址	大前	中世 16世紀	城館	中世城跡803。堀切2、櫓郭、郭面、土橋
40	大前西柴栗遺跡	大前	縄文	散布地	遺跡台帳3131
41	大前北村遺跡	大前	縄文	散布地	遺跡台帳3132
42	释塚	田代	近世		
43	花童子の宮跡	田代	近世		四阿山修驗信仰の道の山中拠点。村指定
44	田代吾妻山遺跡	田代	縄文、平安	散布地	
45	田代沼遺跡	田代	縄文、平安	散布地	遺跡台帳3128
46	門貝上の山遺跡	門貝	縄文	散布地	
47	門貝須原遺跡	門貝	縄文	散布地	
48	門貝東平遺跡	門貝	縄文	散布地	
49	門貝鳴尾遺跡	門貝	不明	散布地	
50	熊野神社奥の院と梵字岩	門貝	中世		村指定

第2章 調査に至る経緯と目的

(1) 概要

嬬恋村教育委員会では、令和3年度より、昭和54年以降実施されてきた浅間山麓埋没村落総合調査会と嬬恋村教育委員会による発掘調査を、30年ぶりに再開することになった。

十日の窪埋没家屋・観音堂石段遺跡・延命寺跡遺跡の3遺跡の発掘調査の成果を踏まえ、新たに包括した埋蔵文化財の遺跡名称として「鎌原遺跡」を用い、災害直後に行われた引湯道跡の遺構を加え、遺跡範囲の内容と価値を確認する保存目的のための試掘確認調査を実施していくことがその具体である。

史跡の保存と公開・活用に向けた整備という最終目標に向け、その価値を明らかにするための調査計画を立て、村教育委員会の直営事業を開始することになり、令和3年度から、当初の7か年計画を6か年計画のもとに実施していく。

(2) 調査の目的と方法

天明三年（1783）の浅間山噴火で発生した岩屑なだれにより、旧鎌原村は一瞬にして埋没した。火山災害遺跡として、災害現象を把握しつつ発掘調査を進め、遺跡の価値を明らかにしていく。開始時の調査目的として、①岩屑なだれや旧地形の把握、②旧鎌原村の遺構検出や考古学的景観の復元、③既存調査の確認、④遺構からみる火山災害と被災地の人々の災害からの復興を目指した足跡、といった旧鎌原村域の範囲と「鎌原遺跡」としての残存状況、遺跡全体像の内容把握と価値づけを明らかにするための試掘確認調査を進めている。本書は、その新たな第1～3次調査の報告書として刊行する。また、既存の3遺跡（遺構）の発掘調査の評価の再検討に立った上で、公開保存と活用の目的を視野に入れた確認調査の実施、及び、火山災害遺跡としての復興へ向けた先人の足跡を明らかにし、価値づけを明確にするための総括調査報告書の刊行をこの後に予定する。

鎌原地区発掘調査検討委員会を年2回程度開催し、その指導のもと事業を進める。また、鎌原地区発掘調査連絡会や現地説明会として、年1～2回程度の住民・一般市民への公開・啓発と連携をはかったイベントを重ねていく。

覆土といえる「岩屑なだれ」層は、地点により5～6mの厚さが想定され、精査作業等に支障をきたすことも予想される。そのため、地点ごとの調査計画は変更の可能性を含んでいるものとして進めている。令和6年度からは、火山災害遺跡としての復興へ向けた先人の足跡を復元し、その価値づけを明確にするための確認調査に取り組み、史資料を援用する学際的な手法を用いて、総括調査報告書刊行を準備する。

第1～3年次の発掘調査報告書を令和5年度に刊行し、その後、総括報告書として、昭和54年度來の調査成果を再確認し、天明三年火山災害遺跡としての総合的な視座のもとで、総合調査報告書の刊行を目指す。そのために、順次、発掘調査検討委員会の専門部会による史料調査、原稿執筆などを進め、遺跡の価値づけと学術成果を反映させていく方針で事業を進めている。具体的な目的と方針は、以下の通りである。

①北麓を流れ下った岩屑なだれと旧地形に関する事（1年次）

- ・旧鎌原村地内の既存9か所のボーリング調査データなどを補完調査し、岩屑なだれが当時の集落域を削剥しながらどう流下していたか、あわせて、ムラ域の残存状況の把握。
- ・周辺踏査により確認した微地形の把握から、その解析のためのトレンチ調査による流下特性と旧地形の復元。

②旧鎌原村の耕地利用や考古学的景観の復元に関する事（2年次）

- ・伝承地名や被害絵図分析から調査地点を絞り込んだトレンチ調査による天明三年当時のムラ域全体像の把握や遺跡の残存状況の確認。

・これまで、下流域で進められてきた吾妻川や利根川流域の天明三年遺跡との比較に立ち、当地域内で検出される降下軽石や降下日時を明らかにすることで集約を図り、農事暦を援用させた村落景観や生業の復元を行うための周辺トレンチ調査。

③既存の3遺跡（遺構）に関すること（3年次）

- ・十日の窓埋没家屋、観音堂石段遺跡、延命寺跡遺跡の発掘資料の集約と現地位置情報の把握（レーダー探査の活用）。
- ・被災後の復興過程における遺構検出や既存調査の評価の再検討に立ったうえでの公開保存を目的とする発掘調査実施を視野に入れた現地調査。

④既存の3遺跡（遺構）の確認調査と「災害と復興」の足跡に関する遺構調査を加えた価値づけ（4年次以降）

- ・第1～3次調査（確認調査）の成果を加味し、延命寺跡遺跡の東側範囲の確定を行うための試掘追加調査を実施する。また、火山災害遺跡としての復興へ向けた先人の足跡を復元しその価値づけを明確にするための確認調査に取り組む。
- ・既存の3遺跡（遺構）と新たな遺構を加え、史資料等を含めた学際的な手法により、災害と復興について史跡を通して学べる場の整備や公開に向けた発掘調査と評価の再検討の上に立った事業の実施。

⑤各年次に対応させた調査報告書の作成と全体調整

- ・第1～3次調査報告の後の総合調査報告書の刊行。
- ・過年度実施調査の出土遺物を含めた整理や図化、自然科学分析を含めた調査工程での新たな知見の進展を目論み、一般公開の機会を設けた幅広い活用に資するよう努める。
- ・資料情報やレーダー探査、ボーリング調査等、発掘調査以外の援用の手立てを模索し、総合的な視点で地下の遺構情報の把握に努める。
- ・令和6年度から加える引湯道跡の確認調査には、現況図作成にレーザー測量を実施し、その後の立体図やGISデータ化など、保存目的とあわせた資料化と効率化を図れるような資料蓄積の展開に努めていく。

第3章 調査方法と経過

（1）調査の方法

①遺構面を覆う岩屑なだれ堆積物の掘削は重機を用い、人力掘削と併用しつつ、安全性を確保した遺構の検出のためのトレンチ調査を実施する。

②測量は、日本測地系に準拠させた座標系を用いた基準杭を用いる。

③旧鎌原村域の現地踏査により作成した微地形の読み込み検討に基づいた「調査基本図」を活用し、該当箇所でトレンチ調査を実施し、岩屑なだれの層厚と遺構検出を行う。

④自然科学分析を実施し、プラントオパール・花粉分析・回虫卵検出等を通して、天明三年当時耕作されていた作物の特定や栽培方法の解明を目指し、環境復元や遺構の性格判断、岩屑なだれの削剥の状況判断等の資料を得る。テフラ分析による火山災害遺跡発掘調査の資料蓄積を重ね、火山災害と人々の営み、遺跡の価値付けに向けた紐解きを行っていく。

⑤文献資料を援用し、遺跡の総括的な理解を図り、天明三年遺跡としての歴史的な視座に立った集約をはかる。

⑥火山学・砂防学・歴史学・自然地理学・災害社会学など周辺諸領域の学識経験者との協働的な分析を行うために、検討委員会に位置づけた専門部会の稼働を行い、学際的な視点での取り組みや、遺跡の価値付けを行う。

⑦発掘調査は、計6か年計画で実施し、第1～3年次の遺構検出の範囲確認目標の成果を踏まえ、必要な遺跡情報の集約を行っていく。

⑧見つかった遺物について、遺構面にそのまま埋め戻す場合には、別途、山砂などを用い、遺構や遺物に対して最善の策を講じる。

⑨発掘調査に際して基準座標は、令和2年度に業務委託で作成した「嬬恋村 座標グリッド設定」による。国家座標値を用いた村域に「5km方眼」を組み、その内部を「1km方眼（No. 1～25）」、さらに「100m方眼（南東隅を基準としたA～Yと1～24）」を「4mグリッド」で細分構成し、【地割】・【地区】・【区】・【アルファベット - 数字】の位置割付を行っている。

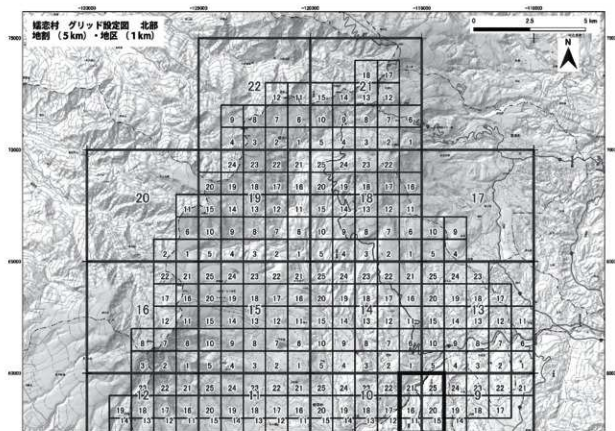
【地割】(5km 方眼) : X=45,000 Y=-110,000 を起点に、5kmで区切り 22 ブロックを設定。

【地区】(1km 方眼) : 各地割 (5km 方眼) の南東隅を起点に、1kmで区切り 25 ブロックを設定。

嬬恋村全体では、400 ブロック。

【区】(100m 方眼) : 各地区 (1km 方眼) の南東隅を起点に、100mで区切り、100 ブロック設定。

嬬恋村全体では、40,000 ブロック。



第3図 嬢恋村グリッド設定図(太枠内を第5図で示す)

【アルファベット - 数字】(4m グリッド)：各区 (100m 方眼) の南東隅を起点に、4m で区切り
625 ブロック設定。

以上により、割り付けられた 4m 方眼のグリッド名称を南東隅に落とし込み、平面図中に図示する。特に遺構図面で混乱が予想されない場合には「地割」、「地区」を略して用いる。

調査現場での測量については、調査作業員及び委託した測量業者が行った。

また、遺構等平面図は原則として縮率 1 : 80 割付図で作成し、断面図等もそれに準じた。全体図をはじめその他各図についての縮率はその都度縮尺を表示した。3 次元のデジタルデータを用いたオルソ画像や空中写真測量などを併用した。

遺構写真については、地上撮影およびドローンによる空中写真を調査担当者が行った。撮影にはデジタルカメラを用い、35mm 版カラーネガフィルム撮影を必要に応じて補足使用し、記録化した。

(2) 調査の経過

発掘調査においては、表土掘削を行うにあたり、重機による掘削を行い、作業員による遺構検出作業と精査を順次繰り返した。順次作業の終了にあわせ、重機による埋め戻しや農地の復旧を行った。

農地転用の必要な地点については一時転用の申請を行い、関連法規順守のもと、発掘調査の実施を行った。図面作成や遺物洗浄等の基礎整理作業も随時実施した。発掘調査はすべて嬬恋村教育委員会直営で実施した。

以下に、年次ごとの調査概要と手順を記載する。

①令和 3 年度（第 1 次）

10 月 10 日、第 1 回鎌原地区発掘調査連絡会（地域交流センター）実施。参加者 9 名。

10 月 28 日から、調査区の柵をはじめ安全対策を行い、掘削用の重機を搬入する準備を始める。掘削深度を考慮して、スライドアーム式の大型重機を用いた試掘調査を計画した。11 月 1 日、安全祈願祭のち重機での掘削を開始した。1 号トレーナーとして、西—東方向のトレーナーを掘削することを試みたが、4 m を越える深度のため、設定したラインを点で結ぶように枝分かれしたトレーナーを分割して掘削することにした。掘削深度により、埋め戻しまでの安全確保ができないと判断したトレーナーでは、1 地点ずつ記録を取つてから埋め戻しを行ながら進めることにした。作業は設定した排土との接配を見ながら掘削を進めた。

調査対象地の筆境の段差等を乗り越える際には、フレコンバッゲ（通称トンバッゲ）を利用し、畦畔や段差を崩さないように重機が乗り越える策をとった。トレーナーの壁面の崩落の危険がないと判断した場合には、安全確保のための養生をしながら、順次作業を進めていった。最終的に、1 ~ 6 号トレーナーを一筆書きになるように掘り進めながら、写真撮影と図化記録を進めた。また、7・8 号トレーナーの掘削と埋め戻しはすべて人力で行った。

途中、3-1 トレーナーにおいて、岩屑なだれ層直下に畑の歯サクの凹凸を思わせる調査面が検出されたが、これは後に誤認であることが判明する。その後も数か所で同様な削剝された筋状の痕跡が確認され始めた。これらは、いずれも同じ方向に沿う流向であることがわかり始めた。また、このこととは対照的に、鎌原神社境内地で掘削した 8 号トレーナーでは、厚さ 1.5 m ほどの堆積物下から、火山灰を含んだ軽石や火山灰が確認された。これは、後の分析の結果、天明三年に降下した As-A テフラとガラス屈折率分析値が一致し、当時の生活面が削剝されることなく堆積していたことをも意味することになる。

11 月 16 日、掘削した逆順に重機による埋め戻しを開始し、耕作土とその下の掘削土を戻す順を考えながら埋め戻しを行い、現状復帰の後、搬入口から重機搬出を行い、25 日調査を終了させた。途中、埋め戻す直前に掘削地点の深掘りを行い、As-Ypk の最上面の簡易測量の図化と、産状の観察を記録した。

②令和4年度（第2次）

6月25日、第2回鎌原地区発掘調査連絡会（地域交流センター）実施。参加者36名。

10月17日の安全祈願祭の後、4か所のトレンチ調査箇所の囲柵設置作業や安全対策の準備を進めた。2台の重機をそれぞれに配置し、調査の進捗にあわせて掘削作業と養生等を行なながら調査を進めた。19日から精査を始めた9号トレンチは、地元で「押しごっぱ」（押し端）と呼ばれてきた場所で、鎌原村を襲った岩屑なだれが押し止まった場所を指すと思われる地点である。ここでは、その通りに、当時の生活面を削剥することなく、火山や軽石を明瞭に残しており、伝承の通り土砂が押し止まった場所であることを意味していた。

25日からは、「フルヤシキ」の地名が残される、今回の発掘調査では最も南に位置する場所で重機掘削を行った。ここでは、最終的に4か所の掘削を行ったが、8mの深度まで掘り下げても堆積物下の地面を確認することができなかった。

11月8日から着手した11号トレンチは、堆積物直下面には筋状の削剥痕が確認されたが、古代の土器片3点も出土している。

11月12、15日に現地説明会を開催（参加者90名）。嬬恋郷土資料館「友の会」ガイドボランティアの協力による鎌原地内の解説を合わせて開催した。11月22日には、表土の埋め戻し等を終了させた。途中、11月11日には、第4回鎌原地区発掘調査検討委員会の視察を実施した。

③令和5年度（第3次）

4月10日に始まるレーダー探査では、2種類の探査機を用いて、大きく3か所の探査を実施した。あわせて、令和6年度の予定地についても探査を実施した。

6月10日、第3回鎌原地区発掘調査連絡会（地域交流センター）実施。参加者23名。

7月12日に準備、14日安全祈願祭実施後開始した発掘調査は、押し止まりの縁辺が土壘状の盛り上りを見せており、延命寺跡遺跡の寺域と背面の傾斜面の検出確認作業をねらいとするところであったが、幸いにも東に下る背後の斜面地形を、2m以上の段差で切り落とし造成されていると考えられる状況を確認した。さらに屋根部材と考えられる草屋根の一部残骸が押し付けられた状態で散在していた。さらに2mほど下位には30年前に検出された遺構面の平面図との照合がなされるので延命寺裏手の斜面地の切り盛り造成が想定される。

その後、現在でも大きな斜面地が広がる14号トレンチでは、なぎ倒されたと考えられるような引き千切られた木材等も出土している。また、当時降下したAs-A軽石も良好な状態で検出された。このことで、南側には、延命寺の寺社域の広がりは、望めないことが判断できる。13号トレンチでは、土層剥ぎ取りを実施した。途中、7月から8月にかけての期間、現場を見学できるように安全対策を行い、見学を可能として開放する策をとった。

8月6日に現地説明会開催（103名参加）。嬬恋郷土資料館「友の会」ガイドボランティアの協力による鎌原地内の伝承ポイントを巡る解説を合わせて開催した。その後、順次埋め戻しを行い9月7日の現場調査終了、9日の埋め戻し、現場撤収を終了させた。

第4章 基本層序

(1) 基本層序

調査対象地は、天明三年に発生した岩屑なだれ堆積物により巣封されている。堆積物直下については、削剥の有無や削剥された層厚などについて、埋没の直前に降下していたと推定される降下物（Ⅲ層）の存在とともに観察の視点を置いた。

千俣前田遺跡等の調査（嬬恋教委ほか 1999a、1999b、2000）では、いわゆる「クロボク土」とした黒色土に前後し、「浅間・六合軽石（As-Kn テフラ）」（軽石・火山灰で構成される厚い降下物層）が確認されており、その対比からⅣ層については、さらに細分することを可能にすると思われる。

- I 耕作土
- II 天明三年（1783）8月5日発生の岩屑なだれ堆積物
- III As-A テフラ As-A 軽石は3cm内外の粒径を中心、As-A 灰は粗粒灰赤色火山灰、明黄褐色火山灰と大別されるように観察されるが、検出はその後の岩屑なだれの削剥の条件によるところが大きいと考えられる。
- IV 黒色土 所謂クロボク土。粘性ややある。明褐色軽石等含むが、層位により粒径や割合が異なる。作土相当と考えられる不均質層も見受けられる。
- V ローム漸移層
- VI 明黄褐色ローム、風化した火碎流堆積物
- VII As-YPk：草津黄色軽石（嬬恋軽石、嬬恋降下軽石） 平原火碎流の直後（早川 2007）、14,000年前（中村ほか 1997）に発生した火碎流は遺跡周辺の吾妻川右岸を中心に厚く堆積している。
- VIII 火碎流堆積物 シルト質で軽度に溶結した軽石、火山灰層。浅間第一軽石流。

(2) As-YPk 層産状のタイプ

As-YPk（新井 1962、荒牧 1968）は、分布の中心軸を北北東にもち草津温泉で70cmの厚さがあることから草津軽石（As-YPk）と呼び、日本海の海底でも検出される重要な鍵層とされる。草津黄色軽石、嬬恋軽石、嬬恋降下軽石などとも呼称される。平原火碎流の直後（早川 2007）、14,000年前（中村ほか 1997）などの年代観をもつていて、この少し前の時期に発生した火碎流は遺跡周辺の吾妻川右岸を中心に厚く堆積している。

調査に伴う As-YPk 層の検出とその産状については、天明三年直下の周辺地形を考察する際の参考になると思われるため、観察視点をもって基本土層に区分けし記載した。また、観察は埋め戻し直前に、重機による深堀掘削で検出を行うなどの方法に依った。土層注記には、便宜上次の区分けとした。

- YPK-1：外面を赤錆マンガン凝集層で覆われ、風化は認められず、粒形状を保っている。
- YPK-2：外面は黄白褐色、風化は認められず、粒形状を保っている。
- YPK-3：外面は白色（脱色？）、風化著しく、粒形状を保っているが、握ると潰れる程度の粒形状。
- YPK-4：外面は黄白褐色であるが、YPK-3よりもさらに風化著しく、粒形状を保たないものもあり、握らずとも自然と潰れる程度の粒形状。

(3) 周辺のクロボク土について

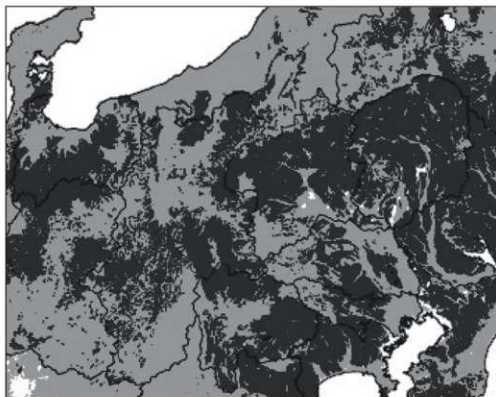
クロボク土は、日本の国土面積のおよそ3割に分布し、国内の畑の5割弱を覆い、国外ではほとんど見られないとされている我が国に特徴的な土壌である。

一般に母材である火山灰土の風化物に含まれる活性アルミナや鉄分と植物遺体などの有機物の蓄積により形成される。有機物と結合しやすいことはその効力により植物に適した土壌である団粒構造を呈し、保水性や透水性が良く、緻密度が低く耕起が容易であり、他の土壌に比べて物理性は良好である。しかしその一方で、アルミニウムや鉄は、土壤中でリン酸と反応し、リン酸が植物に利用されにくい形態に変化する。そのため、作物の生長に必要なリン酸が供給されにくく、必ずしも農業生産に向いた土壌とは言えない。そのため農業生産においては、リン酸肥料（化学肥料）などの利用により生産性の改善が図られる（松中 2003）。

浅間山北麓に位置する当地では、第4図の分布図のようにクロボク土の空白範囲が一部広がっており、この範囲は有史以来の浅間山噴火の活動史の影響を受けた地域で、その表層が流出物で覆われていることが理由になっている。

浅間山をはさんだ、信州側での考古遺跡と生態系の再編に関して、縄文人の山焼きによる草原づくりや長期間の山焼きによる炭の粉（微粒炭）の存在が風成塵と共に堆積し、黒色の腐食土を保持しクロボク土の形成に影響を与えた、という提起がなされている（山野井 2023）。

また、クロボク土と遺跡の紹介事例としての考古学的な視座についても取り上げられている（芹沢 2023）。人間の活動としてのクロボク土生成の要因に対して、遺跡からのメッセージは重要なものであり、浅間山北麓側での事例報告などの資料蓄積も、研究領域を越えた中で議論されていくことが求められるであろう。その意味でも、天明三年の岩屑などだれに埋没した土壌としてのクロボク土の理化学的な資料、自然科学分野との協働作業が求められると考えられ、今後の課題の一つとしていきたい。



第4図 クロボク土の分布状況 (日本土壌インベントリー <https://soil-inventory.rad.naro.go.jp/explain/D.html> を編集)

第5章 各トレンチと遺物

(1) トレンチ

本報告で扱うトレンチ調査では、都合1～15号までのトレンチを設定した。本来であれば、地形を考慮したトレンチ掘削を行っていくべきであるが、掘削深度が深く作業土量の多さで掘削がままならないこと、また、安全確保がつかないことから、状況に応じ、写真撮影や測量を終えた箇所から埋め戻しを行ながるの進捗を迫られた。このことより、地形を読み取れるように事前に設定したトレンチ番号に対して、地表面の横断面図に付け加えていくようなトレンチ掘削を行い、枝番号を付した呼称とした。

「岩屑なだれ堆積厚」は現地表面から天明三年の地表面までの深度と考えるが、岩屑なだれに削割された箇所が多く、直下からAs-Aテフラの検出により厳密に当時の地表面の残存を確認することができる箇所もある。厳密には表土厚も含めた深度を計測した。また、調査手順として、埋め戻し時点で可能な限り、As-YPk層の上面の深度を概測で把握する作業を行った。その際、産状として4種類の産状の区分けを行った。

1号トレンチ

1号トレンチは、路村形態に復興された鎌原地区の集落内を南北に走る街路南端寄りの地点で、仮に埋没前の村落が東西で中央が窪む様な旧地形が読み取れないかと考えたことでのトレンチ設定である。1・1～4トレのトレンチ断面で、現況水田耕作土の断面で、不均質であるが、黄褐色ロームのわずかな層が確認された。これは、天明三年の岩屑なだれ堆積物層上で水田をつくる際に、付近の「カベトリバ」から壁土を運び込み沈澱させ、水田の不透水層をつくり水が抜けないようにした「トコネリ」の痕跡（口絵8）と考えられる（群馬県教育委員会1973）。土壤の試料分析を行った。

1-1トレ

位置 15地区100区B-17グリッド。 岩屑なだれ堆積厚 4.3m。 As-YPk上面深度 未計測。 As-Aテフラ検出 なし。 出土遺物 1-1トレ・加工木材・ヒメコマツ（五葉松）とみられる。 特記事項 岩屑なだれ堆積直下面ではクロボク土。焼土を思わせる赤錆の一部を確認する。調査中に水がにじみ出るが、所謂クロボクを不透水層とする溜水か。

1-2トレ

位置 15地区100区V-16グリッド。 岩屑なだれ堆積厚 4.43m。 As-YPk上面深度 5.6m。 As-Aテフラ検出 なし。 出土遺物 なし。 特記事項 岩屑なだれ堆積直下面ではクロボク土。調査中に水がにじみ出るが、所謂クロボクを不透水層とする溜水か。

1-3トレ

位置 15地区99区N-15グリッド。 岩屑なだれ堆積厚 4.1m。 As-YPk上面深度 未計測。 As-Aテフラ検出 なし。 出土遺物 なし。 特記事項 1-2トレと同じ。

1-4トレ

位置 15地区99区H-13グリッド。 岩屑なだれ堆積厚 4.8m。 As-YPk上面深度 未計測。 As-Aテフラ検出 なし。 出土遺物 なし。 特記事項 1-2トレと同じ。

2号トレンチ

2-3トレは、3-2トレと共に南北方向の2-1～3トレの断面図から観察すると、2-3トレの削剥が著しく、クロボクが全く残存しない。天明三年当時はこの位置は微高地形があった可能性があり、トレンチの方向とは交差するような動きの土砂で削剥したものか。土壤の試料分析を行った。

2-1トレ

位置 15地区98区P-4グリッド。 岩屑なだれ堆積厚 3.39m。 As-YPk上面深度 4.99m。 As-Aテフラ検出 なし。 出土遺物 2-1トレ・層位3^o・オニグルミとみられる。

特記事項 3rd 層は、岩屑なだれによる削剥された土砂の堆積か。ただし、岩屑なだれ堆積物を挟んでいない。埋め戻しに際しての深掘りでは、引き千切られた流木が3rd 層から出土している（写真図版3）。

2- 2 トレ

位置 15 地区 98 区 N-18 グリッド。 岩屑なだれ堆積厚 3.9 m。 As-YPk 上面深度 未計測。 As-A テフラ検出 なし。 出土遺物 なし。 特記事項 As-YPk の産状が特徴的。

2- 3 トレ (3- 2 トレと同じ。)

3号トレンチ

3- 1 及び 2 トレにおいて、剥削された筋状の痕跡が検出された。土壤の試料分析を行った。

3- 1 トレ

位置 15 地区 98 区 T-24 グリッド。 岩屑なだれ堆積厚 3.3 m。 As-YPk 上面深度 4.29 m。 As-A テフラ検出 なし。 出土遺物 なし。 特記事項 剥痕の流向は、N-30°-W。As-YPk の産状が特徴的。

3- 2 トレ

位置 15 地区 98 区 M-22 グリッド。 岩屑なだれ堆積厚 2.8m。 As-YPk 上面深度 3.85 m。 As-A テフラ検出 なし。 出土遺物 なし。 特記事項 剥痕の流向は、N-30°-W。As-YPk の産状が特徴的。

3- 3 トレ

位置 15 地区 98 区 C-20 グリッド。 岩屑なだれ堆積厚 3.6 m。 As-YPk 上面深度 未計測。 As-A テフラ検出 なし。 出土遺物 なし。 特記事項 7 層は、粘質土を含み、緊結の度合い強く角礫を主体としている。

4号トレンチ

3号トレンチ同様に、東側のトレンチでは、現標高も低く、クロボク土は残存していない。4- 1 トレで、土壤の試料分析を行った。

4- 1 トレ

位置 20 地区 8 区 R-12 グリッド。 岩屑なだれ堆積厚 2.8 m。 As-YPk 上面深度 4 m。 As-A テフラ検出 なし。 出土遺物 なし。 特記事項 剥痕の流向は、N-30°-W。土壤の試料分析を行った。

4- 2 トレ

位置 20 地区 8 区 L-11 グリッド。 岩屑なだれ堆積厚 2.5 m。 As-YPk 上面深度 3.8 m。 As-A テフラ検出 なし。 出土遺物 なし。 特記事項 剥痕の流向は、N-30°-W。土壤の試料分析を行った。

4- 3 トレ

位置 20 地区 8 区 C- 8 グリッド。 岩屑なだれ堆積厚 3.3 m。 As-YPk 上面深度 未計測。 As-A テフラ検出 なし。 出土遺物 なし。 特記事項 現標高も低く、クロボク土は残存していない。

5号トレンチ

位置 20 地区 18 区 C-16 グリッド。 岩屑なだれ堆積厚 3 m。 As-YPk 上面深度 未計測。 As-A テフラ検出 なし。 出土遺物 なし。 特記事項 3- 3、4- 3 トレと同様にクロボク土は残存しない。

6号トレンチ

6- 1 トレでは、クロボク土が残存し、剥削された筋状の痕跡が確認された。断面図でもわかるようにもともと低い地形であったことがわかるが、クロボク土が削剥された 6- 2 トレ、6- 3 トレとの対比からも、鎌原神社の丘陵状の地形であったことが読み取れる。6- 1 トレで、土壤の試料分析を行った。

6- 1 トレ

位置 20 地区 18 区 P-19 グリッド。 岩屑なだれ堆積厚 2 m。 As-YPk 上面深度 未計測。 As-A テ

フラ検出 なし。 **出土遺物** なし。 **特記事項** ①～②のクロボク土の表層は、削剥された痕跡を残している。削痕の流向は、N-30°-W。

6- 2トレ

位置 20地区18区S-14グリッド。 **岩屑なだれ堆積厚** 1.2m。 **As-YPk 上面深度** 3.13m。 **As-A テフラ検出** なし。 **出土遺物** なし。 **特記事項** ローム面まで削剥されており、削痕の流向は、N-30°-W。

6- 3トレ

位置 20地区18区S-14グリッド。 **岩屑なだれ堆積厚** 1.84m。 **As-YPk 上面深度** 未計測。 **As-A テフラ検出** なし。 **出土遺物** なし。 **特記事項** ローム面まで削剥されている。

7号トレーンチ

位置 20地区18区Q-25グリッド。 **岩屑なだれ堆積厚** 2.48m。 **As-YPk 上面深度** 未計測。 **As-A テフラ検出** なし。 **出土遺物** なし。 **特記事項** 1層の表土は、岩屑なだれ堆積物の可能性がある。例えば、13トレーンチの断面に現れる追分火碎流ブロックと同様な可能性もあるが、客土相当と考えておく。

8号トレーンチ

位置 20地区8区N-24グリッド。 **岩屑なだれ堆積厚** 1.49m。 **As-YPk 上面深度** 未計測。 **As-A テフラ検出** あり。 **出土遺物** 1層中から陶磁器類（未掲載）。近代の擾乱か。 **特記事項** 2層は軽石含む火山灰層。土壤の試料分析を行った。

9号トレーンチ

地元では「押しげっぱ」と呼ばれる浅間押しの押し止まった地点に該当する。9- 1、2トレでは、As-A テフラの検出の有無の対比を確認できる。特に、As-A 灰の自然科学分析では想定しない分析値をえることになったので、今後の検討資料とする。

9- 1トレ

位置 25地区23区X- 6グリッド。 **岩屑なだれ堆積厚** 2.1m。 **As-YPk 上面深度** 4.2m。 **As-A テフラ検出** あり。粗粒灰赤色火山灰、明黄褐色火山灰と合わせてAs-A 軽石を検出。 **出土遺物** なし。

特記事項 検出されたAs-A 軽石の他にAs-A 灰と考えられる火山灰は2種類の色調と特徴をもっているように観察される。筋状に検出されるが、この部分だけでは遺構につながるかどうかの判断はできない。自然科学分析を含め今後の検討が求められる。

9- 2トレ

位置 25地区24区C- 1グリッド。 **岩屑なだれ堆積厚** 2.5m。 **As-YPk 上面深度** 4.4m。 **As-A テフラ検出** なし。 **出土遺物** なし。 **特記事項** 平面にAs-A 軽石を全く見ることがないので、クロボク土表面を岩屑なだれが表層を削平した可能性が高い。9- 1トレと9- 2トレの対比で、削平箇所と堆積箇所の違いがあると思われる。掘削途中にクロボク土が筋状に検出されたので図化を行った。流向はN-16°-Wであり、小熊沢方向からの土砂の流れ込みを想起させる。岩屑なだれ堆積物の構成は、河川堆積物をブロックで含む不均質なもので、堆積物直下は鉄分凝集層が構成されている。

10号トレーンチ

本トレーンチ内、特に10- 1トレでは、筋状のAs-A テフラが残存していた。

10- 1トレ

位置 20地区56区T-21グリッド。 **岩屑なだれ堆積厚** 2.4m。 **As-YPk 上面深度** 4.7mまで確認するが未検出。 **As-A テフラ検出** 煙のサク上に堆積したかのようなAs-A テフラの産状を呈する。 **出土遺**

物 木材片が岩屑なだれ底部付近で出土（未掲載）。 **特記事項** トレンチ内で確認される As-A テフラの産状と畝状の平面は畑の遺構を想起させる。また、断面詳細図に図化したように、軽石降下後の「荒起こし」などの農事痕跡の可能性もあるが、特定には至らない。岩屑なだれによる削痕の流向は、N-23°-E である。

10- 2トレ

位置 20 地区 56 区 V-23 グリッド。 **岩屑なだれ堆積厚** 3.38 m。 **As-YPk 上面深度** 4.7 mまで確認するが未検出。 **As-A テフラ検出** なし。 **出土遺物** なし。 **特記事項** 樹根痕を確認。

11号トレンチ

位置 15 地区 78 区 A-14 グリッド。 **岩屑なだれ堆積厚** 3.83 m。 **As-YPk 上面深度** 4.98 m。 **As-A テフラ検出** 削痕に紛れながら、As-A 軽石が表面に散在。 **出土遺物** 古代土器片 3 点出土。 **特記事項** 削痕による表面の凹凸が著しいが、表面に As-A 軽石が面的に確認できる。削痕の流向は N-24°-W である。また、遺物の散布がある。自然科学分析、土質試験分析を行った。

12号トレンチ

地元地名では、「フルヤシキ」と呼ばれている場所であり、地形的に小熊沢から見ると、段丘地形を形成することから、トレンチ掘削の対象としたが、最大 8 m の掘削深度においても、岩屑なだれ堆積物下の面を確認することができなかった。

12- 1トレ

位置 15 地区 68 区 F- 3 グリッド。 **岩屑なだれ堆積厚** 未計測。 **As-YPk 上面深度** 未計測。 **As-A テフラ検出** なし。 **出土遺物** なし。 **特記事項** 2 層中、礫を多く含む。掘削深度 6 m。

12- 2トレ

位置 15 地区 58 区 N-24 グリッド。 **岩屑なだれ堆積厚** 未計測。 **As-YPk 上面深度** 未計測。 **As-A テフラ検出** なし。 **出土遺物** なし。 **特記事項** 2 層中、礫を多く含む。掘削深度 4.5 m。

12- 3トレ

位置 15 地区 68 区 S- 1 グリッド。 **岩屑なだれ堆積厚** 未計測。 **As-YPk 上面深度** 未計測。 **As-A テフラ検出** なし。 **出土遺物** なし。 **特記事項** 2 層中、礫を多く含む。湧水は、溜水あり。掘削深度 6 m。

12- 4トレ

位置 15 地区 58 区 P-23 グリッド。 **岩屑なだれ堆積厚** 未計測。 **As-YPk 上面深度** 未計測。 **As-A テフラ検出** なし。 **出土遺物** なし。 **特記事項** 2 層中、礫を多く含む。掘削深度 8 m。

13号トレンチ

位置 20 地区 30 区 V-18 グリッド。 **岩屑なだれ堆積厚** 3 m内外。 **As-YPk 上面深度** b - b' , d - d' , e - e' においては 30 ~ 40cm の深度。 **As-A テフラ検出** 面的に散在。屋根材と思われる部材中でも検出されていることから、建物屋根に降下していたという見方ができる。 **出土遺物** 屋根部材。 **特記事項** 埋没延命寺の寺屋敷部分に相当する裏手斜面及びその切り盛り造成部分に該当すると考えられる。屋根部材と考えられる部材の分部が確認される。概ねあと 2 m 程度の掘削深度で、過年度調査の遺構面まで到達するものと考えられる。部材及び土層剥ぎ取りを行った。

14号トレンチ

延命寺の建立されていた平坦から斜面地に切り替わる地形を掘削した。断面図は、14- 1 トレに透視させ作成した。

14- 1 トレンチ

位置 20 地区 30 区 X - 7 グリッド。 岩屑なだれ堆積厚 2 m以上。 As-Ypk 上面深度 未計測。
As-A テフラ検出 面的に散在。 出土遺物 なし。 特記事項 平坦地の広がりを確認するために 2 m 以上 の深度で掘削するが岩屑なだれ下面を検出できなかった。

14- 2 トレンチ

位置 20 地区 30 区 W- 8 グリッド。 岩屑なだれ堆積厚 6.1 m。 As-Ypk 上面深度 未計測。 As-A テフラ検出 面的に散在。 出土遺物 なし。 特記事項 標高 903.80 m 前後の標高の平坦な地形が続くことを確認。

14- 3 トレンチ

位置 20 地区 21 区 A - 6 グリッド。 岩屑なだれ堆積厚 7.4 m。 As-Ypk 上面深度 未計測。 As-A テフラ検出 特に斜面傾斜のあるトレンチの西側寄りで顯著な堆積であった。最大径は 3 cm を計り、硫黄臭が感じられる。 出土遺物 板部材 1 点が引き千切られた立木らとともに出土。

15 号トレンチ

位置 16 地割 16 地区 21 区 C -15 グリッド。 岩屑なだれ堆積厚 0.5 m。 As-Ypk 上面深度 未計測。
As-A テフラ検出 なし。 出土遺物 なし。 特記事項 押し止まり部分最上の位置。

(2) 遺物

遺物掲載番号（遺物番号）1 (R3・1-1 トレ1)

計測値 cm：長（51.0）/ 幅 6.8/ 厚 6.0

樹種・材料取・成形等 ヒメコマツ（五葉松）。角材。芯無し。木裏側 2 面にノコギリ引き痕。木表側 2 面はチョウナ等による仕上げ痕。部材用途等不明。型取りによる樹種同定。

遺物掲載番号（遺物番号）2 (R4・10-1 トレ1)

計測値 cm：長（11.5）/ 幅 2.0/ 厚 1.8

材料取・成形等 棒状。芯無し。断面擬三角形に加工。

遺物掲載番号（遺物番号）6 (R5・14-2 トレ1)

計測値 cm：長（17.5）/ 幅（6.5）/ 厚 1.3

材料取・成形等 板材。板目。木口片側断面はノコギリ引き痕のケバ残る。木端面片側は割れ。

遺物掲載番号（遺物番号）7 (R5・14-2 トレ2)

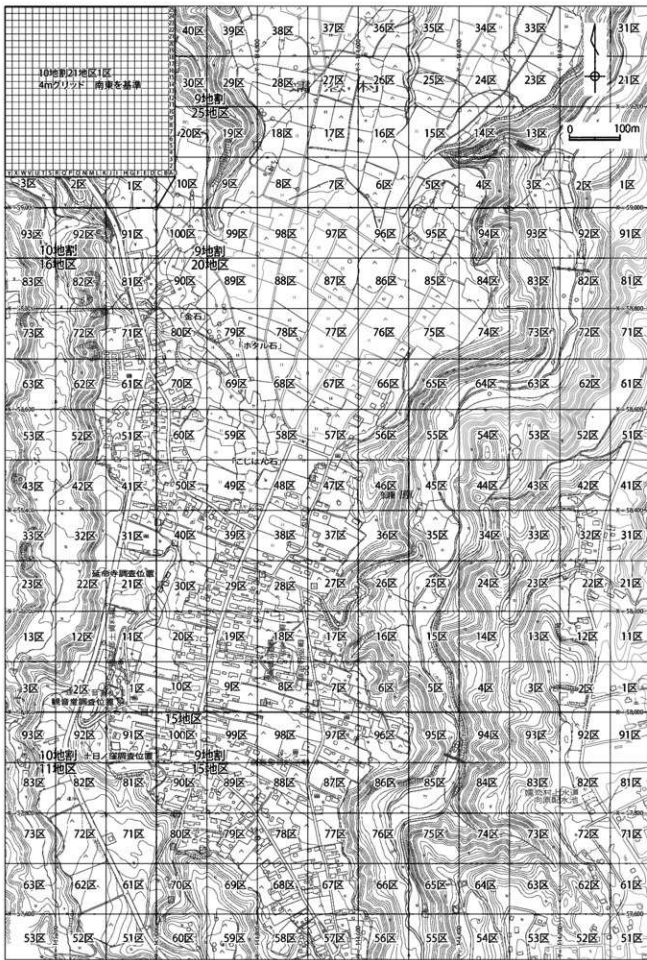
計測値 cm：長（45.0）/ 幅 7.0/ 厚 5.0

材料取・成形等 芯持ち丸材。杭の先端部分。先端は丸太自然面を残し、3 方向の鉈等による切削面。

遺物掲載番号（遺物番号）8 (R5・14-2 トレ3)

計測値 cm：長（49.5）/ 幅 7.5/ 厚 1.8

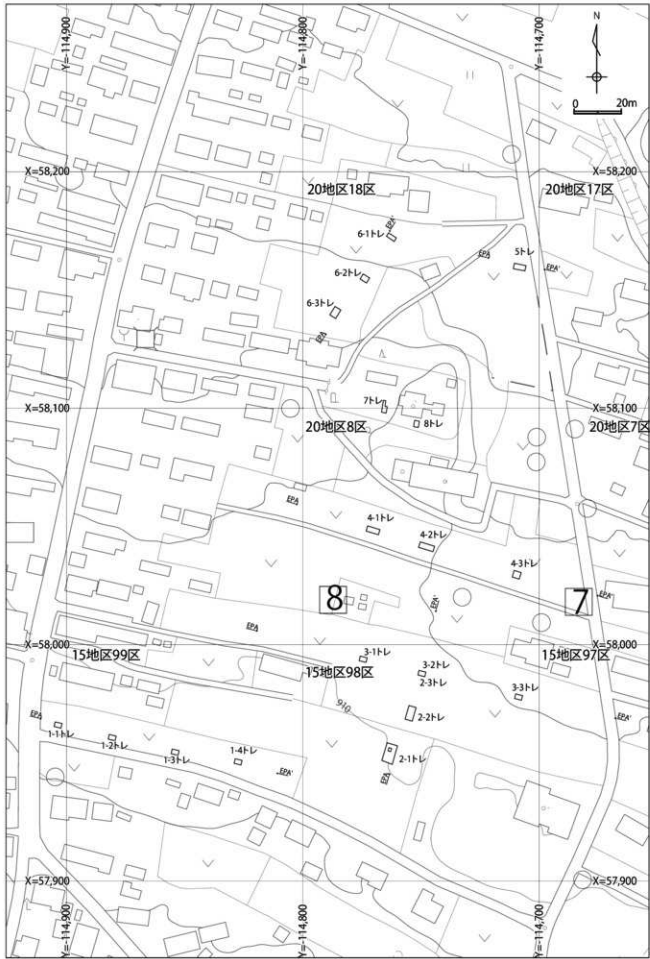
材料取・成形等 板材。板目。木口片側断面はノコギリ引き痕。



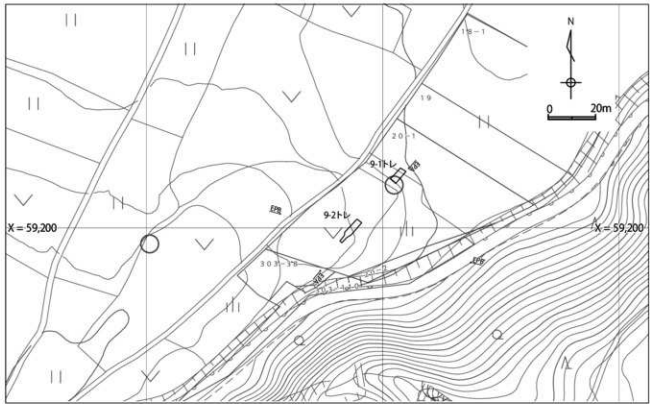
第5図 全体図



第6図 トレンチ位置図



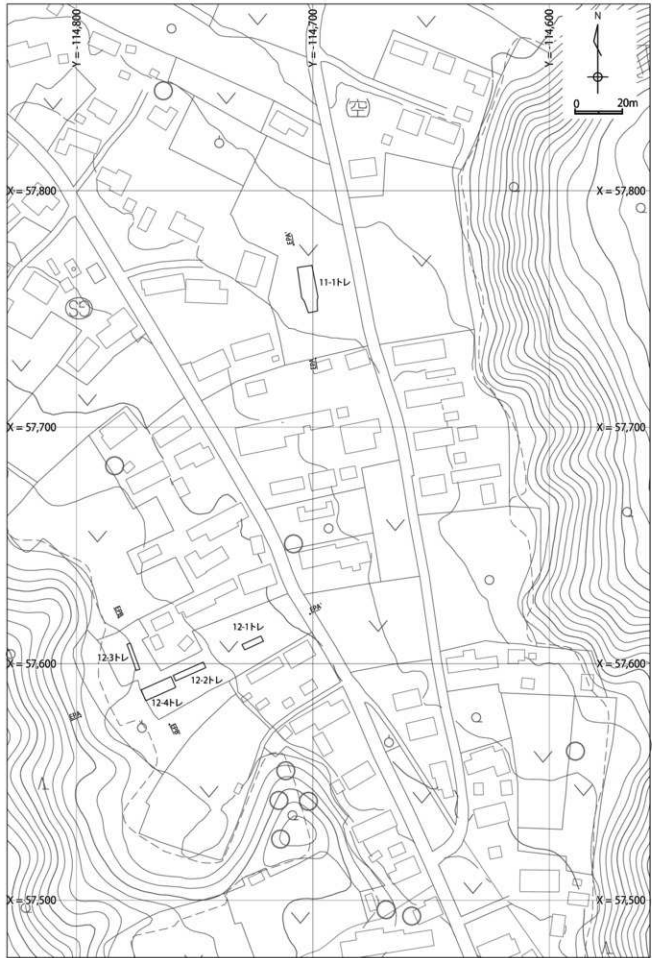
第7図 1~8トレーンチ配置全体図



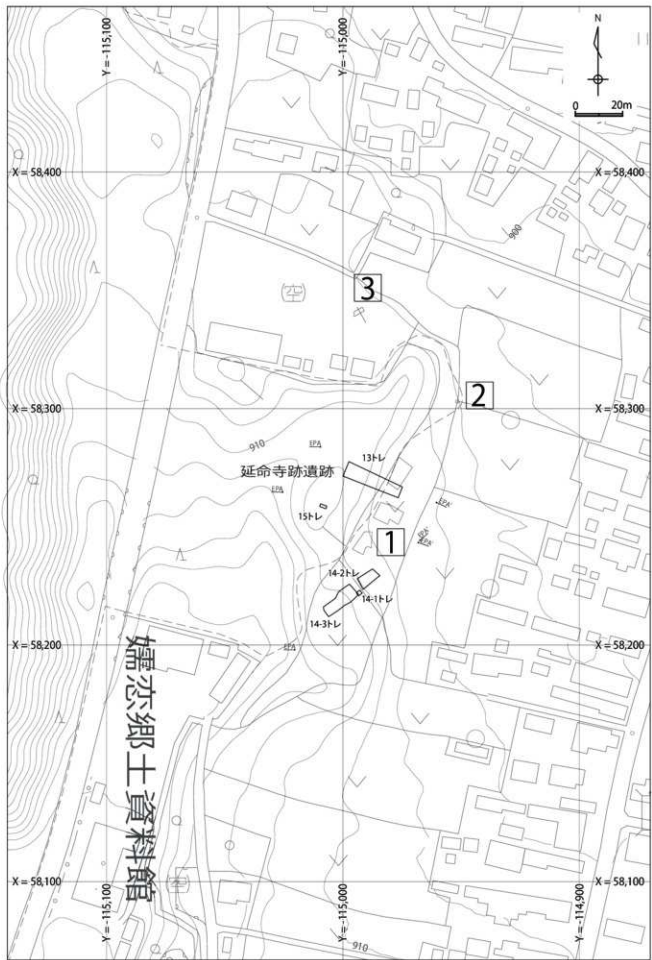
第8図 9トレーンチ配置全体図



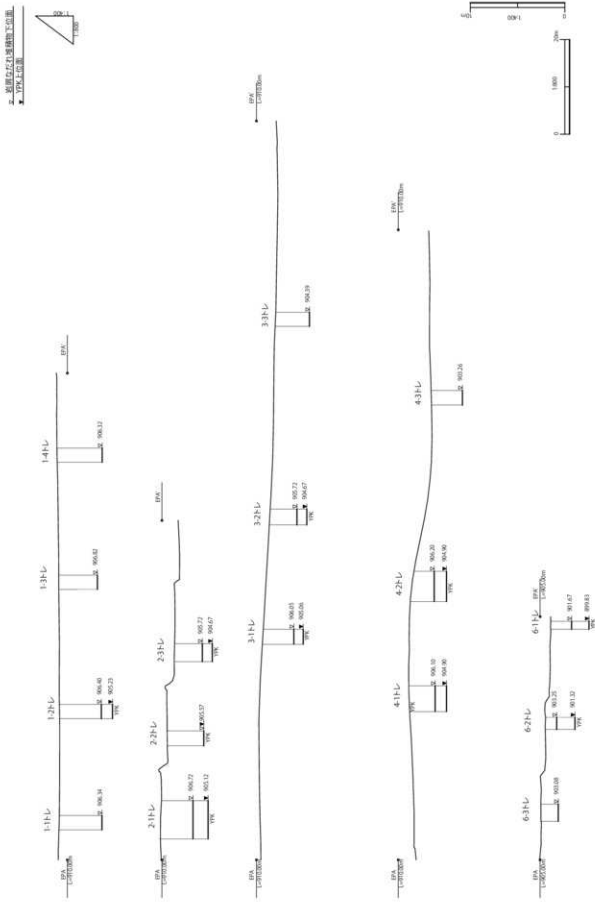
第9図 10トレーンチ配置全体図



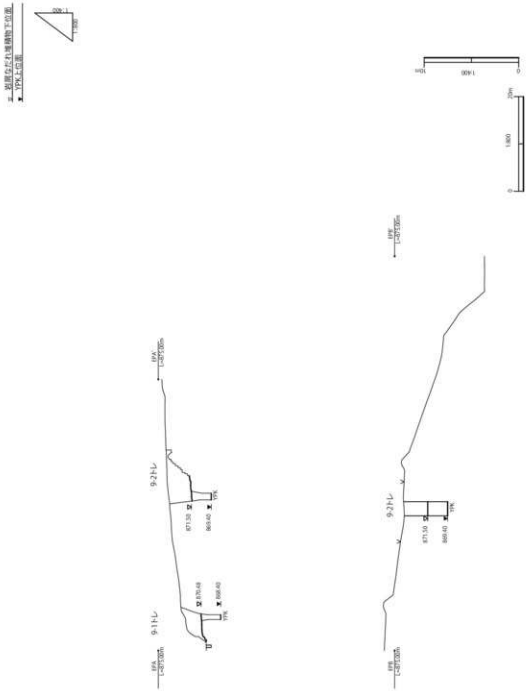
第10図 11・12トレンチ配置全体図



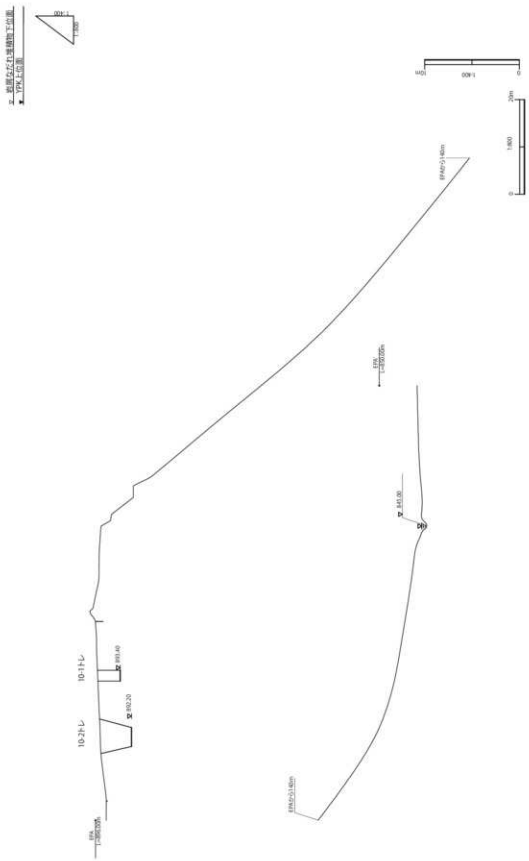
第11図 13~15トレンチ配置全体図



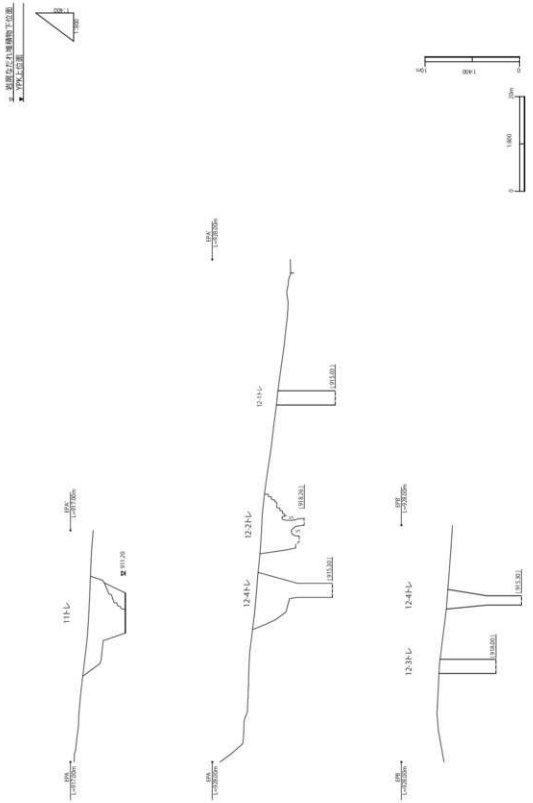
第12図 1~6トレーナ断面図



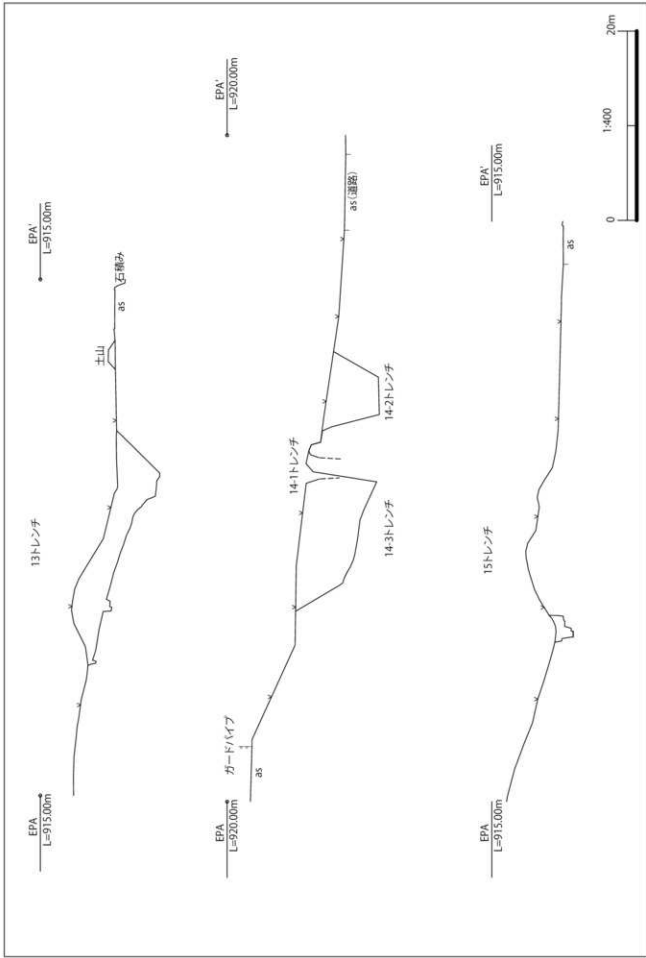
第13図 9トレンチ断面図



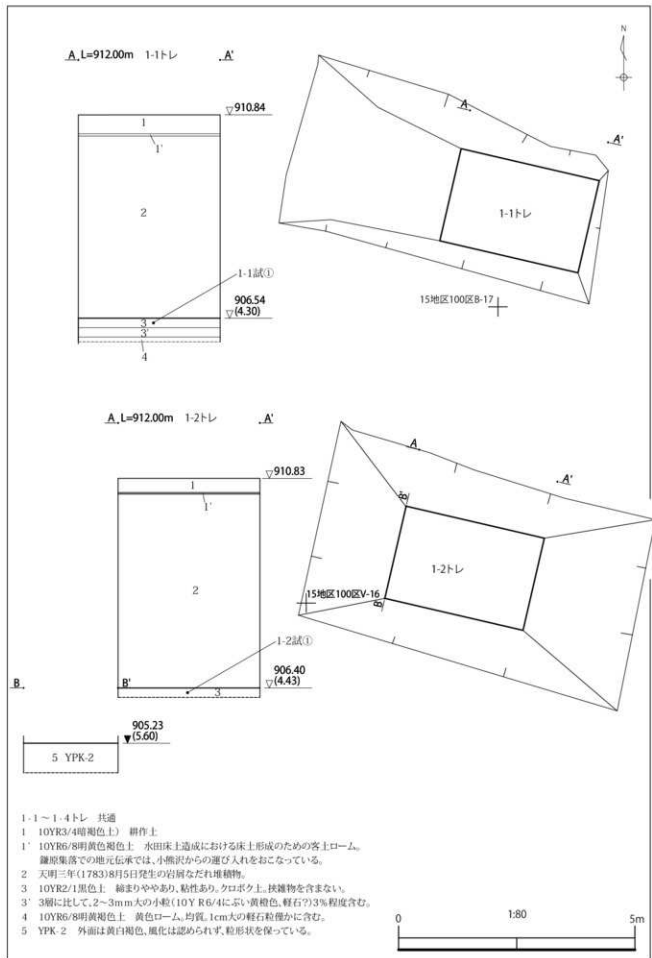
第14図 10トレンチ断面図



第15図 11~12 トレンチ断面図

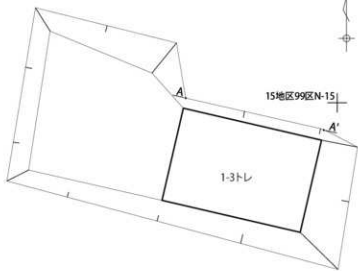


第16図 13~15トレンチ断面図

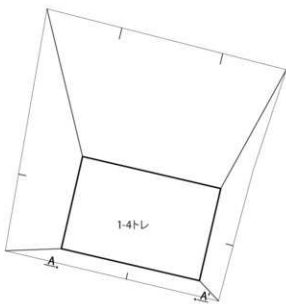
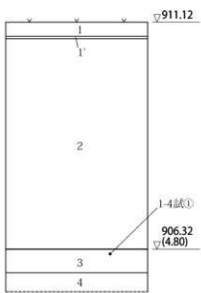


第17図 1-1・1-2トレ平面図・断面図

A₁L=912.00m 1-3トレ
L=912m



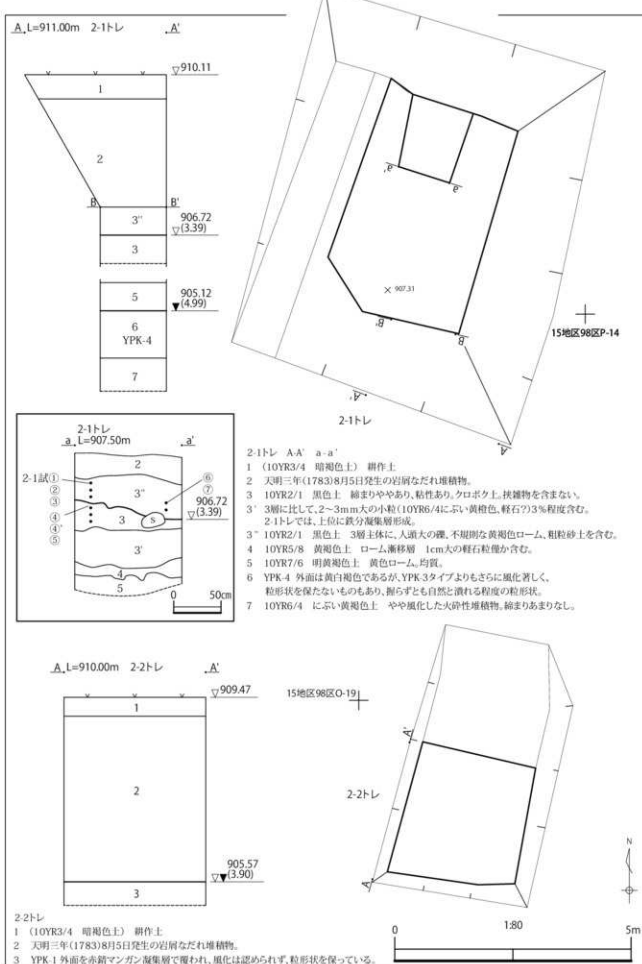
A₁L=912.00m 1-4トレ
A'



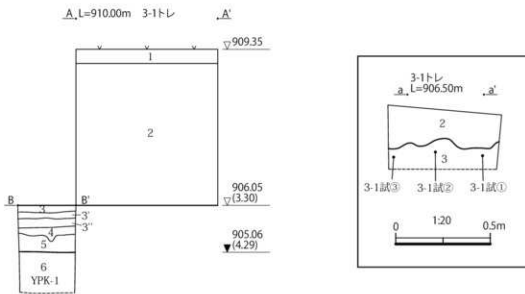
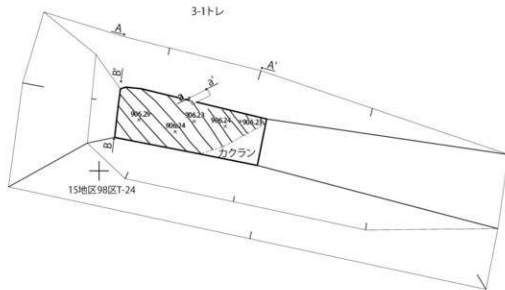
15地区99区H-13



第18図 1-3・1-4トレンチ平面図・断面図



第19図 2-1・2-2トレンチ平面図・断面図

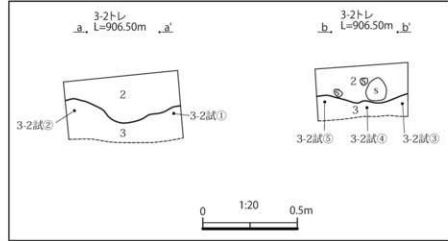
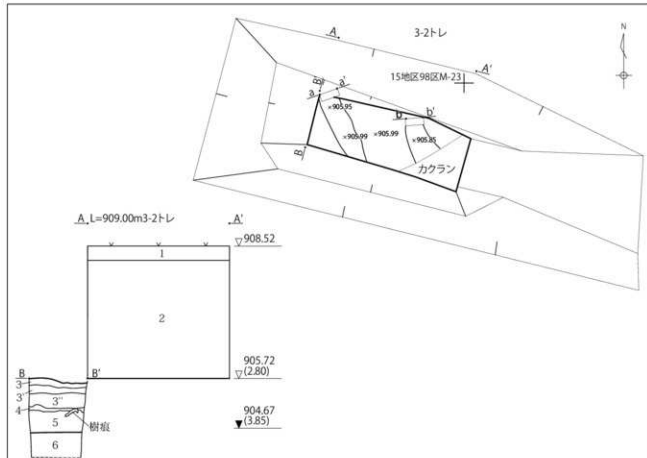


3-1トレ

- 1 (10YR3/4 暗褐色土) 耕作土
- 2 天明三年(1783)8月5日発生の崩落なだれ堆植物。
- 3 10YR2/1 黒色土 細まりややあり、粘性あり。クロボク上。軽石粒僅か含む。
- 3' 10YR2/1 黑色土 細まりややあり、粘性あり。クロボク上。軽石粒少量含む。
- 3'' 10YR2/1 黒色土 細まりややあり、粘性あり。クロボク上。やや粗粒の軽石粒少量含む。
- 4 10YR5/6 黄褐色土 ローム漸移層 1cm大の軽石粒僅か含む。
- 5 10YR7/6 明黄褐色土 黄色ローム。均質。
- 6 YPK-1 外面を赤鉛マンガン凝集層で覆われ、風化は認められず、粒形状を保っている。



第20図 3-1トレチ平面図・断面図

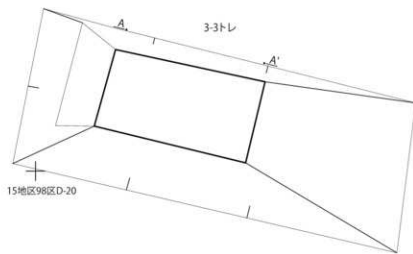


3-2トレ

- 1 (10YR3/4 暗褐色土) 稲作土
- 2 天明三年(1783)8月5日発生の岩屑なだれ堆積物。
- 3' 10YR2/1 黒色土 緩まりややあり、粘性あり、クロボク土。軽石粒少量含む。
- 3'' 10YR2/1 黒色土 緩まりややあり、粘性あり、クロボク土。軽石粒やや多く含む。
- 4 10YR5/8 黄褐色土 ローム漸移層 1cm大的軽石粒僅か含む。
- 5 10YR7/6 明黄褐色土 黄色ローム均質。
- 6 YPK-1 外面を赤筋マンガン凝集層で覆われ、風化は認められず、粒形状を保っている。

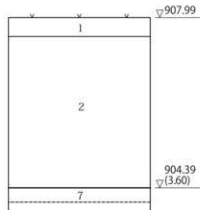


第21図 3-2トレンチ平面図・断面図



A-A' L=909.00m 3-3トレ

A'

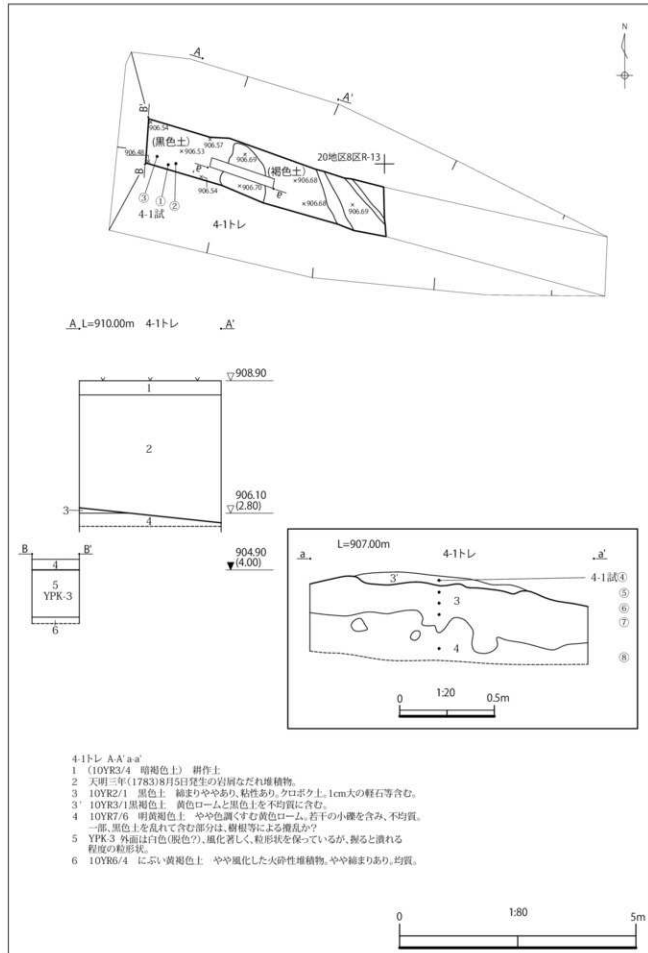


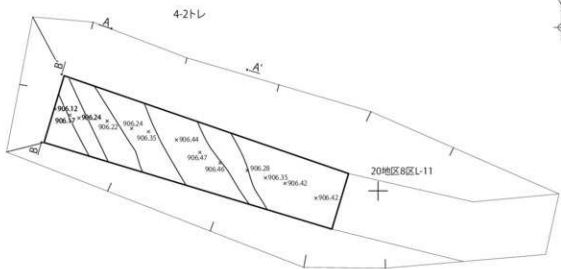
3-3トレ

- 1 (10YR3/4 暗褐色土) 耕作土
- 2 天明三年(1783)8月5日発生の岩屑なだれ堆積物。
- 7 10YR6/6 黄褐色土 やや色調桃色味あり。くすんだ色調で、礫層主体でバックホウの振削が叶わないほどの
堅結具合。角礫を主体に桃色粘質土を含む。

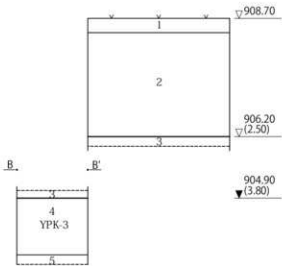


第22図 3-3トレンチ平面図・断面図





A L=910.00m 4-2トレ A'

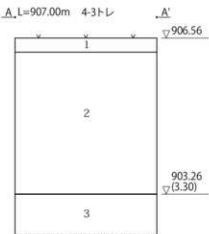
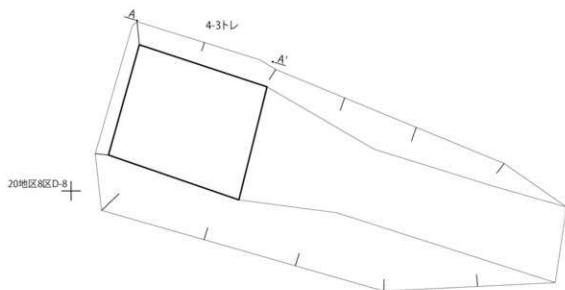


4-2トレ

- 1 (10YR3/4 暗褐色土) 耕作土
- 2 天明三年(1783)8月5日発生の岩屑なだれ堆植物。
- 3 10YR7/6 明黄褐色土 1~3 cm大の黄白軽石をごく少量含む。中位には色調明るい火山灰?層(固)を含む。
- 4 YPK-3 外面は白色(膜色?)、風化著しく、粒形状を保っているが、掘ると潰れる程度の粒形状。
(※2層と3層の境界面から1.3mで白色YPK(厚さ12mの下位は、にぶい赤褐色の火山灰層か)
- 5 10YR6/4 にぶい黄褐色土 やや風化した火砕性堆植物。やや縮まりあり。均質。



第24図 4-2トレ平面図・断面図

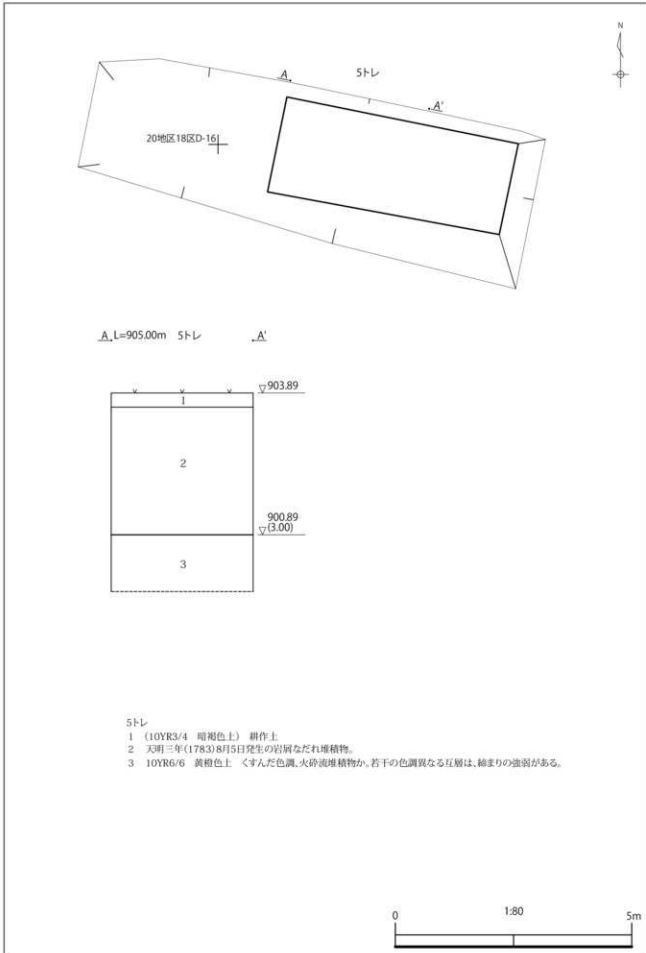


4-3トレ

- 1 (10YR3/4 暗褐色土) 耕作土
- 2 天明三年(1783)8月5日発生の岩屑なだれ堆植物。
- 3 10YR6/8 明黄褐色土 上位はローム化した火砕流堆植物、その下位に火砕流堆植物。

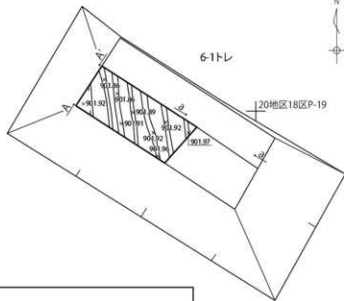
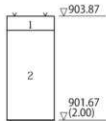


第25図 4-3トレンチ平面図・断面図

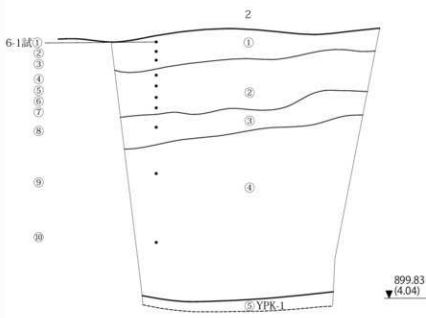


第26図 5トレンチ平面図・断面図

6-1トレ
 $A_L = 905.00 \text{m}^2$



6-1トレ
 $A_L = 901.50 \text{m}$



6-1トレ

1 (10YR3/4 暗褐色土) 耕作土

2 天明三年(1783)8月5日発生の岩屑なだれ堆積物。

① 10YR2/1 黒色土 緩まりややあり、粘性あり。クロボク土。0.5cm大の暗褐色軽石等含み、不均質。
(耕土相当とは考えにくい?)

② 10YR2/1 黒色土 緩まりややあり、粘性あり。クロボク土。1cm大の暗褐色石含むが、①層より割合少ない。

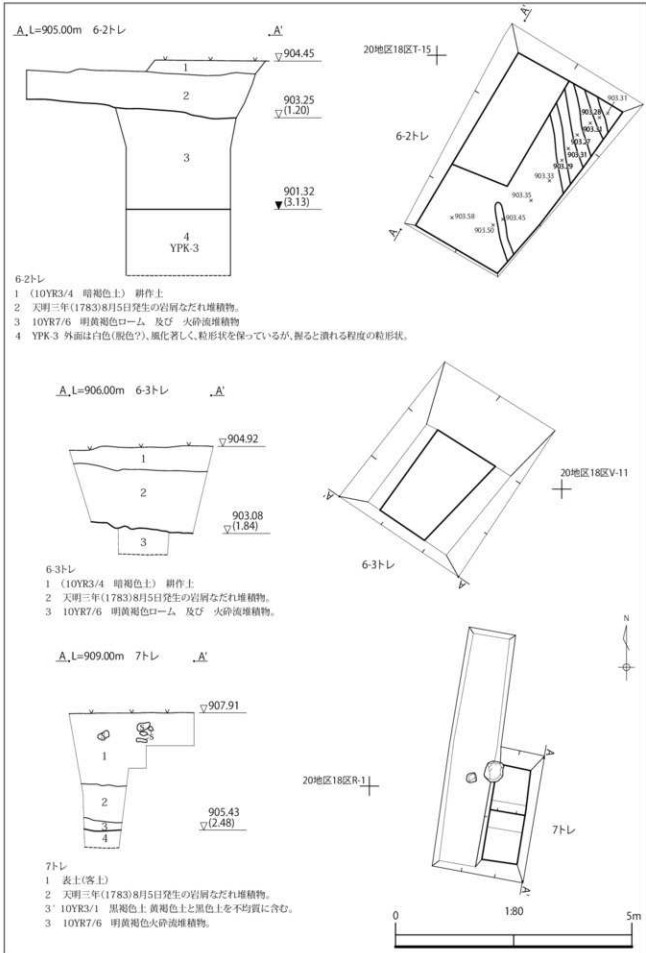
③ ローム漸移層

④ 10YR7/7 明黄褐色ローム 及び 火碎流堆積物

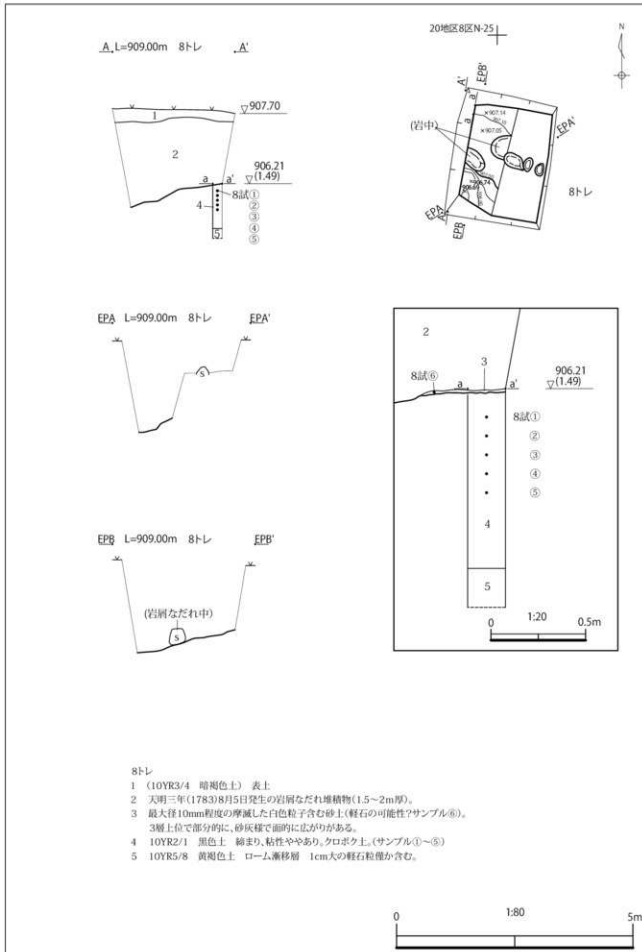
⑤ YPK-1 外面を赤銹マンガン凝集層で覆われ、風化は認められず、粒形状を保っている。

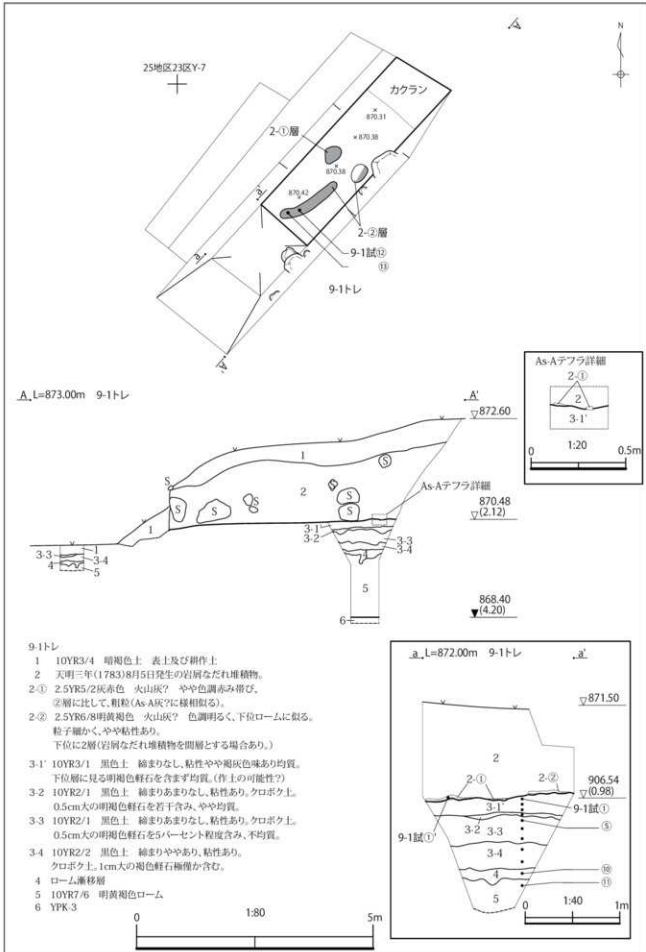


第27図 6-1トレンチ平面図・断面図

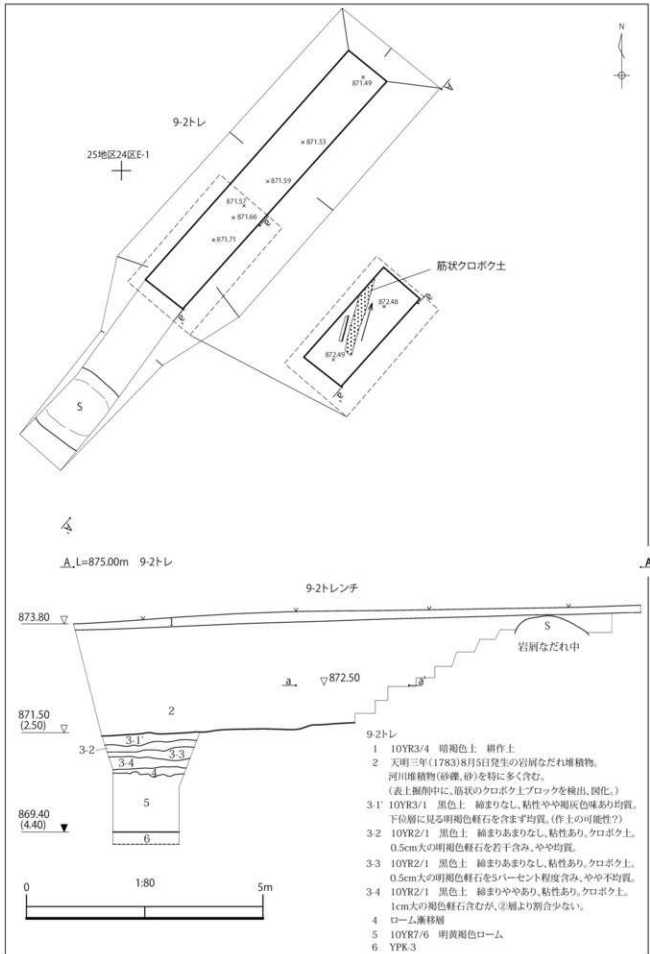


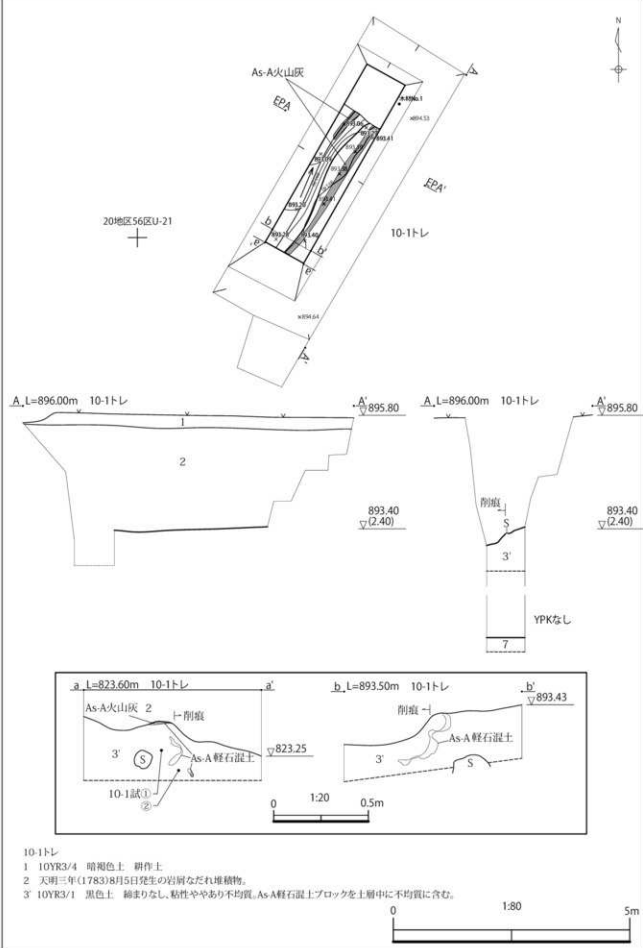
第28図 6-2～7トレンチ平面図・断面図



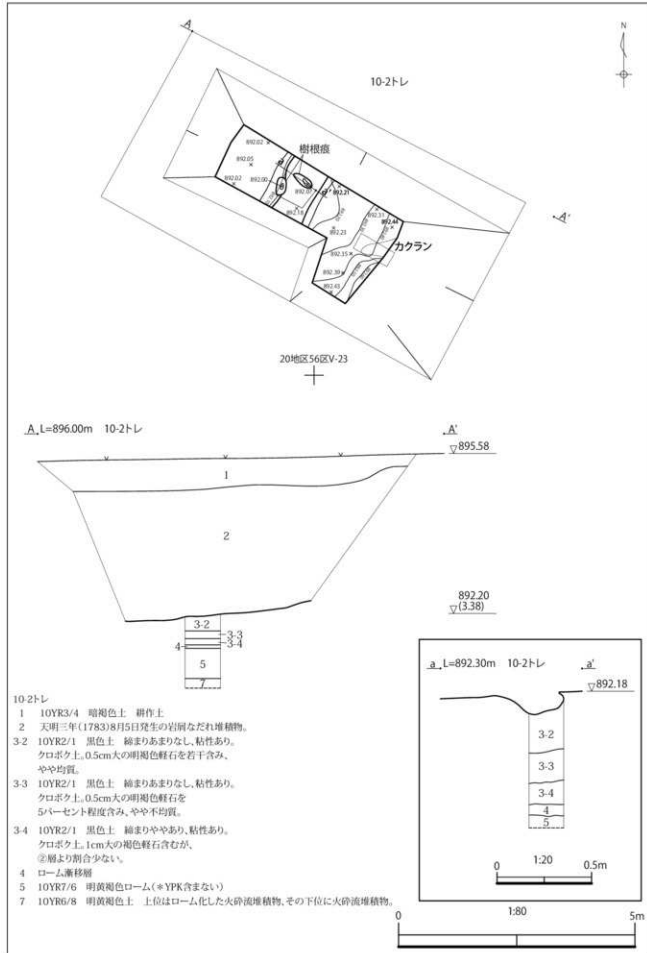


第30図 9-1トレンチ平面図・断面図

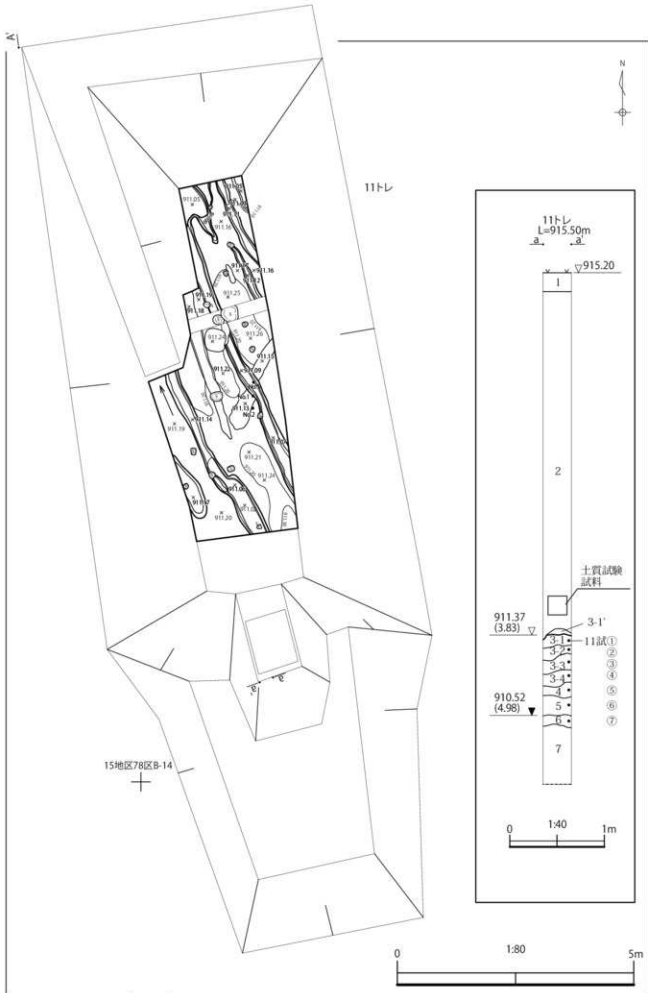




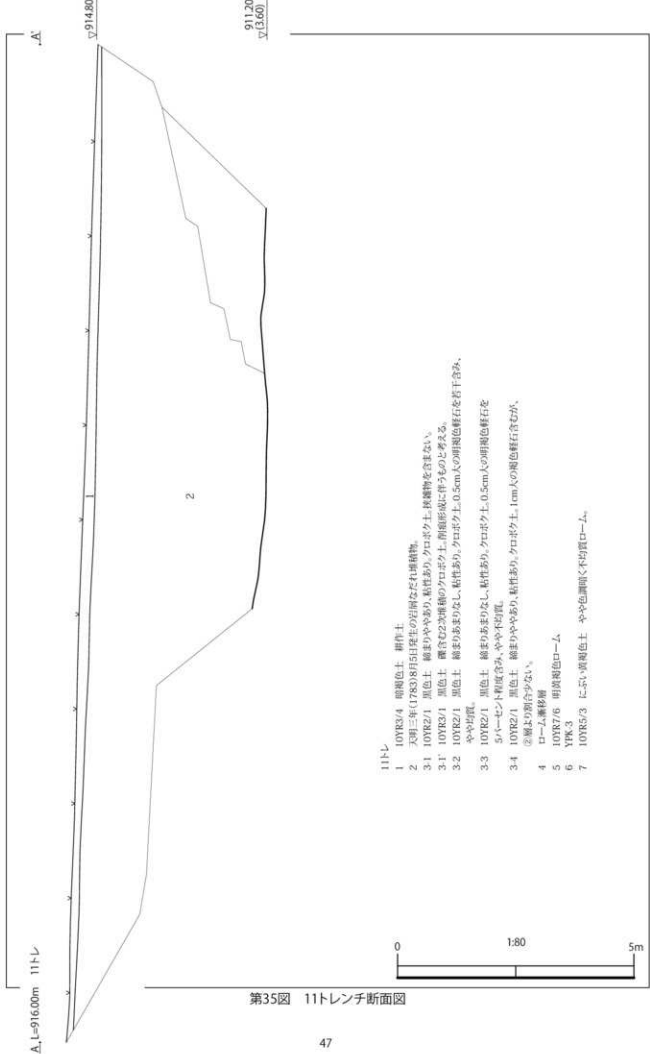
第32図 10-1トレ平面上図・断面図

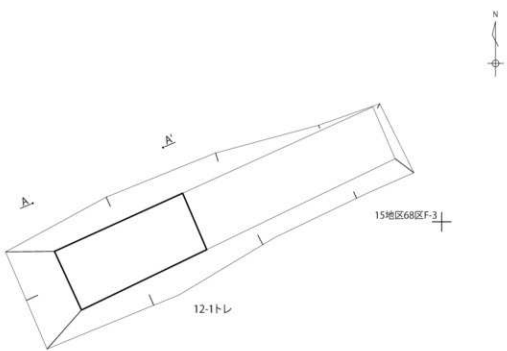


第33図 10-2トレチ平面図・断面図

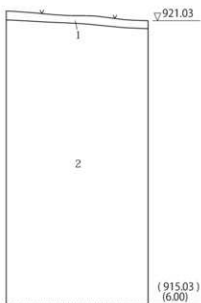


第34図 11トレーンチ平面図・断面図

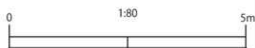




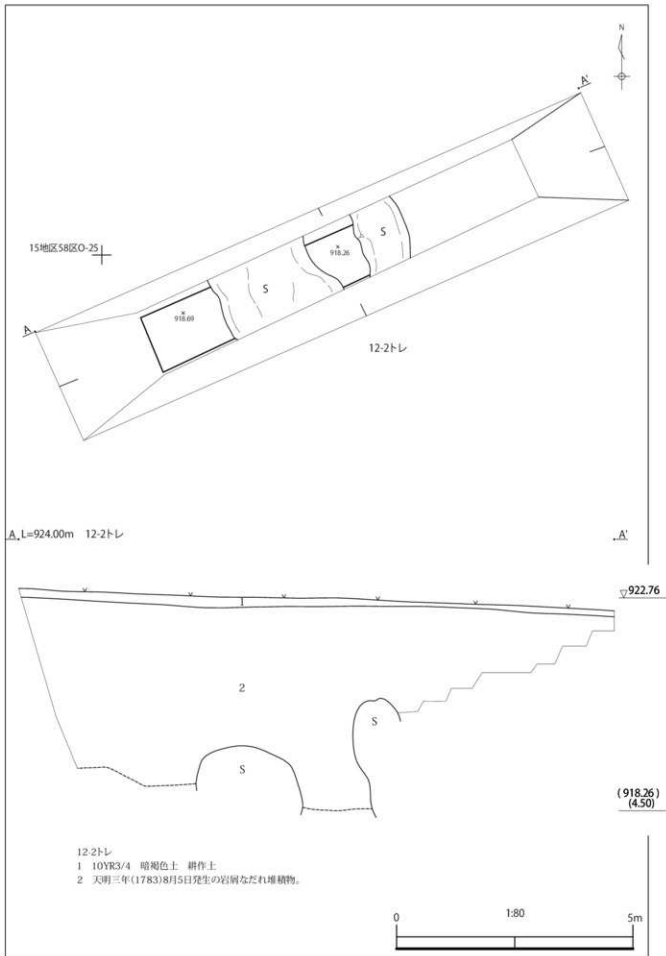
A L=922.00m 12-1トレ A'



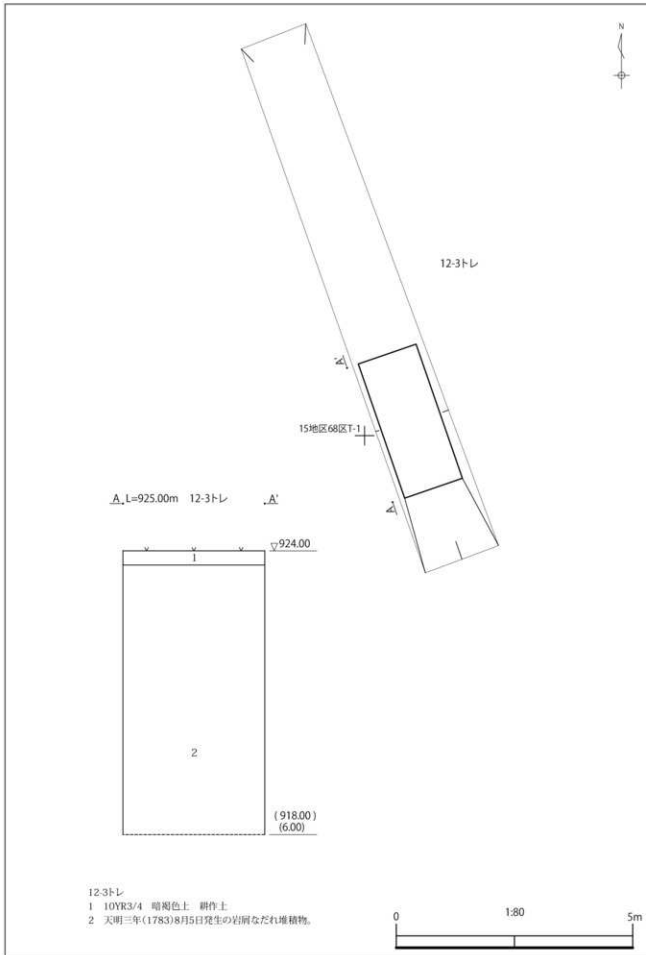
- 12-1トレ
 1 10YR3/4 暗褐色土 耕作土
 2 天明三年(1783)8月5日発生の岩崩なだれ堆積物。



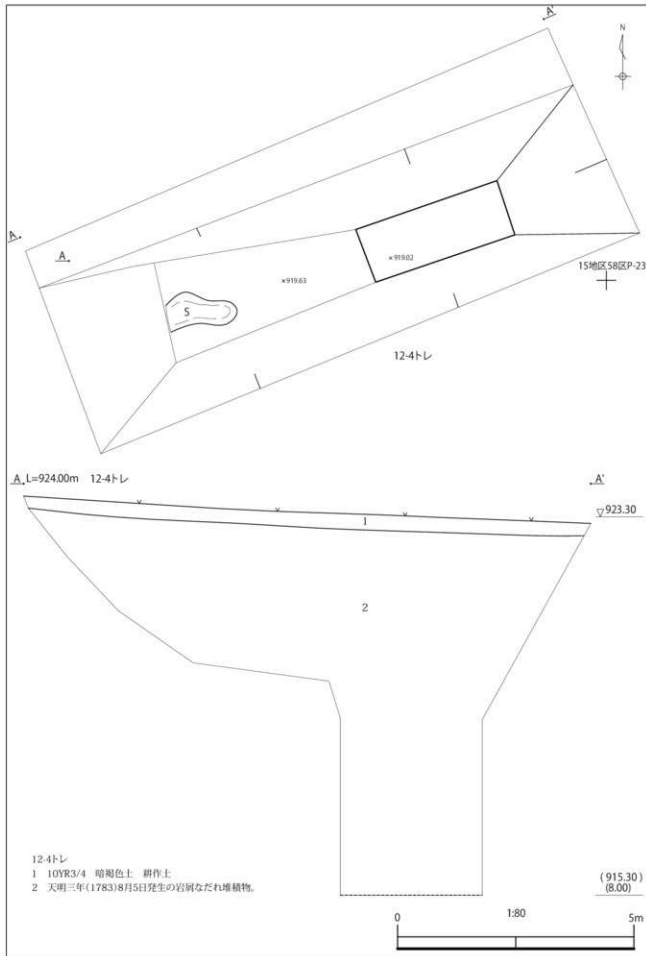
第36図 12-1トレ平断面図



第37図 12-2トレ平面図・断面図

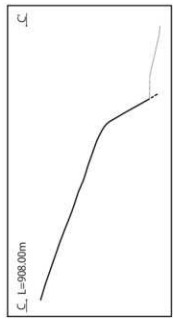


第38図 12-3トレ平面図・断面図

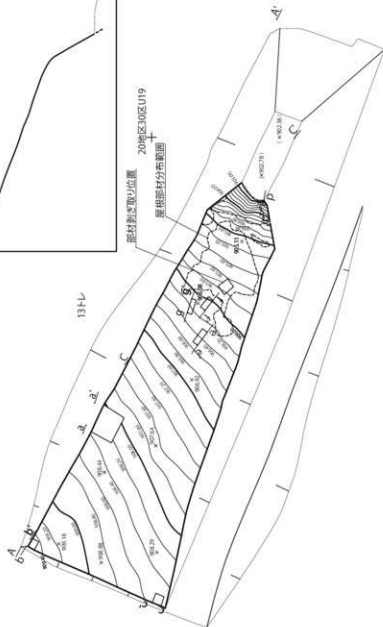


第39図 12-4トレンチ平面図・断面図

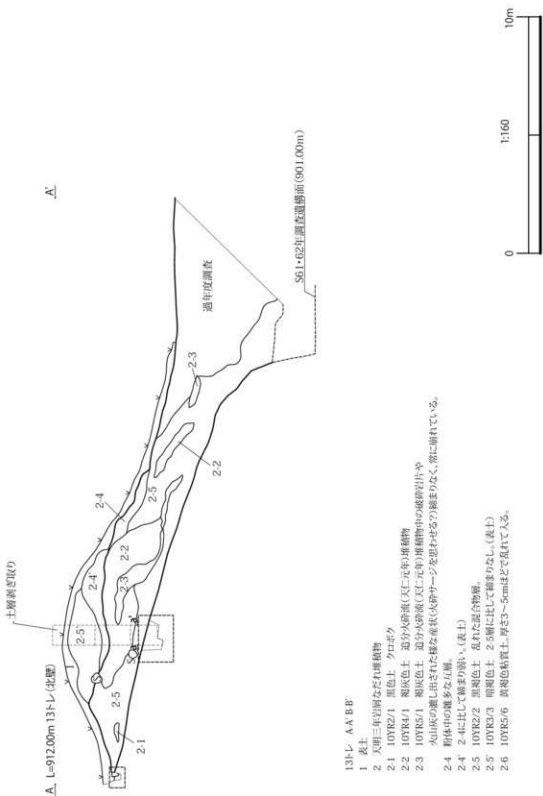
北



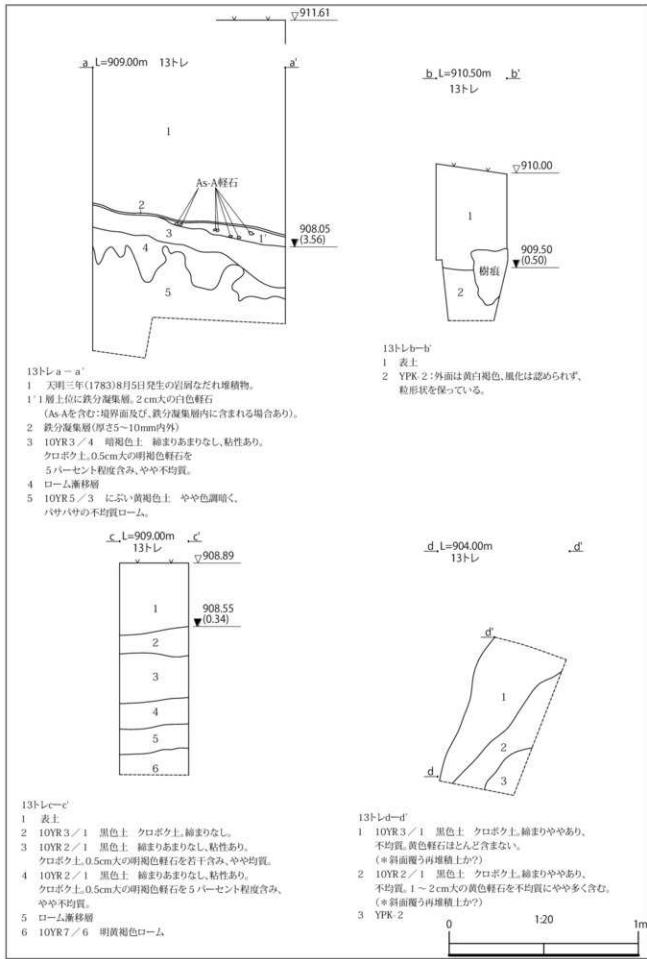
断面測量位置
20号区30号区U19
層相岩分布断面



第40図 13トレンチ平面図・断面図



第41図 13トレンチ(北壁)断面図



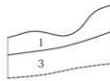
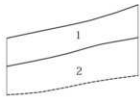
第42図 13トレ(a-d)断面図

e-L=907.00m
13トレ

e'

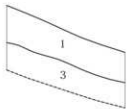
f-L=907.00m
13トレ

f'



g-L=907.00m
13トレ

g'

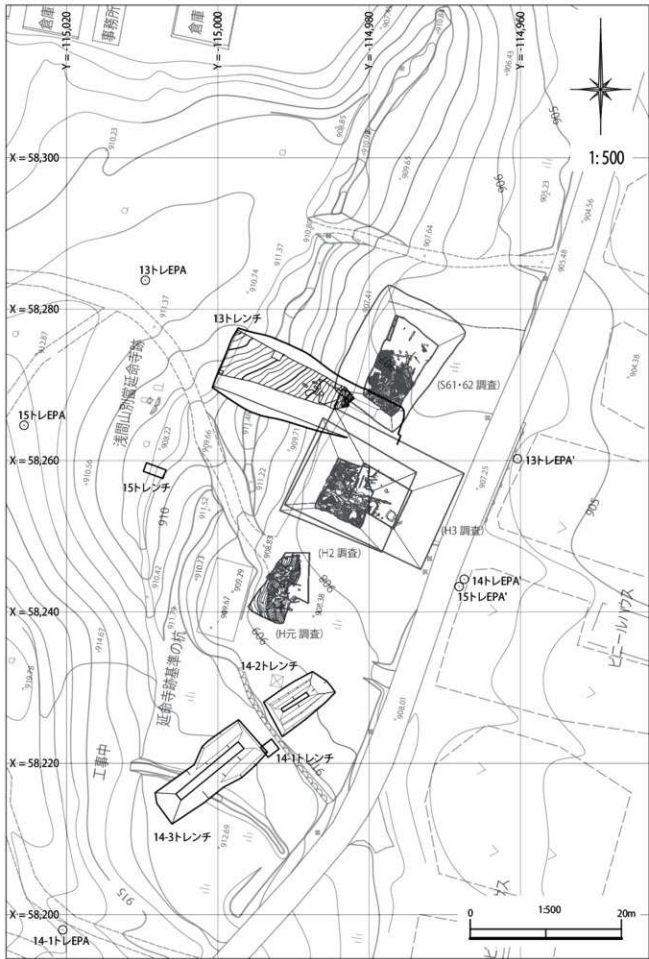


13トレ-e-e'~g-g'

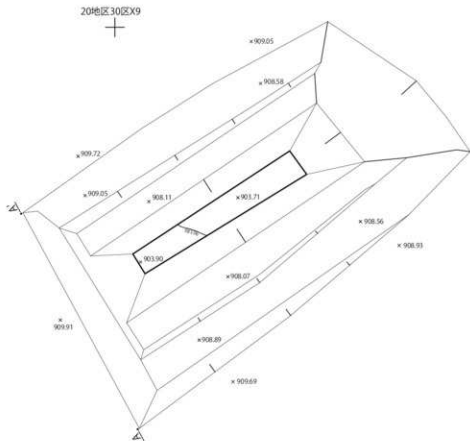
- 1 10YR2/1 黒色土 クロボク土。細まりややあり、不均質。
1 ~ 2 cm大の黄色軽石を不均質にやや多く含む。
- 2 YPK-2
- 3 10YR5/3 にぶい黄褐色土 やや色調暗く、ハサハサの不均質ローラー。



第43図 13トレーンチ(e~g)断面図

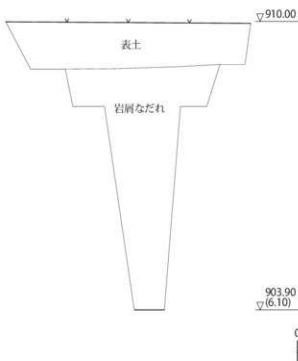


第44図 延命寺跡・過去調査重ね図

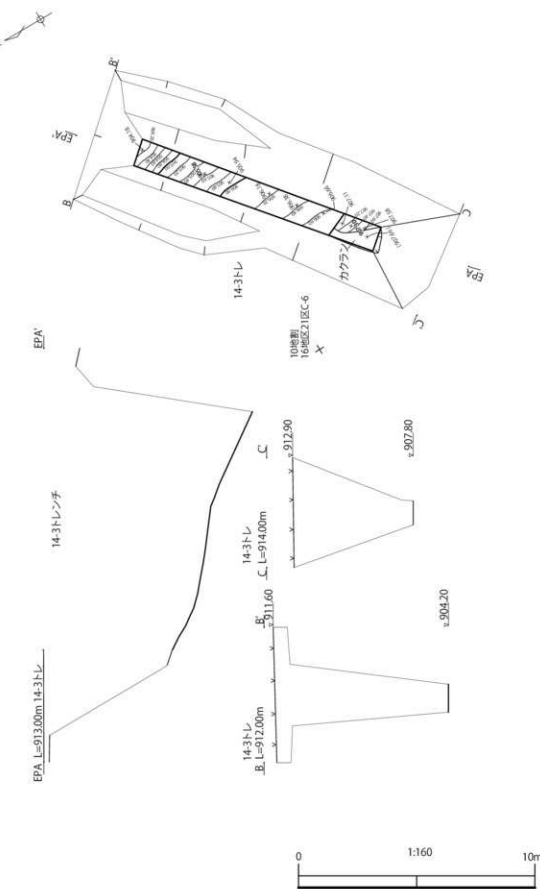


A A' L=911.00m 14-2トレ

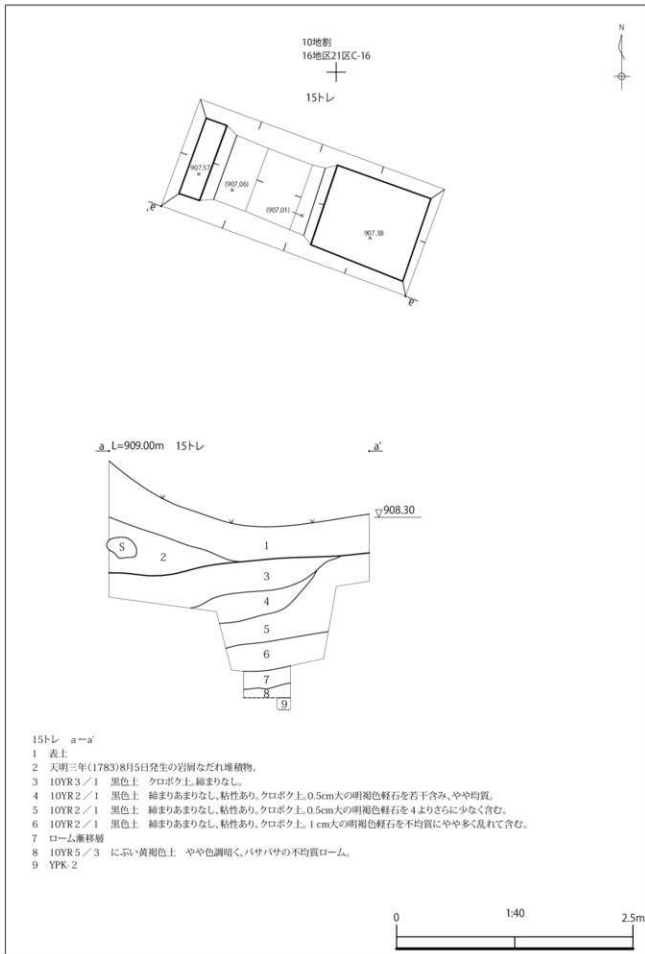
A'



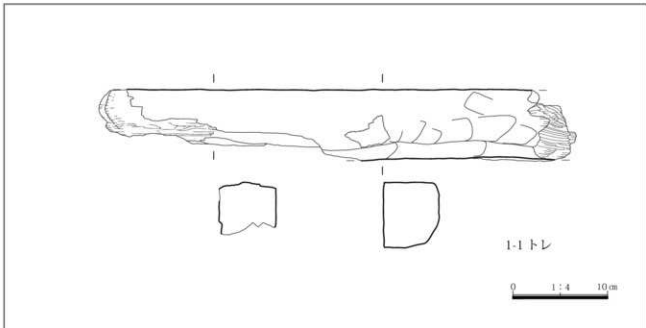
第45図 14-2トレーンチ平面図・断面図



第46図 14-3トレンチ平面図・断面図



第47図 15トレンチ平面図・断面図



第48図 遺物実測図

第2表 出土遺物観察表

	遺物番号	出土位置	種類	①胎土②焼成③色調	残存状況と部位	その他特徴	備考
1	R3-11 トレ 1	11 レンチ坑 1	土師器 瓦	①細砂粒を僅かに含む ②酸化③にぶい赤褐色	胴部	外面: 胴部横ヘラケズリ。 内面: 胴部横ヘナデ。	
2	R3-11 トレ 2	11 レンチ坑 2	土師器 瓦	①細砂粒を少量含む ②酸化③にぶい赤褐色	頭部～胴部上位	外面: 頭部横ナデ。胴部上位 横ヘラケズリ。 内面: 頭部～胴部上位横ナデ。	
3	R3-11 トレ 2	11 レンチ坑 3	土師器 瓦	①細砂粒を僅かに含む ②酸化③赤褐色	頭部	外面: 頭部横ナデ。 内面: 頭部横ナデ。	

第6章 自然科学分析報告

(1) 鎌原遺跡第1次調査における自然科学分析

株式会社 古環境研究センター

I. 自然科学分析の概要

鎌原遺跡において、天明3年（1783年）の浅間山噴火に伴う岩屑なだれ堆積物で埋没した旧表土層について自然科学分析を行った。分析内容は、テフラ（火山灰）分析、植物珪酸体分析、花粉分析、寄生虫卵分析である。試料採取箇所を写真図版1および分析結果図に示す。以下に、各分析項目ごとに試料の詳細、分析方法、分析結果および考察・所見を記載する。

II. テフラ分析

1. はじめに

テフラ（火山灰）の岩石学的諸特性（鉱物組成、火山ガラスの形態、火山ガラスと斜方輝石の屈折率など）を明らかにすることにより、指標テフラとの対比を試みた。なお、テフラの岩石学的諸特性や年代については新編火山灰アトラス（町田・新井, 2003）を参照した。

2. 試料

分析試料は、8トレンチの岩屑なだれ堆積物基底から採取されたNo1の1点である（写真図版1）。

3. 分析方法

試料を超音波洗浄機で分散し、 1ϕ (0.5mm)、 2ϕ (0.25mm)、 3ϕ (0.125mm)、 4ϕ (0.063mm) の篩を重ねて湿式篩分けを行った。 4ϕ 篩残渣についてテトラプロムエタン（比重：2.96）を用いて重液分離を行い、重鉱物と軽鉱物のフラクションに区分した。重鉱物は封入剤を用いてブレバラートを作成し、偏光顕微鏡下で斜方輝石（Opx）、単斜輝石（Cpx）、角閃石（Ho）、磁鐵鉱（Mg）、不明（Opq）等を同定・計数した。軽鉱物は簡易ブレバラートを作製し、軽鉱物組成と火山ガラスの形態分類を行った。火山ガラスの形態は、町田・新井（2003）の分類基準に従い、バブル型平板状（b1）、バブル型Y字状（b2）、軽石型繊維状（p1）、軽石型スポンジ状（p2）、急冷破碎型フレーク状（c1）、急冷破碎型塊状（c2）に分類した。火山ガラスと斜方輝石の屈折率は、 4ϕ 篩残渣について温度変化型屈折率測定装置（古澤地質製、MAIOT2000）を用いて測定した（横山ほか, 1986）。

4. 結果

テフラ分析結果を表1および図1に示し、写真図版2に試料の顕微鏡写真を示す。以下に試料の特徴を記載する。

試料は、にぶい黄橙色(10YR 7/2)の礫混じり粗砂である。粒度組成は 1ϕ 篩残渣が多く、重液分離では軽鉱物の割合が高い。軽鉱物では、火山ガラスは少ないが軽石型スポンジ状ガラス（p2）の割合が高く、軽石型繊維状ガラス（p1）、バブル型平板状ガラス（b1）やY字状ガラス（b2）、急冷破碎型フレーク状ガラス（c1）が含まれる。重鉱物では、斜方輝石（Opx）と単斜輝石（Cpx）の割合が高い。火山ガラスの屈折率は1.5056-1.5112（平均値1.5076）、斜方輝石（Opx）の屈折率は1.7060-1.7109（平均値1.7081）である。

5. 所見

テフラの岩石学的諸特性（鉱物組成、火山ガラスの形態、火山ガラスと斜方輝石の屈折率）、顕微鏡観察の所見、および土層の堆積状況などから、8トレンチの岩屑なだれ堆積物基底から採取された試料は、浅間Aテフラ(As-A, 1783年)に由来すると考えられる。

浅間Aテフラ(As-A)は、AD1783年(天明3年)に浅間火山から噴出した降下軽石(pfa)および火碎流堆積物(pfl)で、火山ガラスの屈折率は1.507-1.512、斜方輝石の屈折率(γ)は1.707-1.712である(町田・新井, 2003)。

文献

町田洋・新井房夫(2003)新編火山灰アトラス-日本列島とその周辺-, 東京大学出版会, 336p.

横山卓雄・檀原徹・山下透(1986)温度変化型屈折率測定装置による火山ガラスの屈折率測定. 第四紀研究, 25, p.21-30.

III. 植物珪酸体分析

1.はじめに

植物珪酸体は、植物の細胞内に珪酸(SiO₂)が蓄積したもので、植物が枯れたあともガラス質の微化石(プラント・オバール)となって土壤中に半永久的に残っている。植物珪酸体分析は、この微化石を遺跡土壤などから検出して同定・定量する方法であり、イネをはじめとするイネ科栽培植物の同定および古植生・古環境の推定などに応用されている(杉山, 2000, 2009)。

2. 試料

分析試料は、1-1トレンチ、1-2トレンチ、1-3トレンチ、1-4トレンチ、2-1トレンチ、3-1トレンチ、3-2トレンチ、4-1トレンチ、6-1トレンチ(平面)、6-1トレンチ(土層断面)、8トレンチの11地点について、岩屑なだれ堆積物直下の3層や①層を中心に採取された計26点である。試料採取箇所を分析結果図に示す。

3. 分析法

植物珪酸体の抽出と定量は、ガラスピーズ法(藤原, 1976)を用いて、次の手順で行った。

- 1) 試料を105°Cで24時間乾燥(絶乾)
- 2) 試料約1gに対し直径約40μmのガラスピーズを約0.02g添加(0.1mgの精度で秤量)
- 3) 電気炉灰化法(550°C・6時間)による脱有機物処理
- 4) 超音波水中照射(300W・42KHz・10分間)による分散
- 5) 沈底法による20μm以下の微粒子除去
- 6) 封入剤(オイキット)中に分散してプレパラート作成
- 7) 検鏡・計数

同定は、400倍の偏光顕微鏡下で、おもにイネ科植物の機動細胞に由来する植物珪酸体を対象として行った。計数は、ガラスピーズ個数が400以上になるまで行った。これはほぼプレパラート1枚分の精査に相当する。試料1gあたりのガラスピーズ個数に、計数された植物珪酸体とガラスピーズ個数の比率をかけて、試料1g中の植物珪酸体個数を求めた。

また、おもな分類群についてはこの値に試料の仮比重(1.0と仮定)と各植物の換算係数(機動細胞珪酸体1個あたりの植物体乾重)をかけて、単位面積で層厚1cmあたりの植物体生産量を算出した。これにより、各植物の繁茂状況や植物間の占有割合などを具体的にとらえることができる(杉山, 2000)。タケア科につ

いては、植物体生産量の推定値から各分類群の比率を求めた。

4. 分析結果

(1) 分類群

検出された植物珪酸体の分類群は以下のとおりである。これらの分類群について定量を行い、その結果を表2および図2に示した。主要な分類群について顕微鏡写真を示す(写真図版3-1, 3-2)。

[イネ科]

イネ、イネ(穂の表皮細胞由来)、ムギ類(穂の表皮細胞)、ヨシ属、シバ属型、ヒエ属型、キビ属型、ススキ属型(おもにススキ属)、ウシクサ族A(チガヤ属など)、ウシクサ族B(大型)、Aタイプ(くさび型)

[イネ科・タケア科]

チマキザサ節型(ササ属チマキザサ節・チシマザサ節など)、ミヤコザサ節型(ササ属ミヤコザサ節など)、未分類等

[イネ科・その他]

表皮毛起源、棒状珪酸体(おもに結合組織細胞由来)、茎部起源、未分類等

[樹木]

多角形板状(ブナ科コナラ属など)、その他

5. 考察

(1) イネ科栽培植物の検討

植物珪酸体分析で同定される分類群のうち栽培植物が含まれるものには、イネをはじめ、ムギ類、ヒエ属型(ヒエが含まれる)、エノコログサ属型(アワが含まれる)、キビ属型(キビが含まれる)、ジュズダマ属型(ハトムギが含まれる)、オヒシバ属型(シコクビエが含まれる)、モロコシ属型、トウモロコシ属型などがある。このうち、今回の試料からはイネ、ムギ類、ヒエ属型が検出された。以下に各分類群ごとに栽培の可能性について考察する。

1) イネ

イネは、1-1トレーンチの3層(試料1)、1-2トレーンチの3層(試料1)、1-3トレーンチの3層(試料1)、1-4トレーンチの3層(試料1)、2-1トレーンチの3層(試料4、4'、5)、6-1トレーンチ(平面)の①層(試料10)、6-1トレーンチ(土層断面)の①層(試料1)と②層(試料4)、8トレーンチの3層(試料1、2)の8地点(12試料)から検出された。

イネの密度は、1-2トレーンチの3層(試料1)と2-1トレーンチの3層(試料4)で2,700個/g、1-3トレーンチの3層(試料1)で2,000個/gであり、その他の試料では500～1,000個/g程度と低い値である。植物珪酸体分析で稲作跡の検証や探査を行う場合の判断基準はイネの密度が5,000個/g以上(状況により3,000個/gとする場合もある)であるが、陸稲栽培の場合は運作障害や地力の低下を避けるために輪作を行ったり休耕期間をおく必要があることから、イネの密度は水田よりもかなり低く1,000～2,000個/g程度である場合が多い(杉山, 2000)。また、3層や①層は直上を2層(岩屑なだれ堆積物)で覆われていることから、上層から後代のものが混入したことは考えにくい。

以上のことから、3層や①層の時期に、各調査地点もしくはその近辺で稲作が行われていた可能性が考えられる。

2) ムギ類

ムギ類(穂の表皮細胞)は、1-1トレーンチの3層(試料1)と2-1トレーンチの3層(試料4)の2地点(2試料)から検出された。密度は500個/gと低い値であるが、穂(穎殼)が栽培地に残される確率は低いこ

とから、少量が検出された場合でもかなり過大に評価する必要がある。したがって、3層の時期に各調査地点もしくはその近辺でムギ類が栽培されていた可能性が考えられる。

ムギ類にはコムギ属 *Triticum* とオオムギ属 *Hordeum* が含まれており、ここで検出されたものは植物珪酸体の形態からコムギ属の可能性が考えられるが、ムギ類については植物標本の検討が不十分であることから、ここではムギ類 *Hordeum-Triticum* の表記にとどめた。

3) ヒエ属型

ヒエ属型は、3層や①層のすべての試料から検出された。密度は最も高い1-1 トレンチの3層（試料1）で1,500個/g、その他の試料では500～1,000個/g程度と低い値であるが、ヒエ属は葉身中における植物珪酸体の密度が低いことから、植物体量としては過大に評価する必要がある。ヒエ属型には栽培種のヒエの他にイヌヒエなどの野生種が含まれるが、両者の差異は植物分類上でも不明確であり、現時点では植物珪酸体の形態からこれらを識別することは困難である（杉山ほか、1988）。なお、今回の分析では多くの試料でイネが検出され、部分的にムギ類（穂の表皮細胞）も認められることから、ヒエ属型についても栽培種に由来する可能性が考えられる。

4) その他

イネ科栽培植物の中には検討が不十分なものもあるため、その他の分類群の中にも栽培種に由来するものが含まれている可能性が考えられる。また、キビ族型にはエノコログサ属に近似したものも含まれている。これらの分類群の給源植物の究明については今後の課題としたい。なお、植物珪酸体分析で同定される分類群は主にイネ科植物に限定されるため、根菜類などの畑作物は分析の対象外となっている。

（2）植物珪酸体分析から推定される植生と環境

上記以外の分類群の検出状況と、そこから推定される植生・環境について検討を行った。2層（岩屑などれ堆積物）下位の3層や①層では、ほとんどの試料でススキ属型、ウシクサ族A（チガヤ属など）が多く検出され、ヨシ属、キビ族型、ウシクサ族B、チマキザ節型、ミヤコザ節型、および樹木起源の多角形板状（ブナ科コナラ属等）なども認められた。また、1-1～1-4 トレンチや2-1 トレンチではシバ属型も検出された。おもな分類群の推定生産量によると、ほとんどの試料でススキ属型が優勢であり、部分的にチマキザ節型も多くなっている。

以上のことから、岩屑などれ堆積物（1783年）下位の3層や①層の堆積当時は、ススキ属やチガヤ属をはじめ、ササ属（チマキザ節など）、シバ属、キビ族なども生育する日当たりの良い草原的な環境であり、周辺にはヨシ属が生育するような潤湿なところも存在していたと考えられる。また、遺跡周辺にはコナラ属などの樹木（落葉樹）が分布していたと推定される。ササ属などの灌木については、落葉樹林の林床などに生育していた可能性も考えられる。

文献

- 杉山真二・藤原宏志（1986）機動細胞珪酸体の形態によるタケ亜科植物の同定 - 古環境推定の基礎資料として - . 考古学と自然科学, 19, p.69-84.
- 杉山真二・松田隆二・藤原宏志（1988）機動細胞珪酸体の形態によるキビ族植物の同定とその応用 - 古代農耕追究のための基礎資料として - . 考古学と自然科学, 20, p.81-92.
- 杉山真二（2000）植物珪酸体（プラント・オパール）. 考古学と植物学. 同成社, p.189-213.
- 杉山真二（2009）植物珪酸体と古生態. 人と植物の関わりあい④. 大地と森の中で - 縄文時代の古生態系 - 縄文の考古学Ⅲ. 小杉康ほか編. 同成社, p.105-114.
- 藤原宏志（1976）プラント・オパール分析法の基礎的研究 (1)- 数種イネ科植物の珪酸体標本と定量分析法 -

藤原宏志・杉山真二（1984）プラント・オパール分析法の基礎的研究 (5)- プラント・オパール分析による水田址の探査-. 考古学と自然科学、17, p.73-85.

IV. 花粉分析・寄生虫卵分析

1. はじめに

花粉分析は、一般に低湿地の堆積物を対象とした比較的広域な植生・環境の復原に応用されており、遺跡調査においては遺構内の堆積物などを対象とした局地的な植生の推定も試みられている。花粉などの有機質遺体は、水成堆積物では保存状況が良好であるが、乾燥的な環境下の堆積物では分解されて残存していない場合もある。

人や動物などに寄生する寄生虫の卵殻は、花粉と同様の条件下で堆積物中に残存しており、人の居住域では寄生虫卵による汚染度が高くなる。寄生虫卵分析を用いて、トイレ遺構の確認や人糞施肥の有無の確認が可能であり、寄生虫卵の種類から、摂取された食物の種類や、そこに生息していた動物種を推定することも可能である（金原、2004）。

2. 試料

分析試料は、1-1 トレンチ、1-2 トレンチ、1-3 トレンチ、1-4 トレンチ、2-1 トレンチ、3-1 トレンチ、3-2 トレンチ、4-1 トレンチ、6-1 トレンチ（平面）、6-1 トレンチ（土層断面）、8 トレンチの 11 地点について、岩屑などなれ堆積物直下の 3 層や①層を中心に採取された計 15 点である。試料採取箇所を分析結果図に示す。

3. 方法

花粉および寄生虫卵の分離抽出は、中村（1967）の方法をもとに、以下の手順で行った。

- 1) 試料から 1 cm³ を秤量
- 2) 0.5% リン酸三ナトリウム（12 水）溶液を加えて 15 分間湯煎
- 3) 水洗処理の後、0.5mm の篩で礫などの大きな粒子を取り除き、沈澱法で砂粒を除去
- 4) 25% フッ化水素酸溶液を加えて 30 分放置
- 5) 水洗処理の後、氷酢酸によって脱水し、アセトリシス処理（無氷酢酸 9 : 濃硫酸 1 のエルドマン氏液を加え 1 分間湯煎）を施す
- 6) 再び氷酢酸を加えて水洗処理
- 7) 沈澱に石炭酸フクシンを加えて染色し、グリセリンゼリーで封入してプレパラート作成
- 8) 檢鏡・計数

検鏡は、生物顕微鏡によって 300 ~ 1000 倍で行った。花粉の同定は、島倉（1973）および中村（1980）をアトラスとして、所有の現生標本との対比で行った。結果は同定レベルによって、科、亜科、属、亜属、節および種の階級で分類し、複数の分類群にまたがるものはハイフン（-）で結んで示した。イネ属については、中村（1974, 1977）を参考にして、現生標本の表面模様・大きさ・孔・表層断面の特徴と対比して同定しているが、個体変化や類似種もあることからイネ属型とした。

4. 結果

（1）分類群

検出された分類群は、樹木花粉 27、樹木花粉と草本花粉を含むもの 5、草本花粉 22、シダ植物胞子 2 形態の計 56 分類群である。また、寄生虫卵 2 分類群が検出された。分析結果を表 3 に示し、花粉数が 100

個以上計数された試料については花粉総数を基数とする花粉ダイアグラムを示した(図3)。主要な分類群について顕微鏡写真を示す(写真図版4)。以下に出現した分類群を記載する。

[樹木花粉]

モミ属、トウヒ属、ツガ属、マツ属複維管束亞属、スギ、イチイ科・イヌガヤ科・ヒノキ科、ヤナギ属、サワグルミ、ハンノキ属、カバノキ属、ハシバミ属、クマシデ属・アサダ、クリ、シイ属、ブナ属、コナラ属コナラ亞属、コナラ属アカガシ亞属、ニレ属・ケヤキ、エノキ属・ムクノキ、ウルシ属、モチノキ属、ニシキギ科、カエデ属、トチノキ、シナノキ属、モクセイ科、トネリコ属

[樹木花粉と草本花粉を含むもの]

クワ科・イラクサ科、マメ科、ウコギ科、ゴマノハグサ科、ニワトコ属・ガマズミ属

[草本花粉]

イネ科、イネ属型、コムギ型、カヤツリグサ科、ネギ属、タデ属、ソバ属、アカザ科・ヒユ科、ナデシコ科、キンポウゲ属、カラマツソウ属、アブラナ科、ツリフネソウ属、セリ亞科、ミツガシワ、シソ科、オオバコ属、オミナエシ科、ツリガネニンジン属・ホタルブクロ属・ヒナギキョウ属、タンボボ亞科、キク亞科、ヨモギ属

[シダ植物胞子]

単条溝胞子、三条溝胞子

[寄生虫卵]

回虫卵、マンソン裂頭条虫卵

(2) 花粉群集の特徴

多くの試料で草本花粉の占める割合が樹木花粉よりも比較的高く、草本花粉ではイネ科、ヨモギ属が優勢で、タンボボ亞科、キク亞科、カラマツソウ属などが伴われる。栽培植物関連では、イネ属型が1-1トレンド(試料1)と2-1トレンド(試料1、4)の2地点(3試料)、ソバ属が1-1トレンド(試料1)、2-1トレンド(試料4)、8トレンド(試料1)の3地点(3試料)、コムギ型が2-1トレンド(試料4)の1地点(1試料)、ネギ属が2-1トレンド(試料4)と6-1トレンド(断面:試料2)の2地点(2試料)、アブラナ科が1-1トレンド(試料1)など5地点(6試料)で検出されたが、いずれも少量である。なお、ソバ属やアブラナ科は虫媒花であり、風媒花と比較して現地性が高く花粉の生産量も少ないと想定されるが、他の分類群と比較して過大に評価する必要がある。

樹木花粉では、クリ、コナラ属コナラ亞属が優勢で、マツ属複維管束亞属、ハンノキ属、トチノキ、ニレ属・ケヤキなどが伴われる。樹木・草本花粉では、マメ科が3-2トレンド(試料3)で特徴的に検出され、その他の地点でも部分的に少量検出された。マメ科の花粉は、やや小型で網目は繊細、ゲンゲ属を一回り大きくした形態であり、ササゲ属、アズキ属、ソラマメなどの栽培植物や木本とは異なり、クズ属のような草本の可能性が考えられる。

(3) 寄生虫卵の検出状況

2-1トレンド(試料4)で回虫卵、6-1トレンド(断面:試料2)でマンソン裂頭条虫卵が検出されたが、いずれも少量である。

5. 考察

(1) 花粉分析

岩屑なだれ堆積物(1783年)下位の3層や①層の堆積当時は、イネ科(スキ属など)やヨモギ属をはじめ、タンボボ亞科、キク亞科、マメ科(草本)なども生育する日当たりの良い人里周辺の環境であったと考えられる。

栽培植物関連では、部分的に少量ながらイネ属型、ソバ属、コムギ型、ネギ属、アブラナ科が検出され、これらを栽培する農耕（畑作）が行われていた可能性が考えられる。ネギ属にはギョウジャニンニク、ノビル、ニラなどが含まれる。アブラナ科には、アブラナ（ナタネ）をはじめ、ダイコン、ハクサイ、カブなどが含まれている。

また、遺跡周辺にはクリ林やナラ林（コナラ属コナラ亜属）が多く分布していたと考えられ、部分的にニヨウマツ（マツ属複雑管束亜属）などもみられ、谷部や沢沿いの適潤地などにはトチノキやハンノキ属も生育していたと推定される。クリやトチノキの果実は優良な食物として利用され、ナラ類の種実（ドングリ）も食用になる。

（2）寄生虫卵分析

2-1トレーナーでは回虫卵、6-1トレーナーではマンソン裂頭条虫卵が検出された。これらの寄生虫卵については人糞施肥による影響が示唆されるが、いずれも低密度で検出地点も限られることから、集落周辺などの人為環境における生活汚染などに由来する可能性も考えられる。

回虫は、ヒト特有の寄生虫であり、中間宿主を必要とせず糞便とともに排泄された寄生虫卵が付着した野菜・野草の摂取や水系により経口感染する。マンソン裂頭条虫は、終宿主はイヌ科、ネコ科の動物で、ヒトは第2中間宿主や待機宿主となる。ヒトへの感染は、第1中間宿主のケンミジンコのいる生水の飲用や、第2中間宿主（主にニワトリ、カモ、ブタ、イノシシ、カエル、ヘビなど）および終宿主の生食に近い状態（加熱不充分）での摂取などによる。

文献

- 金原正明（1993）花粉分析法による古環境復原、新版古代の日本第10巻古代資料研究の方法、角川書店、p.248-262.
- 金原正明（1999）寄生虫、考古学と動物学、考古学と自然科学、2、同成社、p.151-158.
- 金原正明（2004）寄生虫卵分析、環境考古学ハンドブック、朝倉書店、p.419-429.
- 島倉巳三郎（1973）日本植物の花粉形態、大阪市立自然科学博物館収蔵目録第5集、60p.
- 中村純（1967）花粉分析、古今書院、p.82-110.
- 中村純（1974）イネ科花粉について、とくにイネ（*Oryza sativa*）を中心として、第四紀研究、13、p.187-193.
- 中村純（1977）稲作とイネ花粉、考古学と自然科学、第10号、p.21-30.
- 中村純（1980）日本産花粉の標識、大阪自然史博物館収蔵目録第13集、91p.
- Peter J. Warnock and Karl J. Reinhard（1992）Methods for Extracting Pollen and Parasite Eggs from Latrine Soils. Journal of Archaeological Science, 19, p.231-245.

V. 自然科学分析のまとめ

テフラ分析の結果、8トレーナーの岩屑なだれ堆積物基底で採取された試料は、浅間A軽石（As-A, 1783年）に由来することが確認された。このことから、少なくとも同地点では当時の地表面が削平や擾乱を受けずに保存されていると考えられる。

植物珪酸体分析と花粉分析の結果から、岩屑なだれ堆積物下位の3層や①層では、比較的広い範囲でイネやヒエ属を栽培する農耕（畑作）が行われていたと考えられ、部分的にムギ類（コムギ属）、ソバ属、ネギ属、アブラナ科などが栽培されていた可能性も認められた。

3層や①層の堆積当時は、イネ科（ススキ属やチガヤ属など）やヨモギ属をはじめ、タンボボ亜科、キク亜科、マメ科（草本）、ササ属（おもにチマキザサ節）なども生育する日当たりの良い人里周辺の環境であったと考えられ、周辺にはヨシ属が生育するような湿潤なところも存在していたと推定される。

また、遺跡周辺にはクリ林やナラ林（コナラ属コナラ亜属）が多く分布していたと考えられ、部分的にニヨウマツ（マツ属複雑管束亞属）などもみられ、谷部や沢沿いの適潤地などにはトチノキやハンノキ属も生育していたと推定される。ササ属などの笹類については、落葉樹林の林床などに生育していた可能性も考えられる。

寄生虫卵分析では、回虫卵やマンソン裂頭条虫卵が検出された。これらの寄生虫卵については人糞施肥による影響が示唆されるが、いずれも低密度で検出地点も限られることから、集落周辺などの人為環境における生活汚染などに由来する可能性も考えられる。

表1 錦原遺跡のテフラ分析結果

分類群 No.	遺構 8 Tr	層準 2層基底	處理重量 1.89	砂粒分の粒度組成（重量比）				試料組成（重量）			重金属性				重金物 合計 (0pg)
				1φ	2φ	3φ	4φ	軽鉱物	重鉱物	斜方輝石 (Opx)	单斜輝石 (Cpx)	角閃石 (Hs)	磁鐵矿 (Mg)	岩片 (Fr)	
1				0.55	0.22	0.31	0.24	0.19	0.04						19
火山ガラス															
				バブル（溶）型	軽石型	スコボン ジオブ	急冷破砕型	ガラス	合計						
				平板状 (b1)	V字状 (b2)	繊維状 (p1)	フレーク 状(c1)	塊状 (p2)							
1	4	127	88	5	2	3	20	1	-	31	250	120	81	-	30
															19
															250

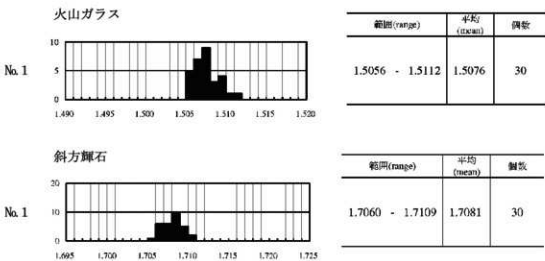


図 1 鎌原遺跡の屈折率測定結果

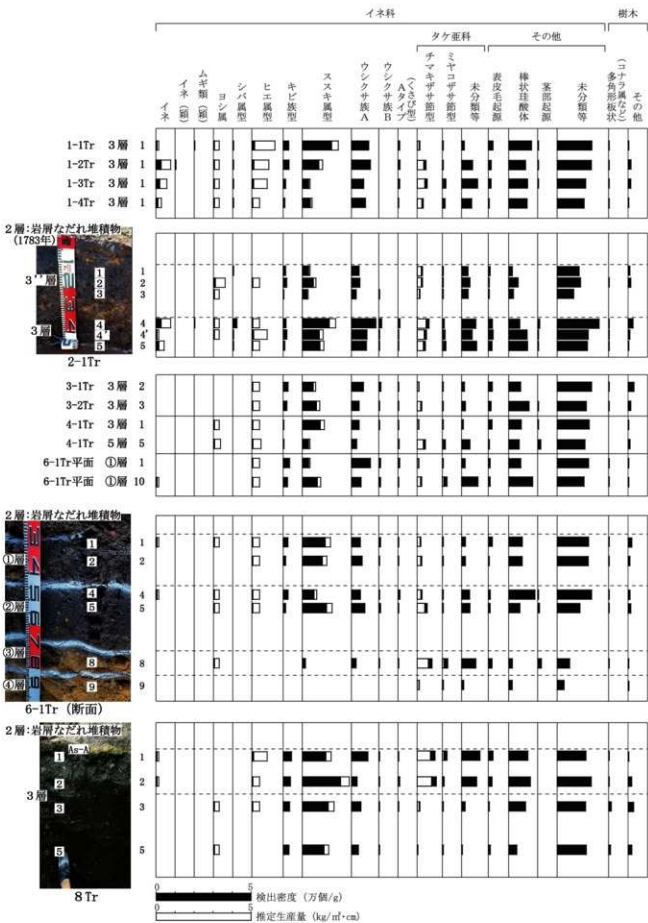


図2 鎌原遺跡における植物珪酸体分析結果

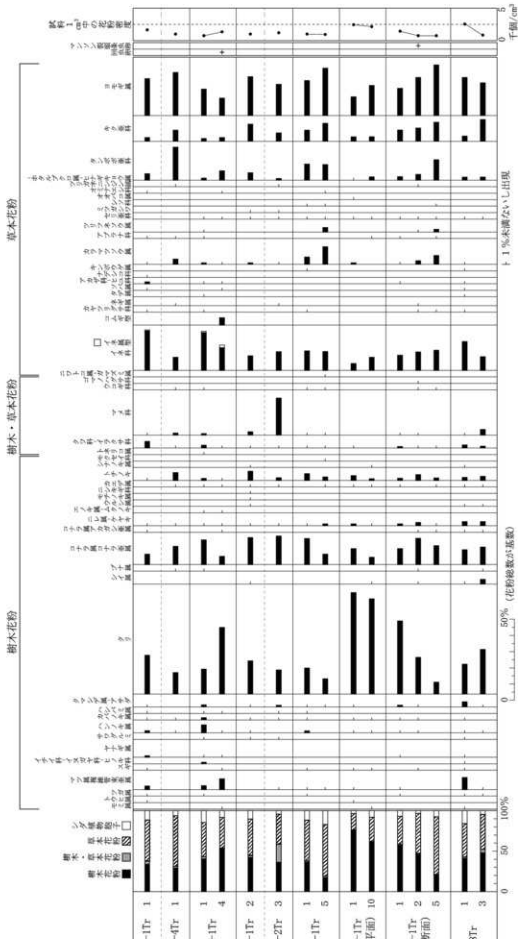
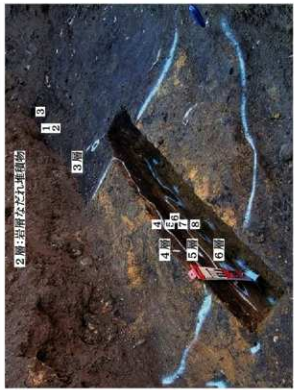
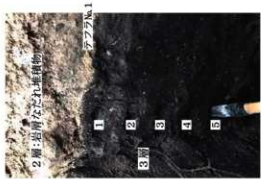


図3 鎌原遺跡における花粉ダイアグラム



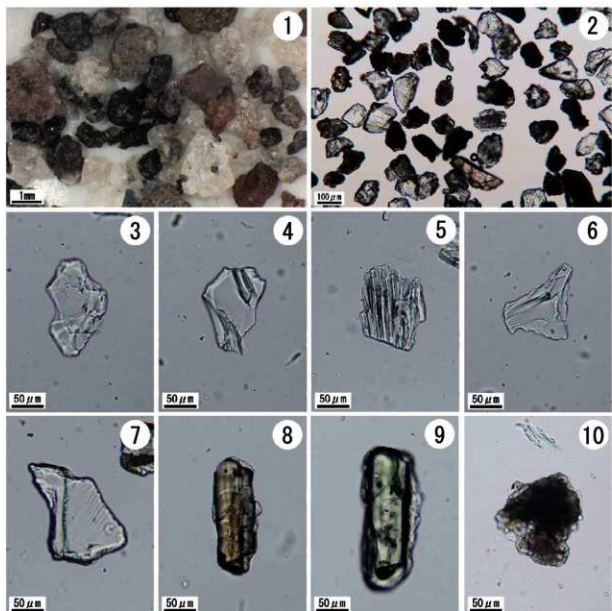
4-1 レンチ



8 レンチ

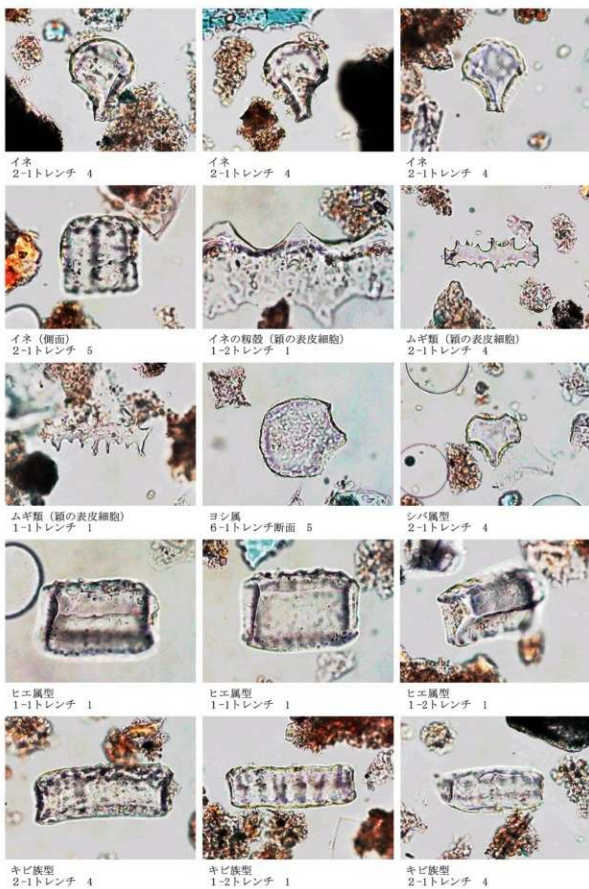


写真図版 1 姥恋村鎌原遺跡における試料採取箇所



写真図版2 テフラ試料とテフラ粒子の顕微鏡写真

1. 1φ 筒残渣
2. 4φ 軽鉱物
3. バブル型平板状ガラス
4. バブル型Y字状ガラス
5. 輻石型繊維状ガラス
6. 輻石型スponジ状ガラス
7. 急冷破碎型フレーク状ガラス
8. 斜方輝石
9. 単斜輝石
10. 軽鉱物中の不明粒子



50 μ m

写真図版 3-1 鎌原遺跡の植物珪酸体（プラント・オパール）



— 50 μ m —

写真図版 3-2 鎌原遺跡の植物珪酸体（プランツ・オパール）



写真図版4 鎌原遺跡の花粉

I. 自然科学分析の概要

鎌原遺跡第2次調査では、天明3年（1783年）の浅間山噴火に伴う岩屑なだれ堆積物の下位層について自然科学分析を行った。分析内容は、テフラ（火山灰）分析、植物珪酸体分析、花粉分析、寄生虫卵分析である。試料採取箇所を写真図版1に示す。以下に、各分析項目ごとに試料の詳細、分析方法、分析結果および考察・所見を記載する。

II. テフラ分析

1. はじめに

テフラ（火山灰）の岩石学的諸特性（鉱物組成、火山ガラスの形態、火山ガラスと斜方輝石の屈折率など）を明らかにすることにより、指標テフラとの対比を試みた。なお、テフラの岩石学的諸特性や年代については新編火山灰アトラス（町田・新井, 2003）を参照した。

2. 試料

分析試料は、9-1 トレンチ北壁において岩屑なだれ堆積物基底部（3-1 層上面）から採取されたテフラNo 1とテフラNo 2の2点である（写真図版1）。

3. 分析方法

試料を超音波洗浄機で分散し、 1ϕ (0.5mm)、 2ϕ (0.25mm)、 3ϕ (0.125mm)、 4ϕ (0.063mm) の篩を重ねて湿式篩分けを行った。 4ϕ 篩残渣についてテトラブロムエタン（比重：2.96）を用いて重液分離を行い、軽鉱物と重鉱物のフラクションに区分した。封入剤を用いてプレパラートを作成し、軽鉱物については石英、長石、火山ガラスなどを同定・計数した。火山ガラスの形態は、町田・新井（2003）の分類基準に従い、バブル型平板状（b1）、バブル型Y字状（b2）、軽石型纖維状（p1）、軽石型スponジ状（p2）、急冷破碎型フレーク状（c1）、急冷破碎型塊状（c2）に分類した。重鉱物については偏光顕微鏡下で斜方輝石（Opx）、單斜輝石（Cpx）、角閃石（Hö）、カンラン石（ol）、磁鐵鉱（Mg）、不明（Opq）などを同定・計数した。火山ガラスと斜方輝石の屈折率は、温度変化型屈折率測定装置（古澤地質製、MAIOT2000）を用いて 4ϕ 篩残渣について測定した（横山ほか, 1986）。

4. 結果

テフラ分析結果を表1および図1に示し、写真図版2に試料の顕微鏡写真を示す。以下に試料の特徴を記載する。

（1）テフラNo 1

試料は灰褐色の砂質土で、岩片（max.10mm）を含む。粒度組成では 1ϕ 篩残渣が多く、重液分離では重鉱物の割合が高い。軽鉱物では、火山ガラスは少ないが、軽石型スponジ状ガラス（p2）の割合が高く、バブル型平板状ガラス（b1）、バブル型Y字状ガラス（b2）が含まれる。重鉱物では斜方輝石（Opx）の割合が高く、單斜輝石（Cpx）などが含まれる。火山ガラスの屈折率は1.5008-1.5199（平均1.5048）であり、1.5008-1.5040（平均1.5023）の範囲に集中する。斜方輝石の屈折率は1.7056-1.7137（平均1.7090）である。

(2) テフラNo.2

試料は黄橙色の砂質土で、岩片（max. 9 mm）を含む。粒度組成では1 φ 篩残渣が多く、重液分離では軽鉱物の割合が高い。軽鉱物では、軽石型スponジ状ガラス（p2）の割合が高く、パブル型平板状ガラス（b1）、Y字状ガラス（b2）、軽石型纖維状ガラス（p1）、急冷破碎型フレーク状ガラス（c1）、急冷破碎型塊状ガラス（c2）が含まれる。重鉱物では斜方輝石（Opx）の割合が高く、單斜輝石（Cpx）などが含まれる。火山ガラスの屈折率は1.5002-1.5171（平均1.5035）であり、1.5002-1.5039（平均1.5021）の範囲に集中する。斜方輝石の屈折率は1.7044-1.7162（平均1.7089）である。

5. 所見

9-1 トレンチ北壁のテフラNo.1とテフラNo.2は、天明3年（1783年）の浅間山噴火に伴う岩屑なだれ堆積物基底部に位置することから、浅間A軽石（As-A, 1783年）に由来する可能性が指摘されていた。今回の分析結果では、火山ガラスの屈折率が広い範囲を示しており、このうち屈折率が高い少量の火山ガラスについてはAs-Aに由来する可能性が考えられる。また、屈折率が低いものについては、浅間火山起源のテフラのうち小諸第2テフラ（As-Km2, 約1.1～1.4万年前）、小諸第1テフラ（As-Km1, 約1.5～1.6万年前）、浅間草津テフラ（As-K, 約1.5～1.65万年前）に近似しており、斜方輝石の屈折率も類似していることから、これらのいずれかのテフラに由来する可能性が考えられる。

これらのテフラとの対比については、岩屑なだれ堆積物との関係など堆積状況に不明な部分があることから、周辺地域における分析事例を増やすなどさらに詳細な検討が必要と考えられる。

＜関連するテフラ＞

浅間Aテフラ（As-A）：浅間火山からAD1783年（天明3年）に噴出した降下軽石（pta）および火碎流堆積物（pfl）。主な鉱物は斜方輝石と單斜輝石で、火山ガラスの屈折率は1.507-1.512、斜方輝石の屈折率（γ）は1.707-1.712である。

小諸第2テフラ（As-Km2）：浅間火山から約1.1～1.4万年前に噴出した火碎流堆積物。主な鉱物は斜方輝石と單斜輝石で、火山ガラスの屈折率は1.501-1.503、斜方輝石の屈折率は1.708-1.711である。

小諸第1テフラ（As-Km1）：浅間火山から約1.5～1.6万年前に噴出した火碎流堆積物。主な鉱物は斜方輝石と單斜輝石で、火山ガラスの屈折率は1.501-1.503、斜方輝石の屈折率は1.708-1.713である。

浅間草津テフラ（As-K）：浅間火山から約1.5～1.65万年前に噴出した火碎流堆積物、降下軽石で、分布は北（東）200km以上に及ぶ。主な鉱物は斜方輝石と單斜輝石で、火山ガラスの屈折率は1.501-1.503、斜方輝石の屈折率は1.707-1.712である。

文献

町田洋・新井房夫（2003）新編火山灰アトラス - 日本列島とその周辺 -、東京大学出版会、336p.

横山卓雄・檀原徹・山下透（1986）温度変化型屈折率測定装置による火山ガラスの屈折率測定、第四紀研究、25, p.21-30.

III. 植物珪酸体分析

1. はじめに

植物珪酸体は、植物の細胞内に珪酸（SiO₂）が蓄積したもので、植物が枯れたあともガラス質の微化石（プラント・オーパール）となって土壤中に半永久的に残っている。植物珪酸体分析は、この微化石を遺跡土壤などから検出して同定・定量する方法であり、イネをはじめとするイネ科栽培植物の同定および古植生・古環境の推定などに応用されている（杉山, 2000, 2009）。

2. 試料

分析試料は、9-1 トレンチ北壁、9-1 トレンチの3-1 層検出面、10-1 トレンチ (a-a')、11-1 トレンチ南壁から採取された計 18 点である。試料採取箇所を分析結果図に示す。

3. 分析法

植物珪酸体の抽出と定量は、ガラスピーズ法（藤原, 1976）を用いて、次の手順で行った。

- 1) 試料を 105°C で 24 時間乾燥（絶乾）
- 2) 試料約 1 g に対し直徑約 40 μ m のガラスピーズを約 0.02g 添加（0.1mg の精度で秤量）
- 3) 電気炉灰化法（550°C・6 時間）による脱有機物処理
- 4) 超音波水中照射（300W・42KHz・10 分間）による分散
- 5) 沈底法による 20 μ m 以下の微粒子除去
- 6) 封入剤（オイキット）中に分散してプレパラート作成
- 7) 檢鏡・計数

同定は、400 倍の偏光顕微鏡下で、おもにイネ科植物の機動細胞に由来する植物珪酸体を対象として行った。計数は、ガラスピーズ個数が 400 以上になるまで行った。これはほぼプレパラート 1 枚分の精査に相当する。試料 1 gあたりのガラスピーズ個数に、計数された植物珪酸体とガラスピーズ個数の比率をかけて、試料 1 g 中の植物珪酸体個数を求めた。

また、おもな分類群についてはこの値に試料の仮比重（1.0 と仮定）と各植物の換算係数（機動細胞珪酸体 1 個あたりの植物体乾重）をかけて、単位面積で層厚 1 cm あたりの植物体生産量を算出した。これにより、各植物の繁茂状況や植物間の占有割合などを具体的にとらえることができる（杉山, 2000）。タケア科については、植物体生産量の推定値から各分類群の比率を求めた。

4. 分析結果

検出された植物珪酸体の分類群は以下のとおりである。これらの分類群について定量を行い、その結果を表 2 および図 2 に示した。主要な分類群について顕微鏡写真を示す（写真図版 3）。

〔イネ科〕

イネ、イネ（穂の表皮細胞由来）、ムギ類（穂の表皮細胞）、ヨシ属、シバ属型、ヒエ属型、キビ族型、ススキ属型（おもにススキ属）、ウシクサ族 A（チガヤ属など）、ウシクサ族 B（大型）、A タイプ（くさび型）

〔イネ科・タケア科〕

ネザサ節型（おもにメダケ属ネザサ節）、チマキザサ節型（ササ属チマキザサ節・チシマザサ節など）、ミヤコザサ節型（ササ属ミヤコザサ節など）、未分類等

〔イネ科・その他〕

表皮毛起源、棒状珪酸体（おもに結合組織細胞由来）、茎部起源、未分類等

〔樹木〕

はめ縫パズル状（ブナ科ブナ属、モクレン科など）、多角形板状（ブナ科コナラ属など）、その他

5. 考察

（1）イネ科栽培植物の検討

植物珪酸体分析で同定される分類群のうち栽培植物が含まれるものには、イネをはじめ、ムギ類、ヒエ属型（ヒエが含まれる）、エノコログサ属型（アワが含まれる）、キビ属型（キビが含まれる）、ジュズダマ属型（ハトムギが含まれる）、オヒシバ属型（シコクヒエが含まれる）、モロコシ属型、トウモロコシ属型などがある。このうち、今回の試料からはイネ、ムギ類、ヒエ属型が検出された。以下に各分類群ごとに栽培の可能性について考察する。

1) イネ

イネは、9-1 トレンチ北壁の 3-1 層（試料 1、1'、2、3）、9-1 トレンチの 3-1 層検出面（試料 12、13）、11-1 トレンチ南壁の 3-1 層（試料 1、2）と 3-2 層（試料 3）から検出された。このうち、3-1 層ではイネの密度が 2,000 ~ 2,500 個/g、3-2 層では 600 個/g である。植物珪酸体分析で稲作跡の検証や探査を行う場合の判断基準はイネの密度が 5,000 個/g 以上（状況により 3,000 個/g とする場合もある）であるが、陸稲栽培の場合は連作障害や地力の低下を避けるために輪作を行ったり休閑期間をおく必要があることから、イネの密度は水田よりもかなり低くなり 1,000 ~ 2,000 個/g 程度である場合が多い（杉山、2000）。また、3-1 層は直上を 2 層（岩屑なだれ堆積物）で覆われていることから、上層から後代のものが混入したことは考えにくい。

以上のことから、3-1 層の時期に各調査地点もしくはその近辺で稲作が行われていた可能性が高いと考えられる。11-1 トレンチの 3-2 層についても、稲作が行われていた可能性が示唆されるが、イネの密度が低いことから、上層などからの混入の可能性も想定される。

2) ムギ類

ムギ類（穎の表皮細胞）は、9-1 トレンチ北壁の 3-1 層（試料 1、1'、2）、9-1 トレンチの 3-1 層検出面（試料 12、13）、および 11-1 トレンチ南壁の 3-1 層（試料 1、2）から検出された。密度は 500 ~ 1,300 個/g と低い値であるが、穎（粉殻）が栽培地に残される確率は低いことから、少量が検出された場合でもかなり過大に評価する必要がある。したがって、3-1 層の時期に各調査地点もしくはその近辺でムギ類が栽培されていた可能性が考えられる。

なお、ムギ類にはコムギ属 *Triticum* とオオムギ属 *Hordeum* が含まれており、ここで検出されたものは植物珪酸体の形態からコムギ属の可能性が考えられるが、ムギ類については植物標本の検討が不十分であることからムギ類 *Hordeum-Triticum* の表記にとどめた。

3) ヒエ属型

ヒエ属型は、9-1 トレンチ北壁の 3-1 層（試料 1、1'、2、3）、9-1 トレンチの 3-1 層検出面（試料 12、13）、10-1 トレンチの 3' 層（試料 1、2）、11-1 トレンチ南壁の 3-1 層（試料 1、2）と 3-2 層（試料 3）から検出された。密度は 10-1 トレンチの試料 1 では 1,500 個/g、その他の試料では 500 個/g 前後と低い値であるが、ヒエ属は葉身中における植物珪酸体の密度が低いことから、植物体量としては過大に評価する必要がある。なお、ヒエ属型には栽培種のヒエの他にイヌヒエなどの野生種が含まれるが、両者の差異は植物分類上でも不明確であり、現時点では植物珪酸体の形態からこれらを識別することは困難である（杉山ほか、1988）。今回の分析では、同一試料から栽培種のイネやムギ類（穎の表皮細胞）が検出されていることから、ヒエ属型についても栽培種のヒエに由来する可能性が考えられる。

4) その他

イネ科栽培植物の中には検討が不十分なものもあるため、その他の分類群の中にも栽培種に由来するものが含まれている可能性が考えられる。また、キビ族型にはエノコログサ属に近似したものも含まれている。これらの分類群の給源植物の究明については今後の課題としたい。なお、植物珪酸体分析で同定される分類群は主にイネ科植物に限定されるため、根菜類などの畑作物は分析の対象外となっている。

（2）植物珪酸体分析から推定される植生と環境

上記以外の分類群の検出状況と、そこから推定される植生・環境について検討を行った。9-1 トレンチ北壁の下位の 5 層では、ヨシ属、ススキ属型、ウシクサ族 A、ウシクサ族 B、チマキザサ節型、ミヤコザサ節型、樹木（その他）などが検出されたが、いずれも少量である。3-4 層から 3-2 層にかけては、ヨシ属、

スキ属型が増加し、キビ族型、イネ科Aタイプなどが出現している。3-1層では、スキ属型、ウシクサ族A、チマキザサ節型が増加し、ヨシ属は減少している。また、シバ属型が出現し、はめ縫パズル状（ブナ科ブナ属など）、多角形板状（ブナ科コナラ属等）なども認められた。おもな分類群の推定生産量によると、3-1層ではスキ属型が優勢であり、3-2層や3-4層ではヨシ属が多くなっている。11-1トレント南壁でも、おおむね同様の結果であるが、9-1トレント北壁と比較してヨシ属やスキ属型は少なくなっている。

以上のことから、岩屑なだれ堆積物（1783年）下位の3-1層の堆積当時は、スキ属やチガヤ属をはじめ、ササ属（おもにチマキザサ節）、シバ属、キビ族なども生育する日当たりの良い草原的な環境であったと考えられ、周辺にはヨシ属が生育するような湿潤なところも存在していたと推定される。また、遺跡周辺にはブナ科などの樹木（落葉樹）が分布していたと考えられる。ササ属などの箇類については、落葉樹林の林床などに生育していた可能性も想定される。

3-2層や3-4層の堆積当時は、おおむねヨシ属が生育するような比較的湿潤な環境であった可能性が考えられ、スキ属やササ属は3-1層よりも少なかったと推定される。

文献

- 杉山真二・藤原宏志（1986）機動細胞珪酸体の形態によるタケ亜科植物の同定・古環境推定の基礎資料として、考古学と自然科学、19, p.69-84.
- 杉山真二・松田隆二・藤原宏志（1988）機動細胞珪酸体の形態によるキビ族植物の同定とその応用-古代農耕追究のための基礎資料として、考古学と自然科学、20, p.81-92.
- 杉山真二（2000）植物珪酸体（プラント・オパール）、考古学と植物学、同成社, p.189-213.
- 杉山真二（2009）植物珪酸体と古生態、人と植物の関わりあい④、大地と森の中で-縄文時代の古生態系-、縄文の考古学Ⅲ、小杉康ほか編、同成社, p.105-114.
- 藤原宏志（1976）プラント・オパール分析法の基礎的研究(1)-数種イネ科植物の珪酸体標本と定量分析法-, 考古学と自然科学、9, p.15-29.
- 藤原宏志・杉山真二（1984）プラント・オパール分析法の基礎的研究(5)-プラント・オパール分析による水田址の探査-, 考古学と自然科学、17, p.73-85.

IV. 花粉分析・寄生虫卵分析

1. はじめに

花粉分析は、一般に低湿地の堆積物を対象とした比較的広域な植生・環境の復原に応用されており、遺跡調査においては遺構内の堆積物などを対象とした局地的な植生の推定も試みられている。花粉などの有機質遺体は、水成堆積物では保存状況が良好であるが、乾燥的な環境下の堆積物では分解されて残存していない場合もある。

人や動物などに寄生する寄生虫の卵殻は、花粉と同様の条件下で堆積物中に残存しており、人の居住域では寄生虫卵による汚染度が高くなる。寄生虫卵分析を用いて、トイレ遺構の確認や人糞施肥の有無の確認が可能であり、寄生虫卵の種類から、摂取された食物の種類や、そこに生息していた動物種を推定することも可能である（金原、2004）。

2. 試料

分析試料は、9-1トレント北壁、9-1トレントの3-1層検出面、11-1トレント南壁から採取された計9点である。試料採取箇所を分析結果図に示す。

3. 方法

花粉および寄生虫卵の分離抽出は、中村（1967）の方法をもとに、以下の手順で行った。

- 1) 試料から 1 cm³ を秤量
 - 2) 0.5% リン酸三ナトリウム（12 水）溶液を加えて 15 分間湯煎
 - 3) 水洗処理の後、0.5mm の篩で礫などの大きな粒子を取り除き、沈澱法で砂粒を除去
 - 4) 25% フッ化水素酸溶液を加えて 30 分放置
 - 5) 水洗処理の後、氷酢酸によって脱水し、アセトリシス処理（無水酢酸 9 : 濃硫酸 1 のエルドマン氏液を加え 1 分間湯煎）を施す
 - 6) 再び氷酢酸を加えて水洗処理
 - 7) 沈渣に石炭酸フクシンを加えて染色し、グリセリンゼリーで封入してプレパラート作成
 - 8) 検鏡・計数
- 検鏡は、生物顕微鏡によって 300 ~ 1000 倍で行った。花粉の同定は、島倉（1973）および中村（1980）をアトラスとして、所有の現生標本との対比で行った。結果は同定レベルによって、科、亜科、属、亜属、節および種の階級で分類し、複数の分類群にまたがるものはハイフン（-）で結んで示した。

4. 結果

(1) 分類群

検出された分類群は、樹木花粉 27、樹木花粉と草本花粉を含むもの 5、草本花粉 22、シダ植物胞子 2 形態の計 56 分類群である。なお、寄生虫卵はいずれの試料からも検出されなかった。分析結果を表 3 に示し、花粉数が 100 個以上計数された試料については花粉総数を基数とする花粉ダイアグラムを示した（図 3）。主要な分類群について顕微鏡写真を示す（写真図版 4）。以下に出現した分類群を記載する。

[樹木花粉]

ツガ属、マツ属複維管束亞属、スギ、イチイ科-イヌガヤ科-ヒノキ科、ヤナギ属、クルミ属、サワグルミ、ハンノキ属、カバノキ属、クマシデ属-アサダ、クリ、シイ属、ブナ属、コナラ属コナラ亞属、ニレ属-ケヤキ、カエデ属、トチノキ、シナノキ属

[樹木花粉と草本花粉を含むもの]

クワ科-イラクサ科、マメ科、ウコギ科、ニワトコ属-ガマズミ属

[草本花粉]

イネ科、イネ属型、カヤツリグサ科、ネギ属、タデ属サナエタデ節、ソバ属、アカザ科-ヒュ科、キンポウゲ属、カラマツソウ属、アブラナ科、ツリフネソウ属、セリ亞科、シソ科、タンボボ亞科、キク亞科、ヨモギ属
[シダ植物胞子]

单条溝胞子、三条溝胞子

(2) 花粉群集の特徴

1) 9-1 トレンチ北壁

下位の 3-2 層（試料 5、7）では、草本花粉の占める割合が樹木花粉よりも高い。草本花粉では、ヨモギ属、イネ科、タンボボ亞科が優勢で、キク亞科、カラマツソウ属などが伴われる。また、試料 7 ではソバ属が認められた。樹木花粉では、クリ、コナラ属コナラ亞属が優勢で、トチノキなどが伴われる。3-1 層（試料 1、3）では、草本花粉ではイネ科が増減し、ソバ属が認められた。樹木花粉ではクリ、トチノキが増加し、コナラ属コナラ亞属は減少している。9-1 トレンチの 3-1 層検出面（試料 12）でも、おむね同様の結果であり、ソバ属、アブラナ科が認められた。ソバ属やアブラナ科は虫媒花であり、風媒花と比較して花粉の生産量が少なく現地性が高いことから、他の分類群と比較して過大に評価する必要がある。

2) 11-1 トレンチ南壁

下位の3-4層（試料5）から3-3層（試料4）にかけては、草本花粉の占める割合が樹木花粉よりも高い。草本花粉では、ヨモギ属、イネ科、タンボボ亜科が優勢で、キク亜科、カラマツソウ属などが伴われる。樹木花粉では、クリ、コナラ属コナラ亜属が優勢で、トチノキなどが伴われる。3-2層（試料3）では、樹木花粉のクリが増加し、樹木・草本花粉のマメ科が特徴的に多く検出された。ここで検出されたマメ科の花粉は、ササゲ属、アズキ属、ソラマメなどの栽培種とは異なり、クズ属のような草本の可能性が考えられる。3-1層（試料1）では、草本花粉ではヨモギ属、イネ科、タンボボ亜科が優勢で、キク亜科などが伴われる。樹木花粉では、クリが優勢で、コナラ属コナラ亜属、トチノキなどが伴われる。

5. 考察

岩屑なだれ堆積物（1783年）下位の3-1層の堆積当時は、イネ科（スキ属など）やヨモギ属をはじめ、タンボボ亜科、キク亜科などの草本類が生育する日当たりの良い人里周辺の環境であったと考えられる。栽培植物関連では、9-1トレーナーで少量ながらソバ属、アブラナ科が検出され、これらを栽培する農耕（畑作）が行われていた可能性が認められた。

森林植生としては、近隣にクリ林が分布していたと考えられ、谷部や沢沿いの適潤地などにはトチノキが生育し、丘陵部などにはナラ林（コナラ属コナラ亜属）も分布していたと推定される。クリやトチノキの果実は優良な食物として利用され、ナラ類の種実（ドングリ）も食用になる。また、これらの木材は様々な用途で利用されていたと考えられる。

3-2層より下位層準でも、おおむね同様の状況であったと考えられるが、森林植生では3-1層の時期よりもナラ林が多く分布していたと推定される。

文献

- 金原正明（1993）花粉分析法による古環境復原、新版古代の日本第10巻古代資料研究の方法、角川書店、p.248-262.
- 金原正明（1999）寄生虫、考古学と動物学、考古学と自然科学、2、同成社、p.151-158.
- 金原正明（2004）寄生虫卵分析、環境考古学ハンドブック、朝倉書店、p.419-429.
- 島倉巳三郎（1973）日本植物の花粉形態、大阪市立自然科学博物館収蔵目録第5集、60p.
- 中村純（1967）花粉分析、古今書院、p.82-110.
- 中村純（1980）日本産花粉の標識、大阪自然史博物館収蔵目録第13集、91p.
- Peter J. Warnock and Karl J. Reinhard（1992）Methods for Extracting Pollen and Parasite Eggs from Latrine Soils. Journal of Archaeological Science, 19, p.231-245.

V. 自然科学分析のまとめ

テフラ分析の結果、9-1トレーナーの岩屑なだれ堆積物基底部で採取された試料（No.1、No.2）には、浅間A軽石（As-A、1783年）に由来するテフラ粒子が少量含まれていると考えられ、浅間山起源の小諸第2テフラ（As-Km2、約1.1～1.4万年前）、小諸第1テフラ（As-Km1、約1.5～1.6万年前）、浅間草津テフラ（As-K、約1.5～1.65万年前）のいずれかに由来するテフラ粒子が多く含まれていると推定される。これらのテフラの対比については、周辺地域における分析事例を増やすなどさらに詳細な検討が必要と考えられる。

植物珪酸体分析および花粉分析の結果から、岩屑なだれ堆積物下位の3-1層では、イネ、ヒエ属、ムギ類（コムギ属？）、ソバ属、アブラナ科などを栽培する農耕（畑作）が行われていたと推定される。3-1層の堆積当時は、イネ科（スキ属やチガヤ属など）やヨモギ属をはじめ、タンボボ亜科、キク亜科、ササ属（おもにチマキザサ節）なども生育する日当たりの良い人里周辺の環境であったと考えられ、周辺にはヨシ属が生育するような湿潤なところも存在していたと推定される。森林植生としては、近隣にクリ林が多く分布し

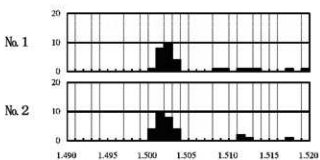
ていたと考えられ、谷部や沢沿いの適潤地などにはトチノキが生育し、丘陵部などにはナラ林も分布していたと推定される。ササ属などの笹類については、落葉樹林の林床などに生育していた可能性も想定される。

表1 鍾原遺跡第2次調査のテフラ分析結果

分類群 No.	砂粒分の粒度組成(重量g)				鉱物組成(重量g)				
	遺構	層準	処理重量	1φ	2φ	3φ	4φ	鉄鉱物	重鉱物
1	9-1Tr	2層基底	21.87	6.78	2.20	2.15	1.26	0.26	0.08
2	9-1Tr	2層基底	17.86	2.35	0.92	1.22	0.99	0.18	0.04

分類群 No.	火山ガラス				重鉱物			重鉱物			重鉱物 合計	
	石英 (Qn)	長石 (Pl)	不明 (Opq)	バブル(泡)型	軽石型	急冷破砕型	ガラス 合計	斜方輝石 (Opx)	单斜輝石 (Cpx)	角閃石 (Hbl)	磁鐵鉱 (Mg)	
1	1	116	99	1	4	29	34	250	138	51	24	37
2		81	96	15	16	3	73	250	141	43	28	38

火山ガラス



斜方輝石

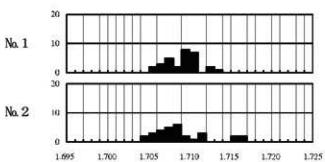


図1 鎌原遺跡第2次調査の屈折率測定結果

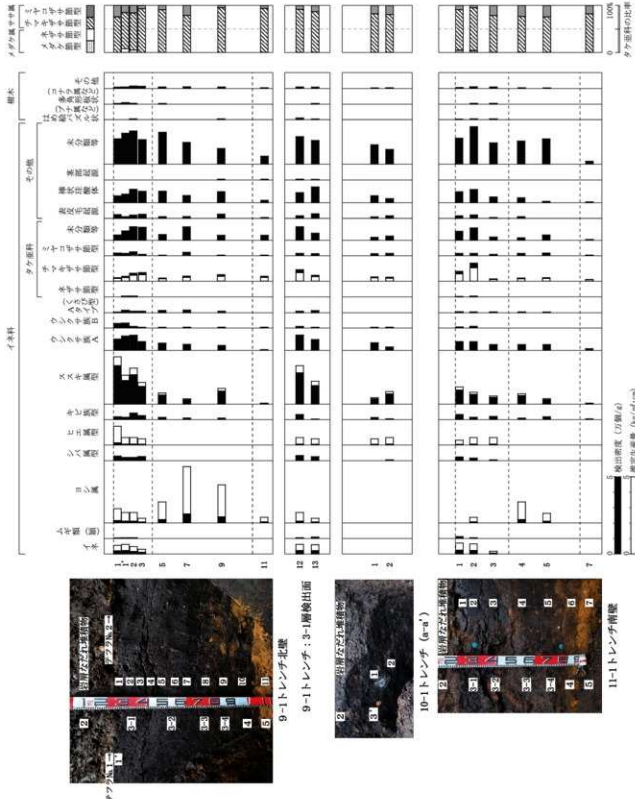


図2 鎌原道跡第2次調査における植物群集体分析結果

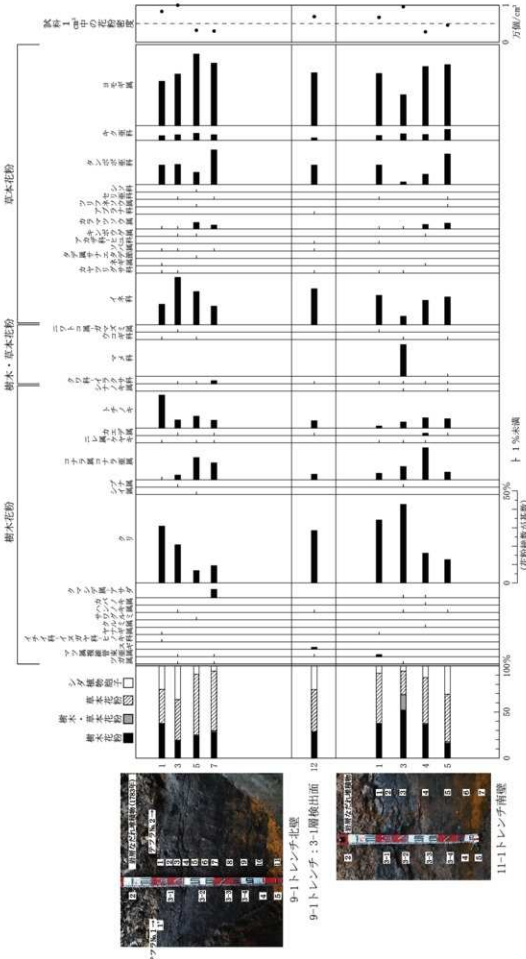
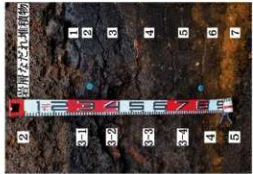
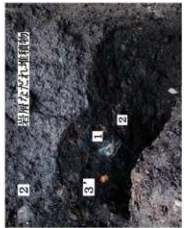


図 3 鎌原遺跡第2次調査における花粉ダイアグラム

11-1トレンチ南壁



10-1トレンチ (a-a')



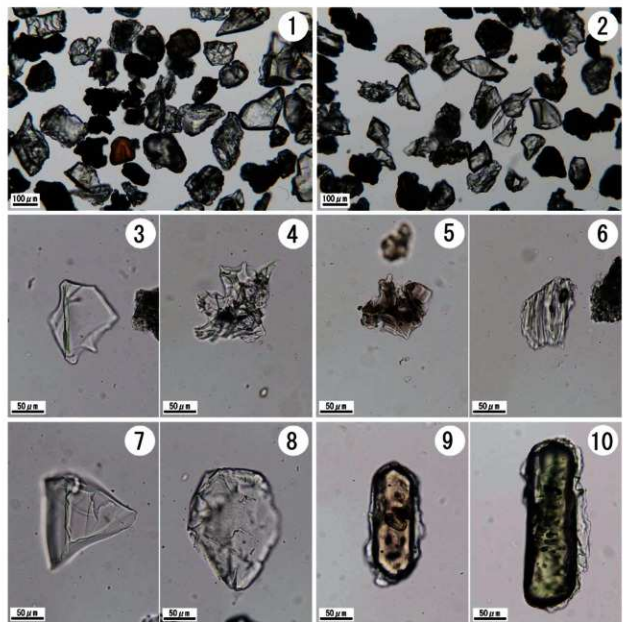
9-1トレンチ: 3-1層検出面



9-1トレンチ北壁



写真図版 1 鎌原遺跡第2次調査における試料採取箇所



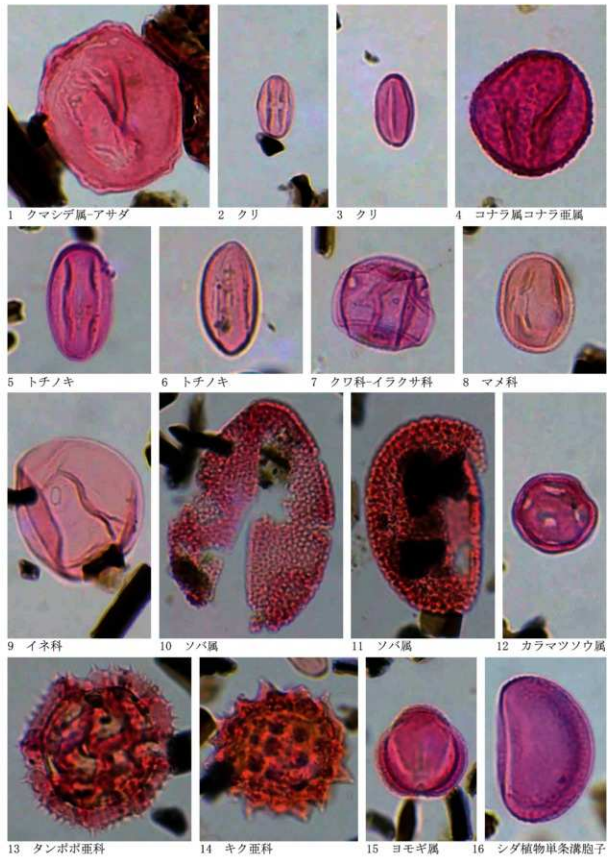
写真図版2 テフラ試料とテフラ粒子の顕微鏡写真

1. テフラNo.1
2. テフラNo.2
3. バブル型平板状ガラス
4. 軽石型スponジ状ガラス
5. 軽石型スponジ状褐色ガラス
6. 軽石型繊維状ガラス
7. 急冷破碎型フレーク状ガラス
8. 急冷破碎型塊状ガラス
9. 斜方輝石
10. 単斜輝石



— 50 μ m

写真図版3 鎌原遺跡第2次調査の植物珪酸体(プランツ・オパール)



写真図版4 鎌原遺跡第2次調査の花粉

— 10 μm

(3) 土質試験結果

11号トレーニング南壁トレーニングにおいて、山田孝氏（北海道大学 広域複合災害研究センター長）のご厚意により、岩屑なだれ堆積物の土質試験を実施した。

2022年11月15日現地において、分析試料の採取を行った。採取分析結果及び関係写真は、結果一覧の通りである。



11号トレーニング調査風景(北から)



11号トレーニングa-a' □が採取地点(北から)

天明三年(1783)8月5日にこの地(11号トレーニング)を襲った土層断面は、現況表土から、4m弱の堆積厚さを呈している。堆積物直下の地表面には、As-A軽石が、面的に比較的少量ではあるが、散在していることが確認できる。このことは、ここを襲った岩屑なだれが、地表面を削剥・押圧しながらも、当時の地表面をほぼ保ちながら押し流していくことが、確認されることになる。地点によっては、クロボク土を根こそぎ削剥した箇所、埋没前の少し前に降下したAs-Aテフラの降下後の状態をほぼ保ちながら埋没している箇所もある。この地点では、その2極の中間的な状況を呈しているものと言えるだろう。

この地点の岩屑なだれに埋没した直下の土壤からは、自然科学分析では、イネ科のプラントオバールやマメ科の花粉なども特徴的に検出されている。また、3点の土師器片が見つかっている。

土質試験結果一覧表(基礎地盤)

調査件名 室内土質試験

整理年月日 2022年11月30日

整理担当者 小見山 欽次

試料番号		物理的性質	
(深さ)			
-	温潤密度 ρ_s g/cm ³		
-	乾燥密度 ρ_d g/cm ³		
-	土粒子の密度 ρ_p g/cm ³	2.673	
-	自然含水比 w_n %	29.3	
般	間隙比 e		
粒度	飽和度 S_s %		
粒度	石分 (75mm以上) %		
粒度	砂分 (2~75mm) %	32.2	
粒度	粉分 (0.075~2mm) %	46.8	
粒度	シルト分 (0.002~0.075mm) %	16.4	
粒度	粘土分 (0.002mm以下) %	4.6	
粒度	最大粒径 mm	37.5	
粒度	均等係数 Cc	60.1	
塑性指数	液性限界 w_L %	NP	
塑性指数	塑性限界 w_P %	NP	
塑性指数	塑性指数 I _P	NP	
分類	地盤材料の 分類名	細粒分質 隕質砂	
分類	分類記号	(SFG)	
圧密	試験方法		
圧密	圧縮指數 C _c		
密	圧密降伏応力 p_v kN/m ²		
一軸圧縮	一軸圧縮強さ q_u kN/m ²		
一軸圧縮	無圧縮強さ q_c kN/m ²		
一軸圧縮	一軸圧縮強さ q_s kN/m ²		
一軸圧縮	一輪圧縮強さ q'_s kN/m ²		
せん断	試験条件		
せん断	全応力 c kN/m ²		
せん断	φ		
せん断	有効応力 c' kN/m ²		
せん断	φ'		

特記事項

i) 石分を除いた75mm未満の土質材料に対する百分率です。

[1kN/m² ≈ 0.0102kgf/cm²]

(社)地盤工学会6161

BAB-3R-CSB7-A997

調査件名 室内土質試験

試験年月日 2022年 11月 22日

試験者 松井 由佳

試料番号(深さ)		雄辺村鎌原集落掘削土砂(20221115採取)		
ビクノメーターNo.		42	40	27
(試料+蒸留水+ビクノメーター)の質量 m_1 g		118.162	120.807	121.964
m_2 はかったときの内容物の温度 T °C		20.2	20.2	20.2
T °Cにおける蒸留水の密度 $\rho_w(T)$ g/cm³		0.99816	0.99816	0.99816
温度 T °Cの蒸留水を満たしたときの (蒸留水+ビクノメーター)質量 m_3 g		111.658	114.392	114.631
容器 No.		42	40	27
試料の(炉乾燥試料+容器)質量 g		62.996	62.927	64.747
炉乾燥質量 容器質量 g		52.621	52.700	53.027
m_4 g		10.375	10.227	11.720
土粒子の密度 ρ_s g/cm³		2.675	2.678	2.667
平均 値 ρ_s g/cm³		2.673		
試料番号(深さ)				
ビクノメーターNo.				
(試料+蒸留水+ビクノメーター)の質量 m_1 g				
m_2 はかったときの内容物の温度 T °C				
T °Cにおける蒸留水の密度 $\rho_w(T)$ g/cm³				
温度 T °Cの蒸留水を満たしたときの (蒸留水+ビクノメーター)質量 m_3 g				
容器 No.				
試料の(炉乾燥試料+容器)質量 g				
炉乾燥質量 容器質量 g				
m_4 g				
土粒子の密度 ρ_s g/cm³				
平均 値 ρ_s g/cm³				
試料番号(深さ)				
ビクノメーターNo.				
(試料+蒸留水+ビクノメーター)の質量 m_1 g				
m_2 はかったときの内容物の温度 T °C				
T °Cにおける蒸留水の密度 $\rho_w(T)$ g/cm³				
温度 T °Cの蒸留水を満たしたときの (蒸留水+ビクノメーター)質量 m_3 g				
容器 No.				
試料の(炉乾燥試料+容器)質量 g				
炉乾燥質量 容器質量 g				
m_4 g				
土粒子の密度 ρ_s g/cm³				
平均 値 ρ_s g/cm³				

特記事項

1) ビクノメーターの検定結果から求める。

$$\rho_s = \frac{m_1}{m_4 + (m_3 - m_1)} \times \rho_w(T)$$

JIS A 1203
JGS 0121

土の含水比試験

調査件名 室内土質試験

試験年月日 2022年11月18日

試験者 松井由佳

試料番号(深さ)	雄恋村雄原集落細削土砂(20221115採取)		
容器 No.	585	540	499
m_1 g	351.38	352.34	348.96
m_2 g	277.39	277.03	273.85
m_3 g	21.13	20.89	20.55
w %	28.9	29.4	29.7
平均値 w %	29.3		
特記事項			

試料番号(深さ)			
容器 No.			
m_1 g			
m_2 g			
m_3 g			
w %			
平均値 w %			
特記事項			

試料番号(深さ)			
容器 No.			
m_1 g			
m_2 g			
m_3 g			
w %			
平均値 w %			
特記事項			

試料番号(深さ)			
容器 No.			
m_1 g			
m_2 g			
m_3 g			
w %			
平均値 w %			
特記事項			

試料番号(深さ)			
容器 No.			
m_1 g			
m_2 g			
m_3 g			
w %			
平均値 w %			
特記事項			

$$w = \frac{m_1 - m_2}{m_1 - m_3} \times 100$$

m_1 : (試料+容器)質量
 m_2 : (炉乾燥試料+容器)質量
 m_3 : 容器質量

JIS A 1204
JGS 0131

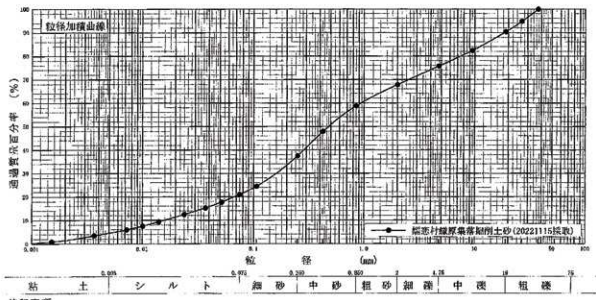
土の粒度試験(粒径加積曲線)

調査件名 室内土質試験

試験年月日 2022年 11月 22日

試験者 佐藤 由美

試料番号		試料番号		試料番号	
(深さ)		(深さ)		(深さ)	
ふるい	75	通過質量百分率%	粒径 mm	通過質量百分率%	粒径 mm
	53	100.0	75	中 粗 分	9.6
	37.5		53	細 粗 分	14.6
るい	26.5	94.8	26.5	粗 砂 分	8.0
	19	90.4	19	中 砂 分	9.0
	9.5	82.4	9.5	細 砂 分	21.3
分折	4.75	75.8	4.75	シルト 分	16.5
	2	67.8	2	粘 土 分	15.4
	0.850	58.8	0.850	2mm ふるい 通過質量百分率%	4.6
沈降	0.425	47.9	0.425	425 μm ふるい 通過質量百分率%	67.8
	0.250	37.5	0.250	75 μm ふるい 通過質量百分率%	47.9
	0.106	24.5	0.106	最大粒径 D _{max} mm	37.5
分散	0.075	21.0	0.075	60 % 粒径 D ₆₀ mm	0.944
	0.0519	17.8		50 % 粒径 D ₅₀ mm	0.480
	0.0373	15.3		30 % 粒径 D ₃₀ mm	0.161
曲率	0.0240	12.5		10 % 粒径 D ₁₀ mm	0.0157
	0.0141	9.4		均等係数 U _c	69.1
	0.0101	7.6		曲率係数 U'	1.75
分散	0.00722	6.0		土粒子の密度 ρ, g/cm ³	2.673
	0.00366	3.5		使用した分散剤	市販懶村過塩素酸ナトリウム
	0.00152	0.9		溶波濃度、溶波添加量	10ml
				20 % 粒径 D ₂₀ mm	0.0674



特記事項

JIS A 1205
JGS 0141

土の液性限界・塑性限界試験（試験結果）

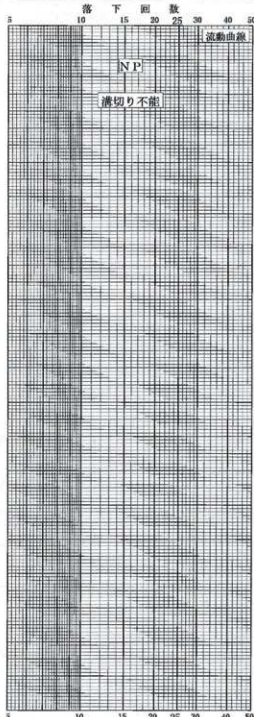
調査件名 室内土質試験

試験年月日 2022年 11月 21日

試験者 佐藤 由美

試料番号（深さ） 姫恵村鎌原集落掘削土砂(20221115採取)

液性限界試験		塑性限界試験		液性限界 $w_L\%$
落下回数	含水比 $w\%$	含水比 $w\%$		N.P.
				塑性限界 $w_P\%$
				N.P.
				塑性指数 I_s
				N.P.
				ビモ状にならず試験不能



試料番号（深さ）

液性限界試験		塑性限界試験		液性限界 $w_L\%$
落下回数	含水比 $w\%$	含水比 $w\%$		
				塑性限界 $w_P\%$
				塑性指数 I_s

試料番号（深さ）

液性限界試験		塑性限界試験		液性限界 $w_L\%$
落下回数	含水比 $w\%$	含水比 $w\%$		
				塑性限界 $w_P\%$
				塑性指数 I_s

試料番号（深さ）

液性限界試験		塑性限界試験		液性限界 $w_L\%$
落下回数	含水比 $w\%$	含水比 $w\%$		
				塑性限界 $w_P\%$
				塑性指数 I_s

特記事項

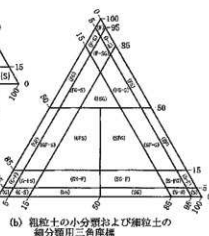
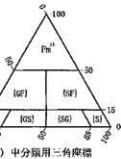
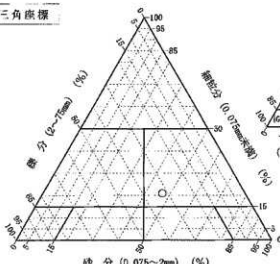
調査件名 室内土質試験

試験年月日 2022年 11月 30日

試験者 佐藤 由美

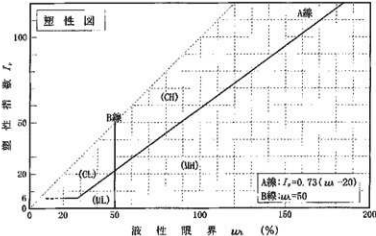
試料番号 (深さ)	物理的性質				
石 分(75mm以上) %					
砂 分(2~75mm) %	32.2				
砂 分(0.075~2mm) %	46.8				
細粒分(0.075mm未満) %	21.0				
シルト分(0.005~0.075mm) %	16.4				
粘土分(0.005mm未満) %	4.6				
最大粒径 mm	37.5				
均等係数 I_u	60.1				
液性限界 w_L %	NP				
塑性限界 w_p %	NP				
塑性指数 I_p	NP				
地盤材料の分類名	細粒分質				
分類記号	砂質砂				
凡例記号	(SPG)				

三角座標



(b) 粗粒土の小分類および細粒土の細分類用三角座標

塑性図



特記事項 1) 主に粗粒と塑性図で判別分類

1. 探査概要

1.1 探査の目的

天明3（1783）年の浅間山噴火で発生した岩屑なだれによって、旧鎌原村は鎌原観音堂等の一部を除いて地中に埋沒した。本探査は、遺構状況の把握に資する情報を得ることを目的として、鎌原観音堂、資料館下付近及び延命寺跡において地中レーダー探査を実施した。

1.2 探査実施箇所

本探査では鎌原観音堂付近を探査区1、資料館下付近を探査区2、延命寺跡付近を探査区3とした（図1-1）。また、探査区1については鎌原観音堂南側を探査区1-1、鎌原観音堂石段付近を探査区1-2、鎌原観音堂東側を探査区1-3、探査区3については延命寺跡付近を探査区3-1、延命寺跡東側を探査区3-2とした。

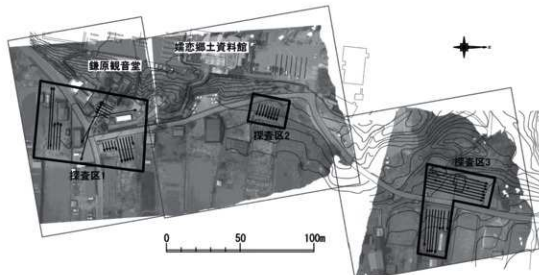


図 1-1 地中レーダー探査区 位置図

2. 地中レーダー探査

2.1 地中レーダー探査の原理

地中レーダー探査は、送信アンテナから地中に照射した電磁波が地中で反射して受信アンテナで捉えるまでの伝播時間を計測し、地盤構造や埋設物の有無を推定する探査手法である。

埋設物等の深度は電磁波の地中伝播速度を用いて推定されるが、電磁波の地中伝播速度は、伝播媒質（地盤など）によって異なる。

本探査では本地区周辺の地質（比誘電率等）に関する情報がないためワイドアングル（CMP）測定を実施し、得られた電磁波速度の解析結果を基に深度断面を解析した。

2.2 探査機材

本探査で用いた探査機は、Sensors& Software 社製 Pulse EKKO PRO（中心周波数 25MHz、50MHz、100 MHz）と、IDS 社製 Stream-X（中心周波数 200MHz）の 2 種類の地中レーダー探査機を用いた。地盤の土質や状態によって異なるが、それぞれ中心周波数 200MHz で地表下 2m 程度、100MHz で地表下 5m 程度、50MHz で地表下 10m 程度、25MHz で地表下 30m 程度までの探査が可能である。

2.3 探査の実施

探査は 2023 年 4 月 10 日から 4 月 14 日にかけて実施した。

探査に先立ち、VRS 方式ネットワーク型 RTK-GNSS 測量により、探査範囲に基準点を設置した。次に、探査測線の始点・終点をトータルステーションにより実測した。また、各探査区の状況を把握するため、周辺地物実測とドローンによる空撮を実施し、簡易平面図とオルソ画像を作成した。

地中レーダー探査は、Stream-X については 44 測線（308 断面）・測線長延べ 748.6m、Pulse EKKO PRO については 59 測線（59 断面）・測線長延べ 1,174.1m の探査を実施した。探査風景を図 2-1 および図 2-2 に示す。

また、探査区内の電磁波伝播速度を推定するために、探査区 1-1 で 1 箇所、探査区 3-1 で 2 箇所のワイドアングル測定を実施した。その結果、前者では電磁波伝播速度は 0.078 m/ns と推定され、探査区 1 の深度変換に使用した。後者については 0.085 m/ns と 0.110 m/ns の 2 つの値が推定されたが、探査区 1-1 での推定結果（0.078 m/ns）を踏まえて、0.085 m/ns を採用し、探査区 2 及び探査区 3 の深度変換に使用した。



図 2-1 探査風景(Pulse EKKO PRO 50MHz)



図 2-2 探査風景(Stream-X)

3. 探査結果

3.1 探査区 1-1 鎌原観音堂南側

本探査区の地中レーダー探査の結果により、次の特徴を確認することができた。本探査区の代表的な探査断面を図 3-1 に示す。

- ① 深さ 5.5～8.5m 付近に連続性の良い反射強度の境界面がみられる。
- ② その境界面を境にして、上部では「反射強度が強く、まだら状に分布するパターン域」、下部では「反射強度が弱い反射が分布するパターン域」の大きく 2 つに区分することができる。
- ③ 上部の「反射強度が強く、まだら状に分布するパターン域」では連続性のある特徴的な反射がみられ、探査断面によっては部分的に 2 条に分岐している。

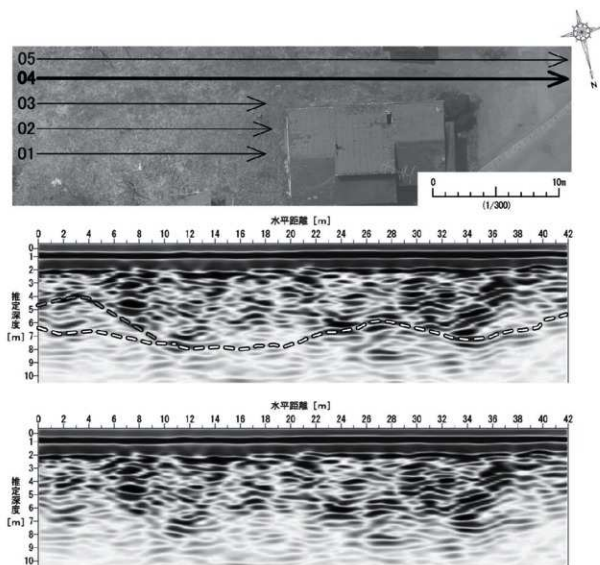


図 3-1 探査区 1-1 測線 04 50MHz 探査断面図

灰色破線—□—：特徴的な反射

白色破線—□—：反射強度の境界面

3.2 探査区 1-2 鎌原観音堂石段付近

本探査区の地中レーダー探査の結果により、以下の特徴を確認することができた。本探査区の代表的な探査断面を図 3-2 に示す。なおこの断面は測線 07 の 20m 地点に測線 08 を接合したものである。

- ① 石段と想定される特徴的な反射および発掘調査に伴う掘削や埋戻しを示す反射がみられる。
- ② 深さ 6.0～7.0m 付近に連続性の良い反射強度の境界面がみられる。
- ③ その境界面を境にして、上部では「反射強度が強く、まだら状に分布するパターン域」、下部では「弱い反射が分布するパターン域」の大きく 2 つに区分される。
- ④ 上部の反射パターン域では、さらに「反射強度が強いパターン域」と「比較して反射の減衰が大きいパターン域」に細分することができる。

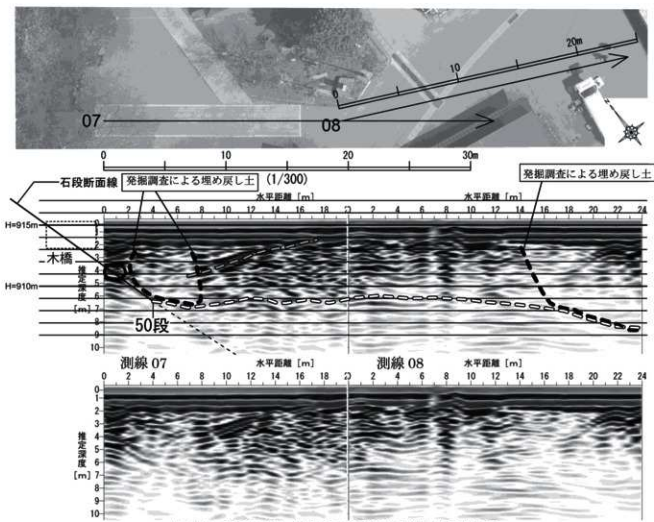


図 3-2 採査区 I-2 測線 07 及び測線 08 50MHz 採査断面図

測線 07 の 20m と測線 08 の 0m を結合していることに注意

黒色楕円 ○ : 石段と推定される反射

白色破線 - - - : 反射強度の境界面

灰色破線 - - - : 発掘調査に伴う反射

黒色破線 - - - - : 発掘調査時の埋め戻しと推定される範囲

3.3 採査区 I-3 鎌原観音堂東側

本採査区の地中レーダー探査の結果により、以下の特徴を確認することができた。本採査区の代表的な探査断面を図 3-3 に示す。

- ① 深さ 5.0~7.5m 付近に連続性の良い反射強度の境界面がみられる。
- ② その境界面を境にして、上部では「反射強度が強く、まだら状に分布するパターン域」、下部では「反射強度が弱い反射が分布するパターン域」の大きく 2 つに区分される。
- ③ 上部のパターン域では深さ 2.0~4.5m 付近に特徴的な連続性の良い反射がみられる。
- ④ 下部の反射パターン域では、深さ 6.5~10.5m 付近に特徴的な連続性の良い反射が 1 条（探査断面によっては 2 条）みられる。

3.1 探査区2 資料館下付近

本探査区の地中レーダー探査の結果により、以下の特徴を確認することができた。本探査区の代表的な探査断面を図3-4に示す。

- ① 深さ7.5~11m付近に連続性の良い反射強度の境界面がみられる。
- ② その境界面を境にして、上部では「反射強度が強く、まだら状に分布するパターン域」、下部では「反射強度が弱い反射が分布するパターン域」の大きく2つに区分される。
- ③ 上部のパターン域では深さ2.0~5.0m付近に特徴的な連続性の良い反射がみられる。

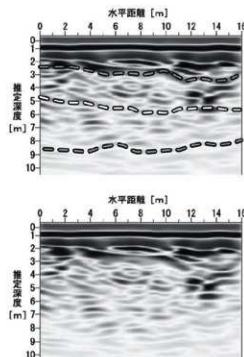
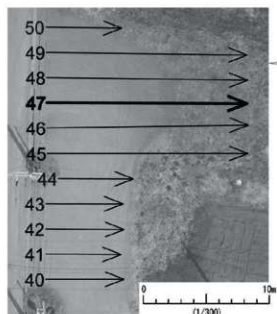


図3-3 探査区1-3 測線47 50MHz 探査断面図
灰色破線———：特徴的な反射
白色破線□—□—：反射強度の境界面

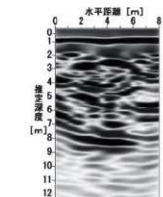
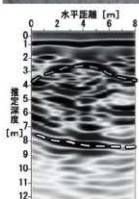
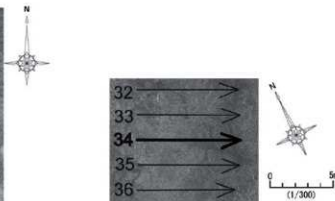


図3-4 探査区2 測線34 50MHz 探査断面図
灰色破線———：特徴的な反射
白色破線□—□—：反射強度の境界面

3.2 探査区 3-1 鎌原観音堂東側

本探査区の代表的な探査断面を図 3-5 に示す。探査断面図の上段には、探査測線図、現況図、過去の発掘調査出土状況図の 3 種類の図面を地物に合わせて重ねた図面を配置した。3箇所ある発掘調査範囲の内、南から「発掘調査範囲 1」、「発掘調査範囲 2」、「発掘調査範囲 3」とした。また探査測線と発掘調査範囲が交差する場合は、探査断面図の横軸に交差する範囲を図示した。

本探査区で推定される発掘底面の深さは、「発掘調査範囲 2」の出土状況図に記載されていた等高線の標高値（900.6～901.0m）から測線 27 の中心点位置に近似する等高線の標高 901.0m を発掘範囲全体の代表標高と仮定し、測線 27 中心点の標高（起点と終点の平均標高 907.9m）との比高から深さ 6.9m を求めた。この地表面からの深さを断面図上に灰色実線で示した。

本探査区の地中レーダー探査の結果により、以下の特徴を確認することができた。

- ① 発掘調査に伴う埋戻し状況を示す反射がみられる。
- ② 深さ 4.5～9.5m 付近に連続性の良い反射強度の境界面がみられる。
- ③ その境界面を境にして、上部では「反射強度が強く、まだら状に分布するパターン域」、下部では「反射強度が強く、厚く帯状に分布するパターン域」の大きく 2 つに区分される。
- ④ 上部のパターンでは、「反射強度が強いパターン域」と「周辺と比較して反射の減衰が大きいパターン域」に細分することができる。

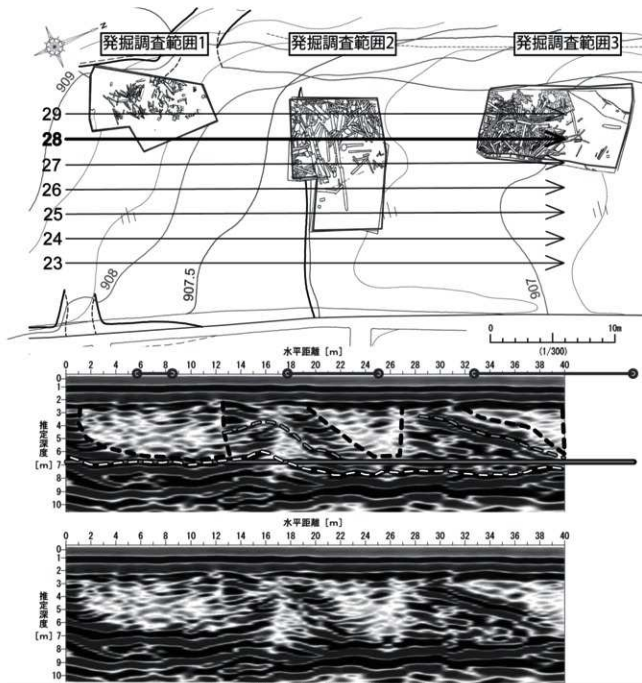


図 3-5 採査区 3-1 測線 28 50MHz 採査断面図
 黒色破線 - - - : 発掘調査時の埋め戻しと推定される範囲
 灰色破線 - - - : 特徴的な反射
 白色破線 - - - : 反射強度の境界面
 灰色実線 ——— : 発掘調査範囲 2 の発掘底面から算定した深さ (H=901.0m)

3.3 採査区 3-2 延命寺跡東側

本採査区の地中レーダー探査の結果により、以下の特徴を確認することができた。本採査区の代表的な探査断面を図 3-6 に示す。

- ① 深さ 7.0~12.5m 付近に連続性の良い反射強度の境界面がみられる。
- ② その境界面を境にして、上部では「反射強度が強く、まだら状に分布するパターン域」、下部では「反射強度が弱い反射が分布するパターン域」の大きく 2 つに区分される。
- ③ 上部のパターン域では深さ 3.0~7.0m 付近に特徴的な連続性の良い反射がみられる。

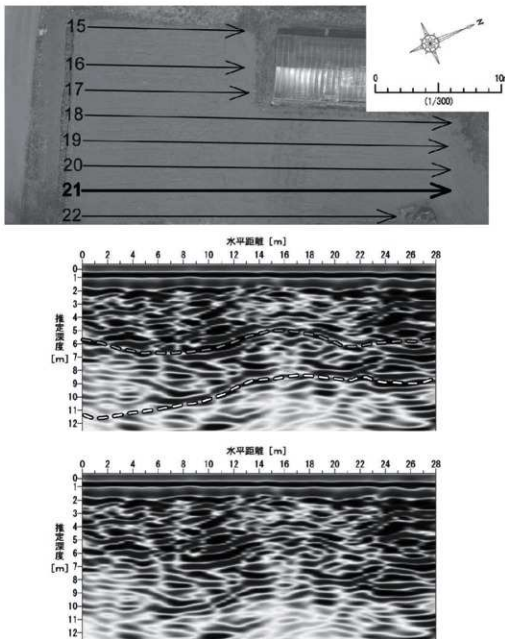


図 3-6 採査区 3-2 測線 21 50MHz 採査断面図

灰色破線——：特微的な反射

白色破線——：反射強度の境界面

3.4 採査結果のまとめ

(1) 地質状況について

探査区 1-1（鎌原観音堂南側）、探査区 1-3（鎌原観音堂東側）、探査区 2（嬬恋郷土資料館下）、探査区 3-2（延命寺跡東側）では、反射パターンの特徴が概ね共通した結果が得られた。

これらの探査区では、連続性の良い反射強度の境界面を境にして、大きく 2 つの反射パターンに分類される。上部は「反射強度が強く、まだら状に分布するパターン域」、下部は「反射強度が弱い反射が分布するパターン域」に区分される。

断面毎に若干の深さの違いはあるものの、全体の傾向として、深さ 5.0～12.5m 前後を境界として、反射強度の分布パターンが異なることが確認された。これより浅部では連続性のある反射やまだら状の

反射が混在し、深部では反射強度が弱くなるため、ここを境界として地質状況が異なることが想定される。

これらの境界面は天明 3 年の地表面を示している可能性があるが、隣接する測線間で一部高低差があるため、ここで見られるすべての境界面が天明 3 年の地表面と必ずしも一致しているとは限らない。その理由の 1 つとしては、ここで検出した反射の一部が、岩層なだれ中の地質状況の変化や地山内での地層境界を示している可能性が考えられる。

(2) 鎌原観音堂石段について

探査区 1-2（鎌原観音堂石段付近）では、測線 07 の水平距離 0.0m・深度 3.0m 付近に特徴的な反射がみられた（前掲図 3-2 の黒色楕円）。これは地下の石段からの反射と推定される。

測線 07 の水平距離 4.0m から測線 08 の水平距離 24.0m にかけて、深さ 6.0～7.0m 付近に連続性のよい反射が確認できる（前掲図 3-2 の白色破線）。この反射面を境界として地中の反射強度に変化がみられ、地層境界と推定される。

図 3-7 は測線 07 に対して直交する方向に探査した結果から得られた「石段」及び「地層境界」と推定される位置をプロットした図面である。上記地層境界は石段と推定される反射の直下にも確認できるところから、この境界面は天明 3 年以前の地表面を示している可能性がある。

測線 07 の水平距離 7.0～17.0m・深さ 2.0～4.0m の範囲では、右上がりを示す線状の反射形状がみられた（前掲図 3-2 の灰色破線）。この範囲では、過去に発掘調査が行われていることから、発掘調査に伴って生じた緩傾斜面である可能性がある。

測線 07 の水平距離 2.0～8.0m・深さ 2.0～6.5m、測線 08 の水平距離 14.0～24.0m・深さ 2.0～9.0m においては、周辺と比較して反射の減衰が大きい（色調が白く薄い）箇所が確認される（前掲図 3-2 の黒色破線に囲まれた範囲）。この範囲では、過去に埋没した石段を確認するための発掘調査が実施されている。

ここでみられる反射強度の減衰は、発掘調査に伴って生じた残土の埋め戻しによる影響を受けているものと推察される。埋め戻し土は、周辺と比べて緩いため、このような反射が現れたものと考えられる。

(3) 延命寺跡発掘調査結果との比較

探査区 3-1（延命寺跡付近）では、反射パターンの変化（上部の「反射強度が強く、まだら状に分布するパターン」から下部の「反射強度が強く、厚く帯状に分布するパターン」へ）は、探査区 1 および探査区 3 の反射強度のパターンの変化（上部の「反射強度が強く、まだら状に分布するパターン」から「下層部の反射強度が弱いパターン」へ）と大きく異なる。したがって、延命寺跡周辺と観音堂および資料館周辺とは、旧地山の地質構成が異なる可能性がある。

また、過去の発掘調査結果から検討を行ったところ、発掘調査範囲 2 の掘削底面の標高は 901.0m、測線 28 中心付近の標高は 907.5m であることから、地表面からの比高は 6.5m となる。ここでみられる反射境界と掘削調査で確認された掘削底面は、その深さが概ね一致する。このことから測線 28 の断面においては、深さ 6.0～8.0m の反射境界は、天明 3 年の地表面を示している可能性がある。

ただし、隣接する測線間で一部最大 2.8m の高低差があるため、探査区 1-1・探査区 1-3・探査区 2・探査区 3-2 と同様の理由で、すべての境界面が天明 3 年の地表面と必ずしも一致しているとは限らないことに留意する必要がある。

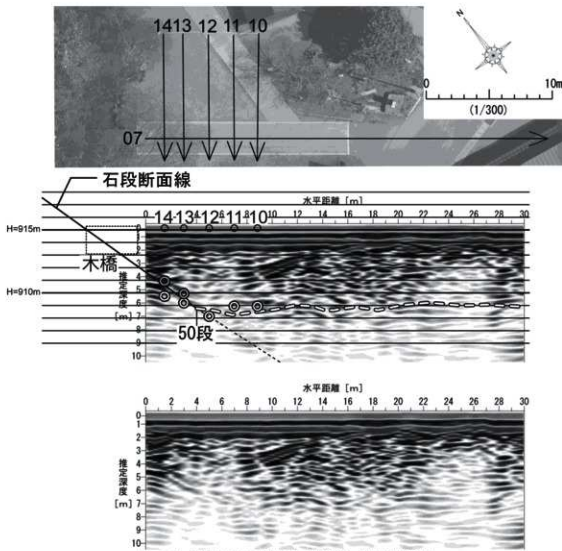


図 3-7 採査区 1-2 測線 07、測線 10~14 位置投影図

白色丸印 ◎ : 石段と推定される反射

灰色丸印 ● : 測線 10~14 でみられた地層境界と推定される反射

白色破線 --- : 測線 07 でみられた地層境界と推定される反射

4. 総括

本探査では、天明 3 (1783) 年の浅間噴火で発生した岩屑なだれに埋没したと推定される遺構状況を確認するため、鎌原観音堂・嬬恋郷土資料館下・延命寺跡において、地中レーダー探査を実施した。

今回の探査では、石段の反射、天明 3 年の地表面を表した反射、過去の発掘調査に起因したものと考えられる反射が検出され、鎌原観音堂、延命寺跡および周辺の遺構状況の把握、天明 3 年の地表面に関する情報を得ることができた。

まとめ

平成3年（1991）以来途絶えていた発掘調査を30年ぶりに開始した。その主な成果の概要は次の通りである。

令和3年度には8か所、計18のトレンチを掘削した。現地表面から天明三年の岩屑なだれ堆積物下の確認面までは、最大で4.8mの掘削深度を計り、うち6か所で天明三年8月5日に流下した岩屑なだれによる削痕を検出した。いずれも、流向は概略N-30°-W方向で一括される。8号トレンチは伝承で、観音堂と対を成すように高台にあった鎌原神社（旧諏訪神社）のあった場所の神社境内地で行った試掘調査である。As-Aテフラを検出し、As-A軽石の分析値は、これまで下流域で確認されているAs-A軽石と同じ結果を呈しているが、細かな降下日時の検証までには至っていないが、極限られた場所では、当時の地表面が残されていたことになる。このことは社叢林の中に天明の災禍を乗り越えて現在まで生き延びている樹木もある事から裏付けされるが、周辺の広い範囲に削剥が及んでいることを確認しながら、土砂の流下を見ていく必要がある。

令和4年度の調査は、前年の成果も加味し、4か所のトレンチを設定した。うち、3か所で、As-Aテフラの分布を確認することができた。しかしながら、As-A灰と考えるテフラ層の分析では予想されない分析値をとっており、今後の検討が求められる。削痕などの検討から、鎌原地区へ流入してきた土砂は幾筋かの方向性がある事がわかる。土石が押し止まってできた「押ししごっぱ」と呼ばれる土手を掘り起こすことで、直下から軽石や細かい粒子の火山灰層が見つかり、大噴火前に小規模な噴火があったことを伝える当時の文書史料のクロスチェックを可能とすることになった。大噴火の直前に天明の浅間山噴火活動に伴いこの地に降下していた火山灰や軽石などが見つかり、火山災害と人々のとった行動とのさらに細かな検証につなげられる可能性が出てきた。

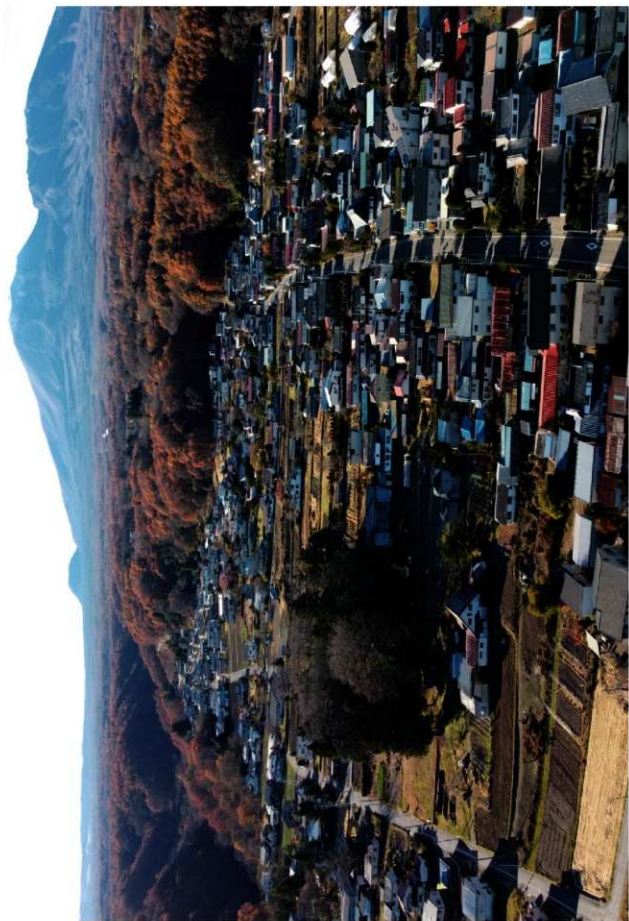
令和5年度の延命寺跡遺跡のトレンチ掘削では、30年前に行われた延命寺跡遺跡との図面照合を可能とすることができた。裏山は寺の西側にあり、その斜面地は急斜面となっており、裏山を切り通して造成されたとみられる。つまり、切り盛りの造成がなされた地形を明らかにすることにつながることになる。その斜面にへばり付くようにして当時の屋根部材が検出され、庫裏や納屋などの構造物は岩屑なだれによって、裏山に寄りかかるようにしてなぎ倒されたと考えられる。寺の境内地の範囲と災害状況に対する資料を得ることになった。平成当時の資料では掘削場所が不明確である上、どこまでが寺の境内地だったかが調査されていなかったため、範囲の確定に課題が残っていたが、本年度の調査図面との照合により、調査範囲との照合、斜面側の西端造成箇所の確定を行うことができた。今後は、残された東側範囲の確認作業を行っていくことが課題である。

参考引用文献

- ・浅間山麓埋没村落総合調査会 1982『天明3年(1783)浅間山大噴火による埋没村落(鎌原村)の発掘調査』
- ・新井房夫 1962『関東盆地北西部地域の第四紀編年』『群馬大学教育学部紀要』自然科学編 10
- ・荒牧重雄 1968『浅間火山の地質』『地団研専報』14
- ・群馬県教育委員会 1973『嬬恋村の民俗』群馬県民俗調査報告書 第15集
- ・群馬県埋蔵文化財調査事業団 2003『久々戸遺跡・中棚II遺跡・下原遺跡・横壁中村遺跡』第319集
- ・群馬県埋蔵文化財調査事業団 2005『川原湯勝沼遺跡(2)』第356集
- ・芹沢一路 2023『浅間南麓の黒ボク土大地の歴史』『みどりのこえ』2023秋号№67 長野県環境保全研究所
- ・嬬恋村教育委員会 1981『鎌原遺跡発掘調査概報 浅間山噴火による埋没村落の研究』
- ・嬬恋村教育委員会 1994『延命寺跡発掘調査報告書・浅間焼けにより埋没した寺院』

- ・嬬恋村教育委員会 1994『埋没村落鎌原村発掘調査概報 よみがえる延命寺』
- ・嬬恋村教育委員会 干俣前田遺跡調査委員会 1999a『干俣前田Ⅰ遺跡 干俣前田Ⅱ遺跡』
- ・嬬恋村教育委員会 干俣前田遺跡調査委員会 1999b『干俣前田Ⅲ遺跡』
- ・嬬恋村教育委員会 干俣前田遺跡調査委員会 2000『干俣前田Ⅳ遺跡』
- ・中村俊夫 辻誠一郎 竹本弘幸 池田晃子 1997「長野県、南軽井沢周辺の更新世最末期の浅間テフラ層の加速器 14C 年代測定」『地質学雑誌』103(10)
- ・萩原進 1995『浅間山天明噴火史料集成』V 群馬県文化事業振興会
- ・早川由紀夫 2007『浅間火山北麓の2万5000分の1地質図』本の六四館
- ・松中照夫 2003『土壤学の基礎・生成・機能・肥沃度・環境』一般社団法人農山漁村文化協会
- ・山野井徹 2023「信州のクロボク土の不思議」『みどりのこえ』2023 秋号No.67 長野県環境保全研究所

【写真図版】



令和3年度 調査範囲全景（中央が鎌原神社 北から）

写真図版 2



1-1、2トレ 調査状況 (上が北)



1-2トレ (南西から)



1-2トレ (南から)



1-3トレ (南西から)



1-4トレ (上が西)



2-1 トレ a-a' 断面近接（北から）



同 トレンチ全景（北から）



同 トレンチ位置遠景（上が南）



同 調査風景（北西から）



同 3^層出土流木

写真図版 4



2-2 トレ (北東から)



同 検出 As-YPk 産状



3-1～3 トレ トレンチ位置遠景 (上が北)



3-1 トレ (東から)



同 A-A' (東から As-YPk 検出)



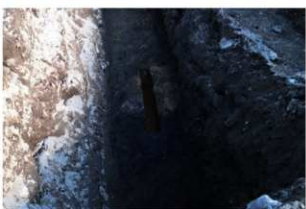
3-2 トレ (東から)



3-3 トレ (東から)



3-3 トレ (荒牧重雄氏教示 南西から)



4-1 トレ (西から)



4-2 トレ (東から)



5 トレ (南西から)



4-2 トレ A-A' (東から As-YPk 検出)



6トレ全景 (6-1～3トレ 上が南東)



6-1トレ (上が北)



同 a-a' (南から)



6-2トレ全景 (南東から)



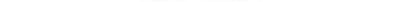
6-3トレ全景 (北から)



7トレ全景（上が西）



7トレ A-A'（西から）



8トレ（上が東）



8トレ（右上が西）



8トレ西壁近接（サンプル位置 東から）



土壌サンプリング（4-1トレ 北西から）



9 トレ全景 (上が東)



9-1 トレ全景 (西から)



同 A-A' 近接 (西から)



9-1 トレ延長 A-A' (西から)



9-1 トレ a-a' 近接 (東から)



9-1 トレ a-a' 近接（保管試料採取位置①：左、②：右 東から）



9-2 トレ全景（西から）



同 挖削途中平面（西から）



9-2 トレ A-A' 近接（西から）



鎌原地区遠景（中央手前が10トレ位置 北から）



10トレ全景（上が北）



10-1トレ全景（北から）



10-1トレ As-A 軽石・火山灰検出状況（南西から）



10-2トレ全景（西から）



鎌原地区遠景（手前中央が11トレ、右手奥が12トレ位置 北から）



11トレ全景（北東から）



11トレ西壁（北東から）



11トレ調査全景（北東から）



同 調査風景（北東から）



鎌原地区遠景（左手が小熊沢、12トレ位置は矢印 北から）



12-4 トレ全景（上が南）



12 トレ配置全景（12-3 トレが右 上が南）



12-1 トレ全景（東から）



延命寺跡遺跡遠景（南東から）



延命寺跡遺跡全景（東から）



13 トレ全景（東から）



13 トレ全景（上が北）



14-3 トレ追加 1 挖削風景（南から）



14-3 トレ追加 2 挖削風景（南東から）



14-2 トレ全景（北から）



13 トレ b-b' (南から)



同 c-c' (東から)



13 トレ d-d' (東から)



同 e-e' ~ g-g' (南から)



13 トレ 調査風景 (東から)



15 トレ全景（北から）



同 調査風景（北東から）



13 トレ推定屋根部材出土状況（東から）



レーダー探査 調査風景（東から）



レーダー探査 延命寺跡遺跡及びR6年調査予定（南から）

A'



A'
L=873.00m

9-1トレンチ(側面壁断面) オルソ画像



9-1トレンチ(平面) オルソ画像

0 1m
1:40



A.



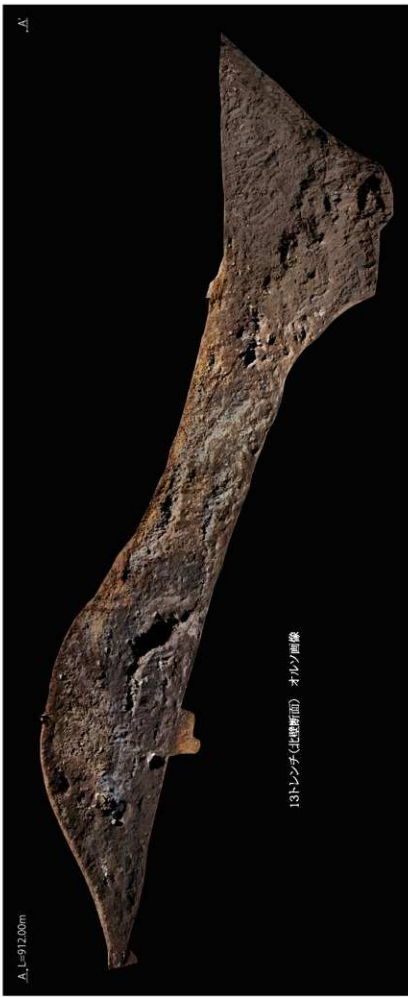
11トレンチ(横断面) オルソ画像

A.
A. -916.00m



11トレンチ(平面) オルソ画像

A.
 $A, l=912.00m$



13トランチ(北壁断面) オルノ骨像



13トレンチ(平面) オルソ画像





1 (R3・1-1 トレンチ)

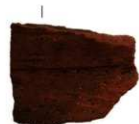
0 1 : 4 10cm



2 (R4・10-1 トレンチ)



3 (R4・11 トレンチ 1)



4 (R4・11 トレンチ 2)



5 (R4・11 トレンチ 3)



0 1 : 1 2.5cm



(R5・14-2 トレンチ 1)



6

7 (R5・14-2 トレンチ 2)



8 (R5・14-2 トレンチ 3)

0 1 : 4 10cm

報告書抄録

書名ふりがな	かんばらいせき
書名	鎌原遺跡
副書名	令和3・4・5年度調査報告
卷次	
シリーズ名	嬬恋村教育委員会発掘調査報告書
シリーズ番号	第16集
編著者名	関 俊明
編集機関	嬬恋村教育委員会
所在地	〒377-1524 群馬県吾妻郡嬬恋村鎌原 494（嬬恋郷土資料館内）
発行年月日	2024（令和6）年3月29日
所収遺跡名ふりがな	えんめいじあといせき ほか
所取遺跡名	延命寺跡遺跡 ほか
所在地ふりがな	ぐんまけんあがつまぐんつまごいむらかんばら
所在地	群馬県吾妻郡嬬恋村鎌原 521-1 ほか
市町村コード	10425
遺跡番号	0034 ほか
北緯	36° 31' 5.7"
東経	138° 32' 58.0"
調査期間	20211028 ~ 20211125 / 20221017 ~ 20221127 / 20230410 ~ 20230915
調査面積	105.09m ² / 54.11m ² / 97.56m ²
調査原因	保存目的の確認
所取遺跡名	延命寺跡遺跡 ほか
種別	集落／社寺
主な時代	近世（天明三年）
主な遺構	なし
主な遺物	加工木材
特記事項	集落中心を岩屑なだれが削剥、一部で当時の生活面が残存

嬬恋村教育委員会発掘調査報告書第 16 集

鎌原遺跡

令和 3・4・5 年度調査報告

令和 6 年 3 月 29 日印刷

令和 6 年 3 月 29 日発行

編集・発行 / 嬌恋村教育委員会

〒377-1524 群馬県吾妻郡嬌恋村大字鎌原 494 番地

(嬌恋郷土資料館内)

電話 0279-97-3405